

UNIVERZITET U BEOGRADU

MAŠINSKI FAKULTET

Miroslav M. Jovanovi

**AKTIVNO I AKTIVNO-PASIVNO PRIGUŠENJE  
VIBRACIJA STRUKTURALNIH ELEMENATA  
VAZDUHOPLOVA**

Doktorska disertacija

Beograd, 2014.

UNIVERSITY OF BELGRADE  
FACULTY OF MECHANICAL ENGINEERING

Miroslav M. Jovanović

**ACTIVE AND SEMI-ACTIVE VIBRATION  
DAMPING OF AIRCRAFT STRUCTURAL  
ELEMENTS**

Doctoral Dissertation

Belgrade, 2014

## **PODACI O MENTORU I LANOVIMA KOMISIJE**

**Mentor:**

**dr Aleksandar Simonovi , vanredni profesor**  
Univerzitet u Beogradu, Mašinski fakultet

**Ilanovi komisije:**

**dr Slobodan Stupar, redovni profesor**  
Univerzitet u Beogradu, Mašinski fakultet

**dr Nebojša Petrovi , redovni profesor**  
Univerzitet u Beogradu, Mašinski fakultet

**dr Nemanja Zori , docent**  
Univerzitet u Beogradu, Mašinski fakultet

**dr Slobodan Gvozdenovi , redovni profesor**  
Univerzitet u Beogradu, Saobraćajni fakultet

Datum odbrane:

\_\_\_\_\_

## Predgovor

Doktorska disertacija pod naslovom „Aktivno i aktivno-pasivno prigušenje vibracija strukturalnih elemenata vazduhoplova“ predstavlja rezultat višegodišnjeg istraživanja, razvoja i ispitivanja sistema aktivnog i aktivno-pasivnog prigušenja vibracija.

Ovaj rad se može smatrati uvodom u istraživanje i razvoj na sistemima aktivne i aktivno-pasivne kontrole vibracija na strukturi vazduhoplova. Rad je rezultat povezivanja dve nau no-istraživa ke institucije Republike Srbije, Katedre za vazduhoplovstvo, Mašinskog fakulteta u Beogradu i Tehni kog Opitnog Centra, Vojske Srbije. Akcenat rada je bio na izradi prototipa sistema aktivnog upravljanja vibracijama na osnovu koga su eksperimentalno ustanovljene sve performanse i dinami ke karakteristike aktivnih struktura. Poseban izazov autora je bilo projektovanje i razvoj elemenata sistema kao i implementacija metode upravljanja koja omogu uje stabilan rad sistema i prigušenje vibracija aktivnih struktura.

Veliku zahvalnost upu ujem svom mentoru vand. prof. dr Aleksandru Simonovi u, dipl. inž. na stru noj, nau noj i finansijskoj pomo i, sugestijama i usmeravanju ovog istraživanja ka realizaciji prototipa sistema aktivnog upravljanja vibracijama, kao i na brojnim diskusijama i razmijenjenim idejama koje su uticale na razvoj ovog rada. Zahvaljujem docentu dr Nemanji Zori u, dipl. inž. na izuzetnom angažovanju, pristupu i pomo i oko izrade ovog rada. Posebna zahvalnost red. prof. dr Slobodanu Stuparu, dipl. inž. na stru noj i moralnoj podršci u toku nastanka rada. ast mi je što se mogu zahvaliti kapetanu Nebojši Luki u, dipl. inž. elek. bez ije nesebi ne pomo i u projektovanju, izradi i programiranju kontrolera sistem aktivnog prigušenja vibracija bi bio teško ostvarljiv. Tako e se zahvaljujem direktoru Tehni kog Opitnog Centra pukovniku vanr. prof. dr Slobodanu Ili u, dipl.inž. koji je prepoznao vrednost istraživa kog rada i bezrezervno podržao realizaciju prototipa sistema. Zahvaljujem se svim profesorima, kolegama i prijateljima koji su na bilo koji na in doprinijeli izradi ovog rada.

Posebnu zahvalnost dugujem svojoj porodici koja mi je pružala bezrezervnu podršku i razumevanje u toku izrade ovog rada.

Beograd, januar, 2014.

Miroslav M. Jovanovi

---

# **SADRŽAJ:**

Spisak tabela : .....	i
Spisak slika: .....	ii
Nomenklatura: .....	ix
UVOD .....	1
1.1    Podela sistema za upravljanje vibracijama .....	5
1.2    Zahtevi za projektovanje i implementaciju sistema upravljanja vibracijama ....	7
1.3    Pregled istraživanja u oblasti upravljanja vibracijama .....	8
1.4    Predmet istraživanja i organizacija teze .....	13
2      ELEMENTI SISTEMA AKTIVNOG I AKTIVNO-PASIVNOG UPRAVLJANJA VIBRACIJAMA .....	18
2.1    Aktivne strukture .....	19
2.1.1    Senzori .....	19
2.1.2    Aktuatori .....	21
2.2    Regulatori sistema upravljanja vibracijama strukture .....	24
2.3    Sistemi aktivnog i aktivno-pasivnog upravljanja vibracijama .....	28
3      MATEMATI KI MODELI STRUKTURALNOG ELEMENTA VAZDUHOPLOVA .....	30
3.1    Jedna ina kretanja diskretnog sistema.....	30
3.2    Modalna analiza mehani kih sistema .....	32
3.3    Konstitutivne jedna ine piezoelektri nih aktuatora .....	34
3.4    Model kona nih elemenata za aktivne strukture .....	39
3.5    Optimizacija veli ine, položaja i orijentacije elemenata aktivnih struktura...	40
3.5.1    Upravljivost i osmotrivost.....	41
3.5.2    Ciljna funkcija i ograni enja .....	43
4      UPRAVLJA KI ALGORITMI I KARAKTERISTIKE SISTEMA AKTIVNOG PRIGUŠENJA VIBRACIJA .....	46
4.1    Jednokanalni sistemi upravljanja sa povratnom spregom.....	46
4.2    Stabilnost sistema upravljanja sa povratnom spregom.....	50
4.3    Algebarski kriterijumi stabilnosti.....	53
4.4    Modifikacija odziva sistema sa jednim stepenom slobode.....	55
4.5    Efekat kašnjenja u povratnoj sprezi.....	59
4.6    Jedna ine stanja sistema .....	61
4.7    Proporcionalno-diferencijalno-intergalni regulator.....	64

---

---

5 RAZVOJ SISTEMA AKTIVNOG PRIGUŠENJA VIBRACIJA .....	68
5.1 Metodologija razvoja sistema aktivnog prigušenja vibracija.....	68
5.2 Matemati ki model strukturalnog elementa vazduhoplova .....	71
5.3 Izbor senzora i aktuatora.....	75
5.3.1 Wheatstone-ov most.....	76
5.3.2 Piezoelektri ni aktuator MIDE QP 10W.....	77
5.4 Optimizacija položaja i orientacije izabranih senzora i aktuatora .....	79
5.5 Projektovanje sistema za upravljanje (regulator) .....	83
6 EKSPERIMENTALNA VERIFIKACIJA SISTEMA AKTIVNOG PRIGUŠENJA VIBRACIJA.....	87
6.1 Eksperimentalna postavka .....	87
6.2 Eksperimentalna modalna analiza .....	89
6.3 Koeficijent prigušenja aktivne strukture.....	92
6.4 Podešavanje PID regulatora.....	95
6.5 Aktivno prigušenje slobodnih vibracija sistema .....	96
6.6 Aktivno prigušenje prinudnih vibracija sistema.....	102
6.7 Upravljivost sistema aktivnog prigušenja vibracija .....	108
6.7.1 „Spillover“ efekat .....	109
6.7.2 Upravljanje sistema u podharmoni noj oblasti pobude .....	111
6.7.3 Nestabilnost sistema aktivnog prigušenja vibracija.....	113
7 ZAKLJU AK .....	115
7.1 Rezultati istraživanja .....	115
7.2 Nau ni doprinosi disertacije.....	118
7.3 Preporuke za budu i rad .....	119
LITERATURA .....	121
BIOGRAFIJA .....	127
PRILOZI.....	129

---

***Spisak tabela :***

Tabela 3.1 – Tipi ne karakteristike piezoelektričnih materijala.....	35
Tabela 4.1 – Routh-ova šema koeficijenata .....	54
Tabela 4.2 – Elementi Routh-ove šeme koeficijenata .....	54
Tabela 4.3 – Uticaj PID dejstva na odziv sistema .....	66
Tabela 4.4 – Određivanje parametara regulatora Ziegler-Nichols-ovom metodom.....	67
Tabela 5.1 – Karakteristike materijala ploče (aluminijum).....	71
Tabela 5.2 – Sopstvene frekvencije oscilovanja izabrane ploče (numerički rezultati)...	73
Tabela 5.3 – Karakteristike piezoelektričnog aktuatora MIDE QP10 W .....	80
Tabela 5.4 – Sopstvene frekvencije oscilovanja aktivne strukture (numerički rezultati)83	83
Tabela 6.1 – Sopstvene frekvencije oscilovanja (poređenje rezultati) .....	92
Tabela 6.2 – Koeficijenti prigušenja aktivne strukture .....	95
Tabela 6.3 – Koeficijenti PID regulatora određeni Ziegler-Nichols-ovom metodom....	96
Tabela 6.4 – Koeficijenti prigušenja aktivne strukture sa PID, PD i PI regulatorom... 101	101
Tabela 6.5 – Amplituda kontrolnog signala sistema sa različitim koeficijentima pojavaanja PID regulatora.....	107

***Spisak slika:***

Slika 1.1. Konceptualna definicija adaptivnih struktura visokih performansi [1].....	2
Slika 1.2. Podela struktura po nivou strukturalne i elektronske integracije [1] .....	2
Slika 1.3. Tipovi i načini upravljanja vibracijama.....	5
Slika 2.1. Blok šema sistema aktivnog upravljanja vibracijama .....	18
Slika 2.2. Senzori za aktivno upravljanje vibracijama: a) snabdevani električnom energijom, i b) piezoelektrični senzori.....	20
Slika 2.3. Piezoelektrični aktuatori: a) oblika štapa (Piezomechanik GmbH), i b) oblika ploče (Mide) .....	22
Slika 2.4. Principijelna šema rada MR aktuatora .....	23
Slika 2.5. Blok dijagram strategija upravljanja a) sa povratnom spregom (feedback), b) sa spregom unapred (feedforward) [5].....	24
Slika 2.6. Prikaz kretanja strukture pri periodičnoj kontinualnoj pobudi .....	26
Slika 2.7. Idealna interferencija signala kontinualnog spoljašnjeg dejstva i dejstva aktuatora.....	26
Slika 2.8. Realna interferencija signala kontinualnog spoljašnjeg dejstva i dejstva aktuatora.....	27
Slika 3.1. Piezoelektrični aktuatori: a) štapasti dizajn, i b) laminarni dizajn [5].....	38
Slika 3.2. Ploča sa i-tim aktuator-senzor parom [45].....	44
Slika 4.1. Komponente sistema sa povratnom spregom [27] .....	47
Slika 4.2. Blok šema upravljačkog sistema sa povratnom spregom [27] .....	48
Slika 4.3. Odziv sistema na konstantnu pobudu: a) stabilan, b) granično stabilan i c) nestabilan.....	50
Slika 4.4. Elementarna upravljačka struktura sa jedinom negativnom povratnom spregom .....	51
Slika 4.5. Regulator integriran na sistem sa jednim stepenom slobode.....	56
Slika 4.6. Promenjive stanja mehaničkog sistema.....	63
Slika 4.7. Sistem zatvorene povratne sprege sa implementiranim PID regulatorom .....	65
Slika 5.1. Etape u procesu razvoja sistema aktivnog upravljanja vibracijama [5] .....	70
Slika 5.2. Dimenzije izabranog strukturalnog elementa .....	71
Slika 5.3. Prvi mod oscilovanja, prvi mod savijanja (pomeranje).....	74

---

## *Spisak slika*

---

Slika 5.4. Drugi mod oscilovanja, prvi mod uvijanja (pomeranje) .....	74
Slika 5.5. Tre i mod oscilovanja, drugi mod savijanja (pomeranje) .....	75
Slika 5.6. Blok šema Wheatstone-ovog mosta .....	76
Slika 5.7. Geometrijske karakteristike aktuatora QP 10W [60] .....	78
Slika 5.8. Tipi ne radne performanse aktuatora QP 10W [60] .....	78
Slika 5.9. Naponski pojedini PDA X3 .....	79
Slika 5.10. Pravougaona aluminijumska ploča sa integriranim aktuatorom.....	80
Slika 5.11. Sopstvene vrednosti Grammian-ove matrice upravljivosti: (a) prvi mod, (b) drugi mod, (c) treći mod.....	81
Slika 5.12. Skupni dijagram upravljanja u funkciji ugla orijentacije za prva tri moda. ..	82
Slika 5.13. Blok dijagram projektovanog sistema za aktivno prigušenje vibracija.....	85
Slika 5.14. Izgled realizovanog kontrolera.....	86
Slika 6.1. Blok šema eksperimentalne postavke.....	88
Slika 6.2. Eksperimentalna postavka za određivanje modalnih parametara .....	90
Slika 6.3. Funkcija frekventnog odziva i oblik oscilovanja ploče.....	91
Slika 6.4. Funkcija frekventnog odziva i oblik oscilovanja ploče sa aktuatorom .....	91
Slika 6.5. Aktivna struktura za eksperimentalnu verifikaciju sistema.....	93
Slika 6.6. Slobodne oscilacije aktivne strukture – vremenski domen .....	94
Slika 6.7. Slobodne oscilacije aktivne strukture – frekventni domen.....	94
Slika 6.8. Slobodne oscilacije sa PID upravljanjem: $K_p=7.1$ , $K_i=0.0061$ i $K_d=70$ .....	97
Slika 6.9. Slobodne oscilacije sa PID upravljanjem: $K_p=6.1$ , $K_i=0.0061$ i $K_d=70$ .....	98
Slika 6.10. Slobodne oscilacije sa PD upravljanjem: $K_p=6.1$ i $K_d=70$ .....	98
Slika 6.11. Slobodne oscilacije sa PI upravljanjem: $K_p=4.5$ i $K_i=0.0095$ .....	99
Slika 6.12. Slobodne oscilacije PID, PD i PI tipa regulacije.....	100
Slika 6.13. Prelazni period između neuravljane i upravljane strukture .....	102
Slika 6.14. Frekventni spektar aktivne strukture bez aktivnog upravljanja .....	103
Slika 6.15. Frekventni spektar aktivne strukture sa PID regulatorom: $K_p=7.1$ , $K_i=0.0061$ i $K_d=70$ .....	103
Slika 6.16. Frekventni spektar aktivne strukture sa PID regulatorom: $K_p=6.1$ , $K_i=0.0061$ i $K_d=70$ .....	104
Slika 6.17. Frekventni spektar aktivne strukture sa PID regulatorom: $K_p=8.1$ , $K_i=0.0061$ i $K_d=70$ .....	104

---

## *Spisak slika*

---

Slika 6.18. Frekventni spektar aktivne strukture sa PID regulatorom: Kp=7.1, Ki=0.0051 i Kd=70 .....	105
Slika 6.19. Frekventni spektar aktivne strukture sa PID regulatorom: Kp=7.1, Ki=0.0071 i Kd=70 .....	105
Slika 6.20. Frekventni spektar aktivne strukture sa PID regulatorom: Kp=7.1, Ki=0.0061 i Kd=50 .....	106
Slika 6.21. Frekventni spektar aktivne strukture sa PID regulatorom: Kp=7.1, Ki=0.0061 i Kd=90 .....	106
Slika 6.22. Frekventni spektar sistema aktivnog prigušenja pravougaone plo e .....	108
Slika 6.23. „Spillover“ efekat na izabranom strukturalnom elementu.....	110
Slika 6.24. Kompozitna greda sa integriranim aktuatorom i senzorom .....	111
Slika 6.25. Frekventni spektar sistema aktivnog prigušenja kompozitne grede.....	112
Slika 6.26. Nestabilnost sistema pri kontinualnoj pobudi.....	113
Slika 6.27. Nestabilnost sistema pri slobodnim vibracijama.....	114

# **Aktivno i aktivno-pasivno prigušenje vibracija strukturalnih elemenata vazduhoplova**

## **Rezime**

Ova doktorska disertacija bavi se razvojem sistema aktivnog i aktivno-pasivnog prigušenja vibracija strukturalnih elemenata vazduhoplova. Postupak razvoja sistema je podrazumevao razvijanje matemati kog modela aktivne strukture (strukturalni element sa senzorskom i aktuatorском platformom) sa ciljem utvr ivanja njihovog uticaja na dinami ke karakteristike osnovnog strukturalnog elementa. Problem je definisan metodom kona nih elemenata bazirane na teoriji smicanja tre eg reda. Konstitutivne jedna ine i veza izme u pomeranja i deformacije su linearne. U daljem radu, predstavljen je problem odre ivanja optimalnih položaja i orijentacija aktuatora i senzora, kao i njihov uticaj na karakteristike upravljivosti i osmotrivosti. Predstavljen je teorijski koncept upravljanja sistemima u povratnoj sprezi, kriterijumi stabilnosti i uticaj kašnjenja upravlja kog signala na efikasnost rada sistema aktivnog prigušenja vibracija. Sintezom metoda kona nih elemenata i optimizacije rojem estica uz primenu definisanih kriterijuma optimizacije, izvršena je optimizacija položaja i orijentacije piezoelektri nog (PZT) aktuatora i mernih traka (Wheatstone-ovog mosta) kao senzorske platforme na strukturalnom elementu vazduhoplova (pravougaona aluminijumska plo a, dimenzija 280x200x1 mm<sup>3</sup>). Dobijeni numeri ki rezultati bili su ulazni podaci u procesu projektovanja i razvoja upravlja kog sistema (kontrolera) sa jednim-ulazom-jednim-izlazom zasnovanom na strategiji povratne sprege sa proporcionalno-integralno-diferencijalnim (PID) algoritmom upravljanja.

U daljem radu, nakon realizacije kontrolera, izvršena je eksperimentalna verifikacija sistema aktivnog prigušenja vibracija. Verifikacija je podrazumevala pore enje eksperimentalnih i numeri kih rezultata, uticaj aktivnog upravljanja na koeficijente prigušenja aktivne strukture, pore enje performansi sistema sa aspekta razli itih algoritama upravljanja (PID, PD i PI), kao i uticaj koeficijenata pojava proporcionalnog, integralnog i diferencijalnog dejstva na upravljivost i stabilnost razvijenog sistema. Utvrivanje efikasnosti i upravljivosti sistema aktivnog prigušenja vibracija je izvršeno za slu ajeve slobodnih i prinudnih pobuda sistema.

**Klju ne re i:** aktivno prigušenje vibracija, piezoelektri ni aktuatori, metoda kona nih elemenata, optimizacija rojem estica, proporcionalno-integralno-diferencijalno (PID) upravljanje, upravljivost sistema, osmotrivost sistema, modalna analiza, koeficijent prigušenja, stabilnost sistema.

**Nau na oblast:** Mašinstvo

**Uža nau na oblast:** Vazduhoplovstvo

**UDK:** 629.7.017.2:534.28:[519.6(043.3)]

# **Active and semi-active vibration damping of aircraft structural elements**

## **Abstracts**

This doctoral dissertation deals with development of active and semi-active vibration reduction system on aircraft structural elements. In the development procedure mathematical model of active structure (structural element with sensor and actuator platform) is developed with the aim to identify the effects in dynamic characteristics of basic structural element. The problem is formulated using the finite element method based on the third order shear deformation theory. Constitutive equations and the strain - displacement relations are linear. In further work, the problem of determination of optimal positions and actuator and sensor orientation is presented and also their effects on system controllability and observability characteristics are defined. Theoretical concept of control in feedback system, criterions of stability and influences of control signal time delay on vibration reduction system effectiveness are presented. The integration of finite element method and particle swarm optimization using defined optimization criteria, the optimization of position and orientation is performed for piezoelectric (PZT) actuator and strain gages (Wheatstone full bridge) sensor platform on aircraft structural element (rectangular aluminum plate, dimensions 280x200x1 mm<sup>3</sup>). The obtained numerical results were the input data in design and development process of single-input-single-output feedback controller based on proportional-integral-derivative (PID) control algoritham.

In further work, after the implementation of the controller, an experimental verification of the active damping vibration system is carried out. The verification

included: the comparison of experimental and numerical results, the influence of active controlling on active structure damping coefficient, the comparison of system performances in terms of different control algorithms (PID, PD, PI) and also the influence of the coefficient of amplification of proportional, integral and derivative effect on controllability and stability of the developed system. Establishing the efficiency and controllability of active damping vibration system was carried out in case of free and forced system excitation.

**Key words:** active vibration reduction, piezoelectric actuators, finite element method, particle swarm optimization, proportional-integral-derivative (PID) control, system controllability, system observability, modal analysis, damping coefficient, system stability.

**Scientific discipline:** Mechanical engineering

**Scientific subdiscipline:** Aircraft engineering

**UDC:** 629.7.017.2:534.28:[519.6(043.3)]

**Nomenklatura:**

$y(t)$	- trenutna pozicija sistema
$A [mm]$	- maksimalna amplituda pomeranja
$\omega [rad / s]$	- ugaona brzina sistema,
$\phi [rad]$	- fazni ugao,
$u(t)$	- upravlja ki signal,
$E_K$	- kineti ka energija sistema, - potencijalna energija sistema,
$W$	- rad nekonzervativnih sila,
$Q_i$	- $i^{\text{th}}$ generalisana sila,
$\dot{\varpi}$	- brzina kretanja,
$\rho$	- gustina materijala,
$F_p$	- sile prigušenja,
$Q_p$	- generalisana sila pritiska,
$q$	- vektor pomeranja,
$Q$	- vektor generalisanih sila sila,
$M$	- matrica mase,
$K$	- matrica krutosti,
$C$	- matrica prigušenja,
$\omega_i \left[ \frac{rad}{s} \right]$	- $i^{\text{th}}$ prirodna (kružne) cirkularna frekvencija
$\{\phi_i\}$	- sopstveni vektor moda oscilovanja $i^{\text{th}}$ prirodne frekvencije.
$\delta_{ij}$	- funkcija Kronekera
$f_i [Hz]$	- frekvencija
$D \left[ \frac{C}{m^2} \right]$	- elektri no pomeranje

$E \left[ \frac{V}{m} \right]$	- električno polje
$S$	- deformacija piezoelektričnog materijala
$T \left[ \frac{N}{m^2} \right]$	- naponsko stanje pijezoelektričnog materijala
$s$	- propustljivost materijala (inverzno Young-ovom modulu elastičnosti)
$d$	- deformacija električnog polja pri nedostatku mehaničkog napona
$s^E$	- propustljivost piezoelektričnog materijala pri nultom električnom polju
$d \left[ \frac{m}{V} \right]$	- električna deformacija pri nultom električnom polju
$\varepsilon^T$	- dielektrična konstanta pri konstantnom naponu
$c^E \left[ \frac{N}{m^2} \right]$	- Jangov modul elastičnosti pri konstantnom električnom
$e \left[ \frac{C}{m^2} \right]$	- konstanta električnog pomeranja pri deformaciji
$k^2$	- kuplovani koeficijent piezoelektričnog materijala
$Q_e [V]$	- vektor nanelektrisanja između elektroda
$W(s)$	- Laplasova transformacija odgovora sistema
$G(s)$	- prenosna funkcija mehaničkog sistema
$F_p(s)$	- Laplasova transformacija primarne pobude sistema
$F_s(s)$	- Laplasova transformacija sekundarne pobude sistema
$H(s)$	- prenosna funkcija kontrolera
$s_i$	- realni polovi,
$s_{k1,2}$	- kompleksni polovi,
$M'$	- modifikovana masa sistema,
$C'$	- modifikovano prigušenje sistema,
$K'$	- modifikovana krutost sistema,
$\tau$	- pretpostavljeno vreme kašnjenja,
$K_P$	- pojačanje proporcionalnog dejstva,
$K_i$	- pojačanje integralnog dejstva,

---

## *Nomenklatura*

---

$K_d$	- pojačanje diferencijalnog dejstva,
$T_i$	- integralna vremenska konstanta
$T_d$	- vremenska konstanta diferenciranja,
$u$	- pomeranje u $x$ pravcu
$v$	- pomeranje u $y$ pravcu
$w$	- pomeranje u $z$ pravcu
$\psi_x$	- rotacija srednje ravni ploče oko $x$ ose
$\psi_y$	- rotacija srednje ravni ploče oko $y$ ose
$h_{\text{pl}}$	- debljina ploče

# Glava 1

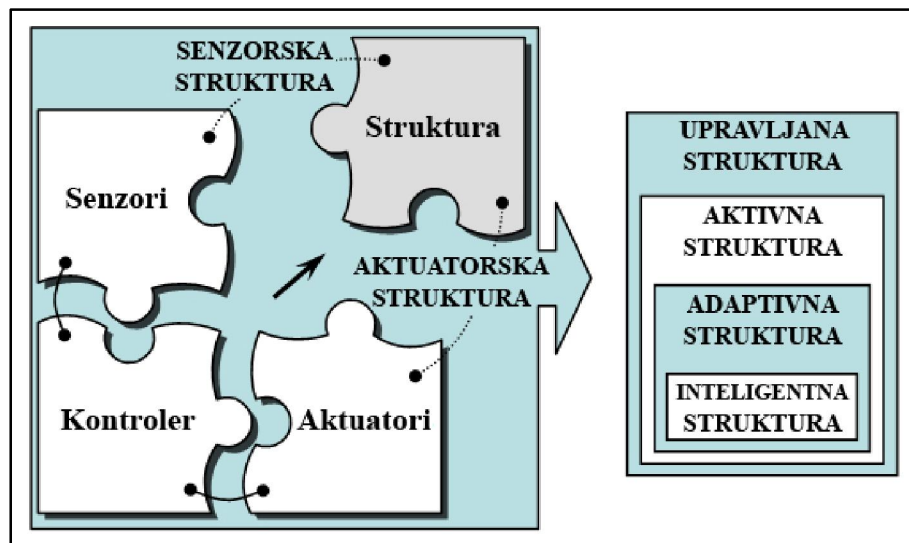
## ***UVOD***

U poslednje dve decenije takozvane pametne strukture su našle ogromnu primenu u razvoju sistema visokih performansi u svemirskoj, vazduhoplovnoj, automobilskoj i vojnoj industriji. U ovom periodu veliki broj teorijskih razmatranja i eksperimenta je izvršeno kako bi se demonstrirale mogu nosti pametnih struktura u odnosu na konvencionalne strukture u mnogobrojnim aplikacijama upravljanja vibracijama.

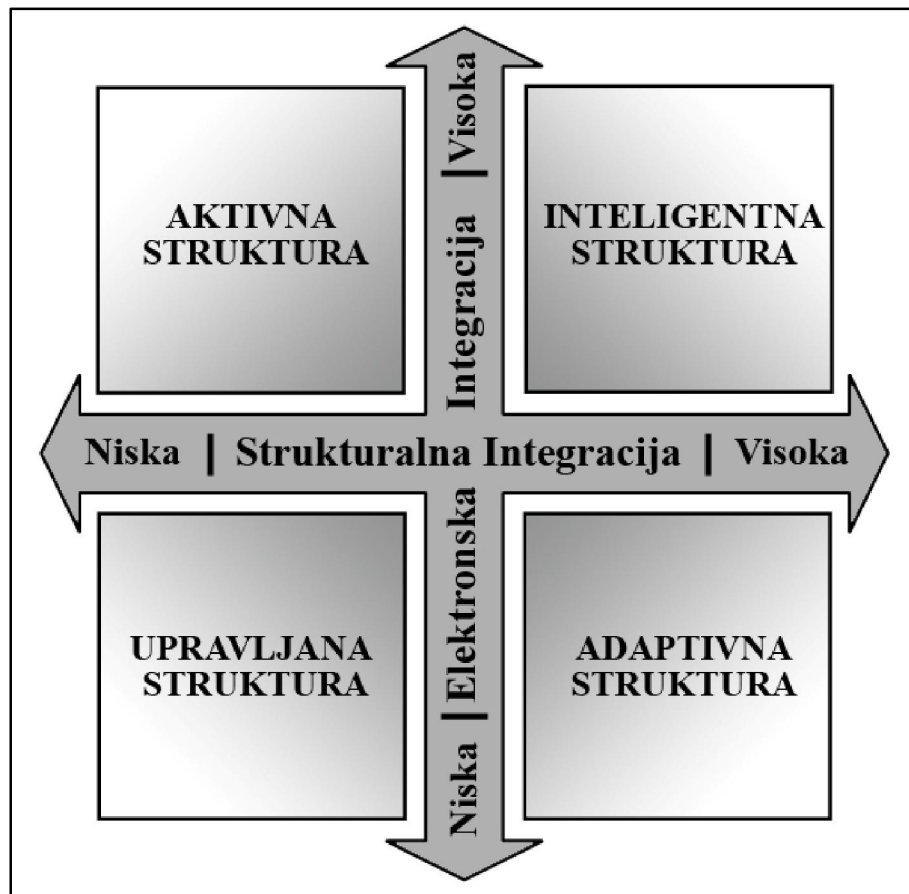
Sa inženjerske ta ke gledišta, razvoj pametnih struktura, su u kratkom vremenskom periodu postale izazov za projektante. Na osnovu ove konstatacije razvijaju se teorijske postavke, vrše eksperimenti za razli ite aplikacije i svo vreme razvoja pametnih struktura i sistema terminologija je postajala sve bogatija, u zavisnosti od predloženih koncepta sistema. Danas se upotrebljava razli ita terminologija kojom se definišu projektovani pametni sistemi: pametne (smart), inteligentni (intelligent) i aktivne (active) strukture, i sve one predstavljaju približno iste tipove strukture na koje se na razli ite na ine integrišu senzori i aktuatori, a na in i tip upravljanja predstavlja nivo uspešnosti odgovora strukture na pobudu. Na slici 1.1. grafi ki je prikazana konceptualna definicija pametnih struktura visokih performansi sa pripadaju im elementima [1].

Prema tome, navedena terminologija obi no definiše dostignuti tehnološki nivo nekog integrisanog sistema sa svim ili samo sa nekim od tri osnovna elektronska elementa (senzor, aktuator i kontroler). Integrisani sistemi se u osnovi razlikuju po broju strukturalnih elemenata kojima se upravlja kao i po broju elektronskih elemenata koji su integrисани u tu strukturu sa ciljem adekvatnijeg prilago enja na spoljašnju pobudu. Na

slici 1.2. dat je šematski prikaz adaptivnih sistema po nivou dostignute strukturalne i elektronske integracije.



Slika 1.1. Konceptualna definicija adaptivnih struktura visokih performansi [1]



Slika 1.2. Podela struktura po nivou strukturalne i elektronske integracije [1]

Na osnovu date podele, tj. na osnovu dostignute strukturalne i elektronske integracije mogu se definisati šest različitih tipova struktura, i to: senzorska struktura, aktuatorска struktura, upravlјana struktura, aktivna struktura, adaptivna struktura i inteligentna struktura [2, 3, 4, 5].

**Senzorska struktura**, je sistem koji poseduje samo senzore koji monitoruju stanje sistema i druge karakteristike koje određuju aktuelno stanje sistema, integritet sistema, oštećenja itd... Sistem može posedovati različite tipove senzora, ali ne poseduje aktuatore. Ovaj tip konfiguracije može se svrstati u kategoriju pasivnih sistema, tj. direktna interferencija senzorskog dela sistema i strukture nije izvršena iesto se koristi za aplikacije monitoringa ispravnosti strukture sistema (Structural Health Monitoring).

Suprotno senzorskom sistemu, **aktuatorske strukture**, po originalnosti pripadaju adaptivnim sistemima, sistem poseduju aktuatore, bez senzora, koji omogućavaju izmenu stanja strukture ili karakteristika po zahtevanom načinu rada. Primeri ovakvih struktura su uvršteni u princip rada nekih rešetkastih struktura, svemirskih antena, konvencionalnim strukturama krila vazduhoplova na napadnim i izlaznim ivicama itd... Razvoj struktura sa ovim konceptom je predložen od strane Miura i Furuya [6] kako bi se koristio u smislu geometrijske adaptacije rešetkastih struktura svemirskih aplikacija. Ovom predloženom konceptu nije data važnost nivo strukturalne integracije sa aspekta povratne informacije o stepenu uspešnosti izvršene adaptacije.

**Upravlјana struktura** je rezultat integracije senzora i aktuatora na strukturalni element, aktuatorско i senzorsko ponašanje je spregnuto sa regulatorom sa ciljem aktivnog upravljanja stanjem sistema ili pojedinih karakteristika. Stepen strukturalne i elektronske integracije je nizak, tj. struktura i upravljački sistem su određeni i odvojeni, zajedno kao sklop senzora i aktuatora ima relativno nisku strukturalnu funkcionalnost. Obično se upotrebljavaju u aplikacijama kontrole oblika antena, aktivne adaptacije sistema na protok fluida, kao izolatori buke, amortizacija vozila, itd...

**Aktivne strukture** su podgrupa upravljenih struktura i sadrže senzore i/ili aktuatore, za upravljanje predefinisane prirode pojave (upravljanje silom ili pomjerajem), sa visoko integrisanim elektronikom u cilju veće funkcionalnosti strukture. Stepen strukturalne integracije je nizak, tipične aplikacije ovog tipa strukture su aktivno upravljanje kablovima više ih mostovima, rešetkaste strukture sa aktivnim lanovima, strukture sa inercijalnim aktuatorima („sky-hook“ amortizeri), itd...

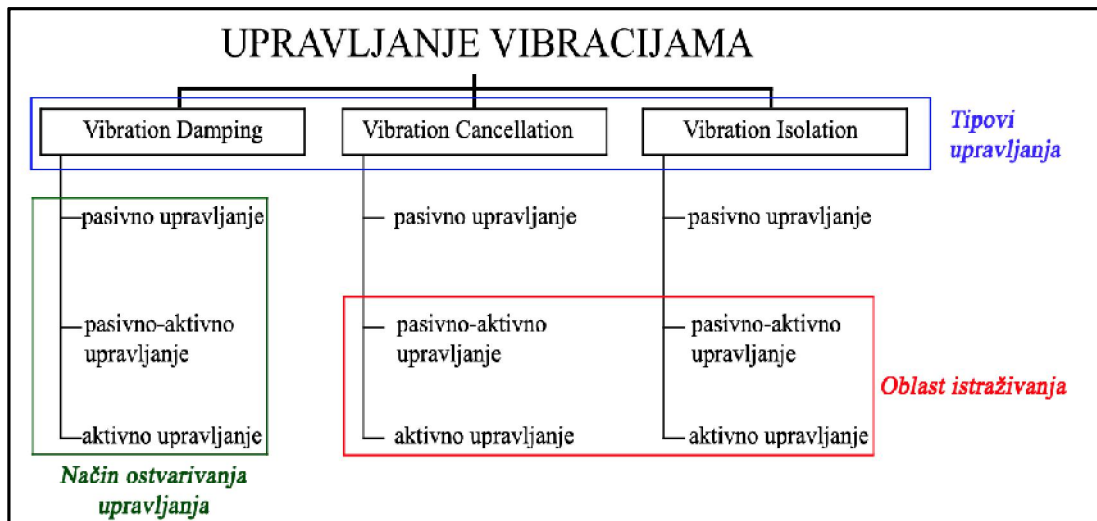
Podgrupa aktivnih struktura projektovana kao **adaptivna struktura** je autonomni strukturalni sistem koji sadrži senzore, regulatore i aktuatora koji omogu uju adaptaciju na promenjive uslove okoline. Sa ovim elementima se vrši pove anje: sigurnosti sistema, stabilnost, prigušenje vibracija, prigušenje buke, aerodinami ke performanse, ta nost, preraspodela sile itd... Aktuatori i senzori su elementi koji se sastoje od takozvanih pametnih „smart“ materijala, ija je osnovna karakteristika promena geometrije kao odgovor na zahtevanu promenu. Adaptivne strukture poseduju visok stepen strukturalne integracije, ali za upravljanje ovim strukturama nije izvršena zna ajna elektronska integracija. Primeri ovih struktura su pametni paneli za smanjenje buke i vibracija.

**Inteligentne strukture** pripadaju grupi adaptivnih struktura sa najsloženijim na inom upravljanja. Ove strukture sadrže veliki broj senzora i aktuatora integrisanih u strukturu, obezbe uju i visok stepen strukturalne integracije i potpunu strukturalnu funkcionalnost. Elektronsko upravljanje sistema sa signal kondicionerima i poja iva ima snage predstavlja visok nivo elektronske integracije sistema, koja vrši pobudu sistema na osnovu pra enja stanja elemenata sa senzora u cilju održavanja definisanog režima rada sistema ili pojedinih karakteristika sistema. Ovi sistemi mogu biti mehani ki, termalni, opti ki, hemijski, elektronski, magnetni ili nekog drugog tipa, ali uvek sa namenom distributivnog ili hijerarhijskog upravljanja zahtevane arhitekture. Na primer, mehani ka inteligentna struktura je sposobna da menja i mehani ko stanje (pozicija ili brzina) i mehani ke karakteristike (krutost ili prigušenje) projektovanog sistema. Regulatori sistema poseduju mogu nost samo-u enja „self-learning“, samo-adaptacije „self-adaptive“ i donošenje adekvatne odluke u cilju zadržavanja stanja sistema u zahtevanim granicama. Ove strukture se primenjuju za vazduhoplovne, svemirske, opti ke i druge aplikacije.

Opisane pametne strukture se primenjuju u vazduhoplovstvu za aplikacije upravljanja aerodinami kim površinama, smanjenja nivoa vibracija i buke, aktivnog upravljanja lopaticama rotora helikoptera, itd...

## 1.1 Podela sistema za upravljanje vibracijama

Cilj prigušenja vibracija je da se izvrši smanjenje amplitudne oscilovanja mehaničkih sistema ili njegovih elemenata modifikacijom strukturalnog odgovora sistema. Sistem prigušenja vibracija ne može imati univerzalno rešenje za sve mehaničke probleme već se u zavisnosti od aplikacije i problema koje treba rešiti vrši izbor upravljačkog mehanizma kao i izborom načina smanjenja vibracija. U opštem slučaju svi sistemi prigušenja vibracija se mogu realizovati na osnovu tri tipa upravljanja, i to: povećanjem koeficijenta prigušenja sistema (Vibration Damping), poništavanjem vibracija na izvoru (Vibration Cancellation) i izolovanjem izvora od drugih elemenata sistema (Vibration Isolation). Način ostvarivanja prigušenja vibracija može se ostvariti pasivnim upravljanjem (passive control), pasivno-aktivnim upravljanjem (semi-active control) i aktivnim upravljanjem (active control). Tipovi upravljanja kao i način ostvarivanja prigušenja dati su na slici 1.3.



Slika 1.3. Tipovi i načini upravljanja vibracijama

Povećanje koeficijenta prigušenja sistema (Vibration Damping) je uobičajen pristup smanjenju vibracija uzrokovanih udarima. Udari pobiju uju sopstvene mode oscilovanja sistema i u zavisnosti od karaktera pobude (broja udara) mogu voditi sistem u nestabilnost (problem slobodnih oscilacija). Povećanje koeficijenta prigušenja primljenu mehaničku energiju (vibracije) transformiše u topotnu energiju. Ovaj tip

upravljanja vibracijama se može ostvariti upotrebom pasivnih, aktivno-pasivnih i aktivnih na ina prigušenja.

Kada je sistem izložen kontinualnoj pobudu i kada je frekvencija izvora vibracija vrlo bliska karakteristi nim frekvencijama sistema (sopstveni modovi oscilovanja), tj. problem prinudnih oscilacija, i pove anje koeficijenta prigušenja sistema ne daje zadovoljavaju i efekat smanjenja, može se primeniti upravljanje u cilju poništavanja vibracija (Vibration Cancellation). Ovaj tip upravljanja prakti no zna i da se izme u izvora i sistema postavlja novi izvor vibracija sa ciljem poništavanja (smanjenja) vibracija pre ulaska signala u sistem. Kao i prethodni tip upravljanja i ovaj tip se može ostvariti upotrebom pasivnih, aktivno-pasivnih i aktivnih na ina prigušenja.

Naj eš e cilj upravljanja nije snižavanje vibracija na izvoru ve spre avanje njihovog prenosa na okolinu, odnosno izolacija pojedinih delova sistema od uticaja vibracija (Vibration Isolation). Izvori vibracija u ovom slu aju su daleko iznad ili ispod osnovnih modova oscilovanja strukture, ali njihova egzistencija može imati štetan efekat na pojedine elemente sistema. Kao i prethodna dva tipa upravljanja i ovaj tip se može ostvariti upotrebom pasivnih, aktivno-pasivnih i aktivnih na ina prigušenja.

Najzastupljenija na in upravljanja vibracijama se zasniva na upotrebi pasivnih tehnologija. Ve ina aplikacija se zasniva na pasivnom prigušenju koriste i viskoelasti ne materijale za upravljanje vibracijama sistema. Tako e pasivna prigušenja su najjeftinija za izradu, njihova uspešnost zavisi od razumevanja problema vibracija date strukture i prigušnih karakteristika materijala. Viskozni prigušiva i, prigušiva i podešavaju e mase, dinami ki apsorberi, strujni piezo-kerami kih prigušiva i i magnetni prigušiva i mogu biti elementi pasivnog upravljanja vibracijama. Ograni enja pasivnog upravljanja vibracijama su: nedostatak prilago ivanja sistema na promenu pobude, veli ina i težina elemenata za upotrebu sistema za niske frekvencije.

Pasivno-aktivno upravljanje (semi-active control) vibracijama poseduje mogu nost podešavanja sistema na ve i opseg frekvencija. Krutost sistema, koeficijent prigušenja i druge promenjive se mogu menjati, automatski, tako da se nivo smanjenja vibracija optimizuje za ve i radni opseg sistema. Promenjive vrednosti komponenata ovog sistema su poznati kao „podešavaju i parametri“ upravlja kog sistema i odre eni su adekvatnim razvojem algoritma pasivno-aktivnog upravljanja.

Aktivno upravljanje vibracijama otklanja nedostatak prilago enja sistema pri promeni dinami kih karakteristika sistema i promenama radnih režima izvora vibracija u vremenu. Aktivno upravljanje pove ava efikasnost sistema u širokom dijapazonu rada. Nedostak sistema aktivnog upravljanja vibracijama se odnosi na visoku cenu razvoja sistema. Elementi sistema aktivnog upravljanja vibracijama, senzori, aktuatori, regulatori su danas dostupni na tržištu i ovaj na in upravljanja postaje dominantan u razvoju sistema upravljanja vibracijama.

## ***1.2 Zahtevi za projektovanje i imlementaciju sistema upravljanja vibracijama***

Projektovanje i implementacija sistema aktivnog upravljanja vibracijama fleksibilnih struktura je zahtevan zadatak [7]. Veliki broj parametara vazduhoplova uti e na uspešnost projektovanja i integracije sistema aktivnog upravljanja. Zahtevnost projektovanja sistema aktivnog upravljanja vibracijama se ogleda u slede im injenicama:

- Broj sopstvenih modova oscilovanja može biti veliki i esto nepoznat [8]. Strukture sa velikim brojem sopstvenih modova oscilovanja i sistemom upravljanja na svim modova u praksi ne postoje. Zbog toga se naj e sistemi aktivnog upravljanja vibracijama projektuju za prigušenje najvažnijih ili najdominantnijih modova oscilovanja. U projektovanju sistema aktivnog upravljanja vibracijama fleksibilnih struktura, uobi ajena je praksa da se izvrši aproksimacija aktuelne fleksibilne strukture sa modelom na nižim modovima oscilovanja [9]. Ova aproksimacija se postiže isklju ivanjem svih modova oscilovanja koji leže van projektovanih radnih frekvencija. Me utim, upotreboru aprkosimacionog modela nižeg reda može izazvati neizvesnost rada sistema u oblasti nemodelovane dinamike.

- Upravljanje fleksibilnih struktura koje se pobu uju u širokom frekventnom opsegu sa velikim brojem sopstvenih modova zahteva izradu i implementaciju regulatora vibracija. Me utim, projektovanje regulatora širokog opsega i visokih performansi je izuzetno zahtevan posao. Teško a se ogleda i u tome da smanjenje vibracija na jednom frekventnom opsegu može izazvati pove anje nivoa na drugom opsegu [7], i

- Parametri rada fleksibilnih sistema nisu konstantni, fiksni. Parametri mogu varirati u toku vremena sa različitim promenama karakteristika. Promene mogu biti relativno male sa kontinualnim tokom, kao što je smanjenje ukupne mase vazduhoplova u toku leta uslovljeno potrošnjom goriva, ili iznenadne i velike, kao što je promena mase u toku izbacivanja tereta vazduhoplova (rakete, bombe, itd...). U nekim aplikacijama promena mase je poznata u nekim ne, što sa aspekta projektovanja regulatora daje još jednu nepoznatu veličinu. Regulatori fiksnih parametara mogu da ostvare smanjenje vibracija strukture, mada su mogunost upravljanja sistemom u slučaju promene parametara ograničene [11].

Na osnovu iznetih injenica o promeni stanja strukture i zahteva za smanjenjem brzine i amplituda oscilovanja struktura, kao i postojanje različitih tehničkih rešenja sa aspekta tipa vazduhoplovnih struktura, razvoj sistema aktivnog upravljanja vibracijama sa inženjerskog aspekta predstavlja oblast ogromnih inovacionih mogućnosti. Vodeći se injenicom da su najbolja tehnička rešenja ona najprostija i najefikasnija, pronađena je motivacija za istraživanjem i definisanjem što jednostavnijeg sistema aktivnog upravljanja vibracijama.

### 1.3 Pregled istraživanja u oblasti upravljanja vibracijama

Ideja o smanjenju uticaja buke i vibracija dodavanjem kompenzacionih signala nije nova. Ova ideja interferencije talasa u fluidima i materijalima upotreboom signala suprotne faze se prvi put pojavila u oblasti optike u 17. veku. Inicijalni principi fizike interferencije talasa u polju akustike mogu se pripisati istraživačkom radu lorda Rayleigh-a u kasnim 1870-im [12]. Lord Rayleigh je uspeo da izvrši interferenciju dva zvuka na polja koristeći se sa dve sinhronizovane elektromagnetne zvučne viljuške. Ovi eksperimentalni rezultati su potvrdili da se interferencija u akustici vrši na isti način kao i u optici, i da je pojava interferencije u biti fenomen širenja talasa kroz sve sredine.

Aktivno upravljanje vibracijama (Active Vibration Control – AVC) predstavlja adekvatno izabran postupak obezbeđenja polja sa maksimalnom talasnom interferencijom, tj. amplituda sistema se smanjuje uvođenjem interferentnih talasa fazno pomerenih sa prigušnog (aktuatora) elementa sistema. P. Lueg je 1936. godine izvršio sintezu do tada postojećih ideja o aktivnom upravljanju bukom i vibracijama, koje su

mu pomogle pri patentiranju prvog ure aja za upravljanje bukom u cevima sa vazduhom kao radnim (prigušnim) fluidom [13]. Ovaj patent predstavlja prvi pisani dokument aktivnog upravljanja u oblasti buke i dao je ogroman podsticaj u razvijanja metoda, postupaka i ure aja, kojima bi se vršilo smanjenje buke i vibracija upotreboom upravljanja za razli ite tehnike oblasti.

U 1950-tim H. F. Olson je izvršio prve laboratorijske eksperimente aktivnog upravljanja u oblasti buke i vibracija i time otvorio nove mogu nosti u primeni elektronski upravljenih elemenata kao prigušiva a vibracija za razne aplikacije [14, 15]. Olsonov rad nije doživeo veliki uspeh prvenstveno zbog tehnoloških mogu nosti, tj. bio je ograni en na upotrebu analogne opreme. Mala preciznost i kompleksnost analogne opreme je ograni avala sam razvoj sistema aktivnog upravljanja van laboratorije, tako da prakti nih rezultata njegovog rada u ovom periodu nema. Prakti na primena sistema aktivnog upravljanja bukom i vibracijama je ipak sa ekala razvoj tehnologije digitalne elektronske opreme, kao i izradu novih materijala.

Do kraja 1970-tih vrlo malo se radilo na razvoju postavljenih teorijskih i eksperimentalnih rešenja, ali novu pokreta ku snagu u oblast aktivnog upravljanja bukom i vibracijama daje razvoj i širenje oblasti digitalne obrade signala. K. Kido je najverovatnije prvi projektant koji je iskoristio razvoj kompjuterskih tehnologija za njihovu primenu u sistemima aktivnog upravljanja vibracijama [16].

Od 1990-tih na tržištu se pojavljuju raznovrsni procesori visokih performansi za digitalnu obradu signala, a kompjuterska oprema postaje dostupna i jeftina. Digitalno upravljanje za aplikacije aktivnog upravljanja vibracijama se brže razvijaju i realizacija regulatora sa više ulaza i više izlaza je dostupna korisnicima po prihvatljivim cenama. Ovo je ubrzalo primenu sistema aktivnog upravljanja bukom i vibracijama na realnim aplikacijama, tj. inženjeriskim problemima. Primena aktivnog upravljanja bukom i vibracijama je tih godina zapo eli ekspanziju u svim industrijskim oblastima i na svim mehani kim i elektronskim sistemima (vozilima, rotiraju im mašinama, visoko preciznoj opremi i elektronskim ure ajima). U oblasti vazduhoplovstva aktivno upravljanje bukom i vibracijama je najpre našla primenu na helikopterskim strukturama sa aspekta smanjenja štetnog uticaja vibracija sa rotora helikoptera na ostale sisteme, zamor materijala i uticaja na zdravlje pilota [17, 18, 19, 20].

Nakon ekspanzije teoretskih osnova u svim granama industrije, oblast aktivnog upravljanja bukom i vibracijama se krajem 20. veka deli u dve zasebne oblasti, i to: oblast aktivnog upravljanja bukom (Active Noise Control – ANC) i aktivnog upravljanja vibracijama (Active Vibration Control – AVC). Ova podela je delimi no uslovljena zaoštravanjem zahteva me unarodnih standarda u oblasti buke vazduhoplova kao i u oblasti humanih vibracija na vazduhoplovima [21, 22]. Tako e u navedenom periodu razvijaju se savremeni materijali – kompoziti, piezoelektri no kerami ki senzori i aktuatori, elektromagnetni senzori i po inje sa sa njihovom prakti nom primenom u industrijskoj proizvodnji [23, 24]. Integracijom novih materijala, aktuatora i senzora stvorene su „pametne strukture“ ija uspešnost u praksi prvenstveno zavisi od nivoa strukturalne i elektronske integracije pomenutih elemenata.

Od 2000-te godine oblast aktivnog upravljanja vibracijama doživljava potpunu ekspanziju u oblasti vazduhoplovstva. Viresh Wickramasinghe, David Zimcik, and Yong Chen su 2004. godine prezentovali nove adaptivne regulatore struktura u cilju prigušenja vibracija i buke na razli itim elementima strukture vazduhoplova. Regulatori upravljavaju „pametnim strukturama“ u cilju smanjenja buke i vibracija. Definisali su potencijalne mehani ke aplikacije zasnovane na konceptu pametnih opruga na vazduhoplovnim strukturama: sedišta pilota, nosa i reduktora i motora, lopatica glavnog rotora [28].

U radu Yong Chen, Viresh Wickramasinghe and David Zimcik [31] su 2005. godine izvršili razvoj algoritma adaptivnog sistema za upravljanje impedansom upotreboom aktuatora tipa pametnih opruga „smart spring“ u cilju smanjenja vibracija na lopatici rotora helikoptera (individual blade control - IBC). Harmonici lopatica su odre eni upotreboom parametarske metode, koja je koriš ena u cilju sinteze referentnog signala. Umnoženi ekvivalentni nivoi su oblikovani na odgovaraju im frekvencijama sa ciljem selektivnog prigušenja modova vibracija lopatica. Da bi prilagodili algoritam, autori su koristili metodu „on-line“ identifikacije kontrolne putanje. Algoritam je implementiran na MATLAB xPC platformi koriste i koncept hardware-in-the-loop (HIL). Eksperimenti u zatvorenim petljama su izvršeni upotreboom fiksnih elemenata helikopterskih lopatica na šejkerima i aerotunelskim testovima. Izvršeni eksperimenti su opravdali o ekivanja i zna ajno prigušili vibracije lopatica, što je opravdalo tezu da razvoj adekvatnog adaptivnog algoritama aktivnog upravljanja može da prepoznae

modove oscilovanja lopatice, prati promene nivoa vibracija pri promeni režima leta i da ih u adekvatnom momentu priguši. Razvoj ovakvog sistema je dalo novu dimenziju u oblasti individualnog upravljanja lopaticama glavnog rotora (IBC) helikoptera.

U toku prve decenije ovog veka pojavilo se i veliko interesovanje za razvijanje adaptivnih sistema upravljanja vibracijama sponzoritih sa mehanizmom promene geometrijskih karakteristika elemenata. Pristup aktivnom upravljanju vibracijama na strukturama sa promenjivom geometrijom su prezentovali autori Q. Hu, L. Xie and H. Gao [40] i zasniva se na pretpostavci da se prisustvo promenjive nelinearne raspodele optere enja može upravljati ulaznom nelinearnom distibucijom signala sa piezoelektričnih aktuatora. Da bi potvrdili poetne pretpostavke i izvršili simultano smanjenje vibracija i podešavanje geometrije vazduhoplovnih elemenata, autori su razvili dve odvojene upravljačke petlje i ovakav tip sistema nazvali hibridni model. Prva upravljačka petlja koristi piezokeramičke elemente kao senzore i aktuatore, u cilju aktivnog sprečavanja određenih modova oscilovanja, projektovanjem „suboptimal positive position feedback (SOPPF)“ kompensatora, koji dodaju prigušenje fleksibilnim strukturama u određenim kritičnim modovima. Problem određivanja napretka sistema SOPPF je formulisan kao problem statičke izlazne povratne sprege. Druga upravljačka petlja je povratna sprega i projektovana je na osnovu „output feed-back sliding mode control (OFSMC)“ strategije, koja razmatra ulaznu nelinearnost sistema i vrši njenu kontrolu. Regulator ima sposobnost da odbija ulazne poremećaje, obrađuje i promenjive poremećaje i obezbeđuje sigurnost da trajektorija sistema konvergira klizajući modu. Osim opisanih primarnih zadataka projektovanih petlji, adaptivna verzija predloženog regulatora uspeva da prepozna i pre nego se desi (feedforward) sprečiti ulazak sistema u granične vrednosti i kritične poremećaje sistema. Simulacija upravljačke strategije predloženog regulatora fleksibilne vazduhoplovne strukture je izvršena i na osnovu dobijenih rezultata potvrđena je uspešnost predloženog pristupa. Eksperimentalna istraživanja ove oblasti nisu izvršena.

Opisani teorijski pristupi za upravljanje vibracijama fleksibilnih vazduhoplovnih struktura u praksi su još uvek veliki tehnološki zalogaj, tako da se poslednjih godina sve više razvijaju teorije upravljanja vibracijama na elementima vazduhoplova koji imaju nižu kompleksnost strukture.

Pod pokroviteljstvom Ministarstva odbrane Republike Koreje, Jung Woo Sohn, Seung-Bok Choi and Chul-Hee Lee [42] su dizajnirali sistem aktivnog upravljanja vibracijama na modelima pametnih struktura trupa broda sa integrisanim kompozitnim vlaknima (macro-fiber composite – MFC). Kompozitna vlakna su napredni piezoelektrični kompoziti koji imaju ogromnu fleksibilnost sa povećanim pobudnim performansama u odnosu na standardne piezoelektrične keramike. Jedna ina kretanja ovih cilindričnih struktura sa integrisanim kompozitnim vlaknima (MFC) su određene na osnovu klasične Donnell–Mushtari teorije ljske. Pobudni model interakcije cilindrične strukture i kompozitnih vlakana je uključen u osnovne jedne ine. Sledeći korak u modelovanju sistema aktivnog upravljanja vibracijama je bio određivanje modalnih karakteristika i njihovo poređenje sa rezultatima dobijenim iz eksperimenta. Jedna ina aktivnog upravljanja vibracijama su određene i na osnovu njih je razvijen linearni kvadratni Gausov algoritam upravljanja u cilju efikasnog aktivnog upravljanja vibracijama. Sa predloženim regulatorom su izvršeni eksperimenti na modelu i izvršena je procena uspešnosti performansi upravljanja vibracijama.

Vlada Republike Koreje je finansirala rad autora Jong-Seok Oh, Young-Min Han and Seung-Bok Choi [43] sa ciljem da se projektuje sistem aktivnog upravljanja vibracijama za kamere bespilotnih letelica. Aktivni aktuatori predloženog postolja su razvijeni kao inercijalni tip postolja, u kojima je piezoelektrični štap direktno vezan na inercijalnu masu. Nakon proračuna pobudne sile štapa aktuatora, izvršena je integracija aktuatora sa gumenim elementom postolja, koji je frekventni spektar u potpunosti određen merenjima u letu. Na osnovu dinamičkih karakteristika postolja kamere, razvijen je sistem aktivnog upravljanja vibracijama sa regulatorom tipa sliding mode (SMC – sliding mode controller). Izvršeno je i eksperimentalno utvrđivanje karakteristika projektovanog sistema.

Yong Chen, Viresh Wickramasinghe and David Zimcik [32, 33, 34] su pod pokroviteljstvom Ministarstva odbrane Kanade izvršili razvoj adaptivnog helikopterskog sedišta u cilju smanjenja humanih vibracija posade helikoptera. U radu je prikazan postupak razvoja adaptivnog helikopterskog sedišta sa ciljem smanjenja vibracija na posadu helikoptera. Ispitivanja u letu helikoptera Bell-412 izvršena su sa ciljem da se utvrde nivoi vibracija transmisije od izvora do sedišta posade helikoptera i nivoi na samom sedištu pilota. Na osnovu ovih letnih ispitivanja autori su odredili

frekventnu mapu vibracija helikoptera Bell-412. Eksperimentalna modalna analiza sedišta kopilota helikoptera Bell-412 opremljenog sa lutkom je sprovedena sa ciljem istraživanja dinamike ponašanja modela sedište-pilot i identifikacije kritičnih modova oscilovanja. Nakon integracije adaptivnog sistema na sedište izvršena je modalna analiza sa istim tipom opterećenja, kako bi se utvrdila promena sopstvenih modova oscilovanja sedišta nakon dodate mase adaptivnog sistema. Adaptivno helikoptersko sedište je opremljeno sa dva štapa piezoelektričnih aktuatora sa osloncem na pobravku (simulacija poda helikopterske kabine) i predstavljaju aktivne podupireće sa ciljem da se obezbedi efikasno upravljanje nivoima vibracija u radnim režimima na sedištu helikoptera. Koncept dokazivanja uspešnosti modifikacije sedišta u adaptivno helikoptersko sedište je zasnovano na eksperimentalnom poređenju performansi upotrebostrategije sa spregom unapred. Rezultati ispitivanja su pokazali kontinualno prigušenje vibracija na kritičnim modovima oscilovanja sa dostizanjem znatnog smanjenja uticaja nivoa vibracija na celo telo „whole-body“ pilota. Sa ovim rezultatima je verifikovana efikasnost koncepta adaptivnog postolja helikopterskog sedišta za aplikacije smanjenja vibracija posade helikoptera.

U datom pregledu istraživanja autor se nije zadržavao na primjenjenim strategijama aktivnog upravljanja vibracijama (elektronska integracija sistema) iz jednostavnog razloga što izbor na ina upravljanja predstavlja li nu inovativnost autora radova i zavisi od primjenjenog nivoa strukturalne integracije sistema.

#### ***1.4 Predmet istraživanja i organizacija teze***

Interesovanje za strukturama visokih performansi, a ujedno i aktivnih struktura, kao podgrupe tih struktura, je od početka, uglavnom podsticano od javnih i privatnih preduzeća iz vazduhoplovнog sektora. Proizvodi iz ovog sektora su obično veoma skupi sistemi, sadrže visok nivo integracije sofisticiranih tehnologija sa uvek istim ciljem, a to je ispunjenje postavljenih zahteva projektovanja vazduhoplova sa visokim letnim performansama i visoke pouzdanosti. Za razvoj sistema aktivnog upravljanja vibracijama neophodna su znatna finansijska sredstva, a finansijeri obično ta sredstva daju onim kompanijama koja imaju iskustva u razvoju istih ili sličnih sistema iz te oblasti.

U skladu sa navedenom injenicom u Republici Srbiji u bliskoj prošlosti nisu prepoznate mogu nosti razvoja tehnologija aktivnog upravljanja vibracijama što potvr uje i injenica da u našoj zemlji nisu postojale nau no-istraživa ke institucije koje su se bavile ovom problematikom. Ova disertacija u opštem smislu predlaže opštu metodologiju razvoja sistema aktivnog upravljanja vibracijama i definiše postupke u razvoju jednog sistema na strukturalnim elementima vazduhoplova. U užem smislu disertacija predstavlja uspeh autora da realizuje prototip sistema aktivnog upravljanja vibracijama i njegove verifikacije na elementarnim vazduhoplovnim strukturama.

Polazna osnova predložene doktorske disertacije je bazirana na sistematizaciji primenjenih teorijskih i tehni kih rešenja sistema aktivnog upravljanja vibracijama na strukturalnim elementima vazduhoplova u cilju definisanja prihvatljive metodologije razvoja sistema. S obzirom na specifi nost problema prigušenja vibracija u vazduhoplovstvu, može se konstatovati da ne postoji mogu nost potpunog matemati kog modelovanja elemenata sistema, pre svega zbog nestacionarnih uslova leta, a tako e i zbog promenjive mase pojedinih elemenata. Usled promene mase vazduhoplova, centar mase i krutost sistema se menja što uslovljava i menjanje pravca rezultuju e sile. Navedeni problem menjanja vektora rezultuju e sile na strukturalnim elementima vazduhoplova zahteva ve i nivo elektronske integracije sa visokom strukturalnom integracijom. Visoka strukturalna integracija sistema sa aspekta finansijske projekcije podrazumeva ve u cenu krajnjeg proizvoda, što u osnovi predstavlja prepreku za opštu industrijsku primenu. Metodologija razvoja sistema aktivnog upravljanja vibracijama, izložena u ovoj disertaciji, treba da prona e odgovaraju i odnos izme u ostvarene uspešnosti aktivnog upravljanja vibracijama odgovaraju ih struktura i cene jednog takvog sistema.

Dakle, predložena metodologija aktivnog upravljanja vibracijama je u korelaciji sa sve ve im procesorskim mogu nostima modernih digitalnih kontrolera i "novih" materijala (piezoaktuatori), omogu avaju i razvoj novih, preciznijih i potpuno funkcionalnih struktura. Primenjene tehnike modelovanja novih tehnoloških struktura su "klasi ne" i dobro poznate u rešavanju problema u oblasti strukturalnih vibracija u dugom nizu godina. Specifi nost oblasti aktivnog upravljanja vibracijama leži u multidisciplinarnosti procesa i u posedovanju kvalifikovanih stru njaka sa aspekta teorijskih, tehni kih, empirijskih i prakti nih znanja, koja se sti u adekvatnim

metodološkim pristupom kroz postupke koje omogu avaju kvalifikaciju navedenih stru njaka.

Ova doktorska disertacija je organizovana na slede i na in:

## **Glava 2: Elementi sistema aktivnog i aktivno-pasivnog upravljanja vibracijama**

U ovoj glavi izvršen je pregled i sistematizacija osnovnih elemenata sistema aktivnog i aktivno-pasivnog prigušenja vibracija. Glava je organizovana u tri poglavlja u kojima su opisani mogu i tipovi senzora i aktuatora za kreiranje aktivne strukture, osnovni zahtevi koje mora ispuniti regulator (upravlja ki sistem) u cilju efikasnosti, stabilnosti i robustnosti. Date su osnovne razlike izme u sistema aktivnih i aktivno-pasivnih sistema upravljanja za potrebe prigušenja vibracija.

## **Glava 3: Matemati ki model strukturalnih elemenata vazduhoplova**

Teorijska analiza dinami kog ponašanja strukturalnih elemenata vazduhoplova, kao i odre ivanje matemati kog modela aktivne strukture (mehani ka strukutra sa integrisanim aktuatorima i senzorima) je izvršeno u ovoj glavi. Opisane su konstitutivne jedna ine aktuatora i senzora u cilju numeri ke analize aktivne strukture upotrebom metode kona nih elemenata. Tako e date su osnove “particle swarm” (rojem estica) optimizacije mehani kih sistema sa integrisanim aktuatorima i senzorima sa aspekta izbora dimenzija, položaja i orientacije aktuatora i senzora. Date su karakteristike upravljivosti i osmotrivosti, kao i ciljne funkcije koje treba da zadovolji integrisana struktura sa ciljem ve e efikasnosti sistema.

## **Glava 4: Upravlja ki algoritmi sistema aktivnog prigušenja vibracija**

Ova glava rada se isklju ivo bavi principima razvoja regulatora sistema aktivnog upravljanja vibracijama. Izabrana je strategija povratne spregom (feedback). Upravlja ki sistemi opisani u ovoj glavi predstavljaju rešenja za prigušenje vibracija mehani kih sistema iji su kontrolni signali jednak zbiru primarnih izvora pobuda (spoljašnje sile) i sekundarnih izvora pobuda (dejstvo aktuatora). Navedena strategija

upravljanja vibracijama je opisana jednokanalnim sistemom (single input – single output). Jedna ine stanja sistema sa povratnom spregom su date u matri nom obliku sa ciljem odre ivanja karakteristika sistema: stabilnost, upravljivost kao i efekte razli itih tipova upravljanja. Posebna pažnja je usmerena na efekat vremenskog kašnjenja upravlja kog signala u odnosu na izlazni signal sistema, kao i njegov efekat na prigušenje vibracija aktivne strukture.

## **Glava 5: Razvoj sistema aktivnog prigušenja vibracija**

U ovoj glavi na osnovu predložene metodologije sprovedena je numeri ka analiza gde su ispitane dinami ke karakteristike izabranog strukturalnog elementa vazduhoplova (pravougaona aluminijumska plo a). Izvršen je izbor senzora i aktuatora, optimizacija njihovog položaja i rjentacije i integracija u aktivnu strukturu. Izvršena je numeri ka analiza integrisane aktivne strukture i izvršeno je pore enje numeri kih rezultata vazduhoplovog strukturalnog elementa bez i sa senzorsko-aktuatorskom platformom. Na osnovu dobijenih pozitivnih rezultata numeri ke analize o dinami kim karakteristikama aktivne strukture izvršeno je projektovanje i razvoj celokupnog sistema aktivnog prigušenja vibracija sa povratnom spregom i proporcionalno-integralno-diferencijalnim (PID) regulatorom.

## **Glava 6: Eksperimentalna verifikacija sistema aktivnog prigušenja vibracija**

U ovoj glavi izvršena je eksperimentalna verifikacija sistema aktivnog prigušenja vibracija razvijenog na osnovu numeri kih rezultata datih u prethodnoj glavi. Prikazana je eksperimentalna postavka celokupnog sistema aktivnog prigušenja vibracija. Metodom eksperimentalne modalne analize utvr eni su modalni parametri osnovne i aktivne strukture, i pore eni su sa numeri kim rezultatima. Izvršena je analiza i odre ivanje koeficijenta prigušenja aktivne strukture bez i sa upravljanjem. Koeficijent prigušenja aktivne strukture je efikasan na modove savijanja (I mod) i uvijanja (II mod), time je opravdan postupak optimizacije položaja i orjentacije senzorsko-aktuatorskih platformi. Efikasnost prigušenja vibracija aktivne strukture je dokazana pri slobodnim i prinudnim vibracijama pri razli itim koeficijentima poja anja PID regulatora.

U toku verifikacije sistema uočeni su efekati koji utiču na upravljivost sistema aktivnog prigušenja vibracija (“spillover”, podharmonici na oblast osnovne frekvencije i nestabilnost sistema usled neadekvatnog vremena kašnjenja upravlja kog signala u odnosu na kontrolni signal). Analizom vibracija u vremenskom i frekventnom domenu definisani su uzroci pojave i preporuke za neutralisanje navedenih efekata.

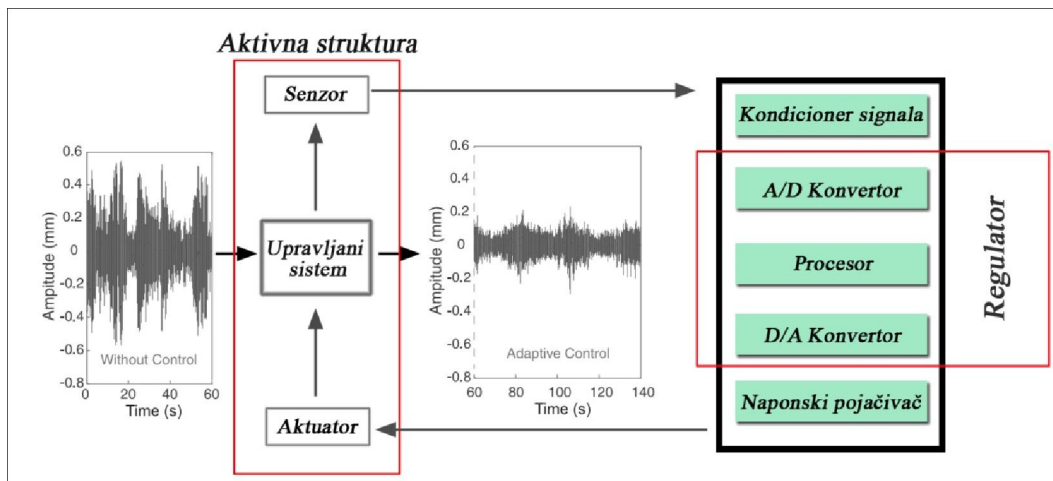
## **Glava 7: Zaključak**

U ovoj glavi sumarno su prikazani rezultati istraživanja i naučni doprinosi disertacije. Takođe, date su neke preporuke za buduća istraživanja iz ove oblasti.

## Glava 2

# 2 ELEMENTI SISTEMA AKTIVNOG I AKTIVNO-PASIVNOG UPRAVLJANJA VIBRACIJAMA

Sistem aktivnog upravljanja vibracijama je složen elektro-mehanički uređaj i sastoji se od sledećih komponenata: osnovne mehaničke strukture (upravljeni element ili sistem), senzorske platforme integrisane na upravljeni sistem, aktuatorске platforme takođe integrisane na upravljeni sistem, kondicionera signala (priprema izmerenog signala sa senzora za ulaz u regulator), regulatora i visoko naponskog pojačivača (pojačanje kontrolnog signala na naponski nivo aktuatora). Opšta blok šema sistema aktivnog upravljanja vibracijama dada je na slici 2.1.



Slika 2.1. Blok šema sistema aktivnog upravljanja vibracijama

Na blok šemi sistema aktivnog upravljanja vibracijama nazna ene su dve celine, i to: aktivna struktura i regulator. Aktivna struktura predstavlja mehani ki deo sistema, tj. mehani ki sklop upravljanog elementa, senzora i aktuatora. Za optimizaciju i integraciju senzora i aktuatora na upravljeni element potrebno je izvršiti matemati ko modelovanje sistema sa ciljem da se kretanje sistema (deformacije) pod uticajem spoljašnjih dinami kih sila u što kra em vremenskom periodu priguše. Senzori sistema su elementi koji neelektri nu promenjivu veli inu (deformaciju, brzinu ili ubrzanje sistema) pretvaraju u elektri ni signal i prosle uju ka kontroleru. Aktuatori su elementi sistema koji obra eni elektri ni signal pretvaraju u mehani ki rad, naj eš e menjaju i sopstvene geometrijske karakteristike (dužinu).

Regulator predstavlja elektronski deo sistema koji izmereni signal sa senzora aktivne strukture poredi sa referentnim (željenim) nivoom i obra uje grešku sistema. Upravlja ka logika (algoritam upravljanja) na osnovu greške sistema odre uje signal upravljanja, tj. signal koji e se poslati na aktuator u cilju neutralisanja deformacije odnosno oscilovanje sistema. Upravlja ka logika (algoritam upravljanja) se u najve em broju slu ajeva projektuju na osnovu dve upavlja ke strategije, i to pomo u: povratnih sprega (feedback) i petljama unapred (feedforward) [27].

U ovom poglavlju su predstavljeni i opisani elementi sistema aktivnog i aktivno-pasivnog upravljanja vibracijama.

## **2.1 Aktivne strukture**

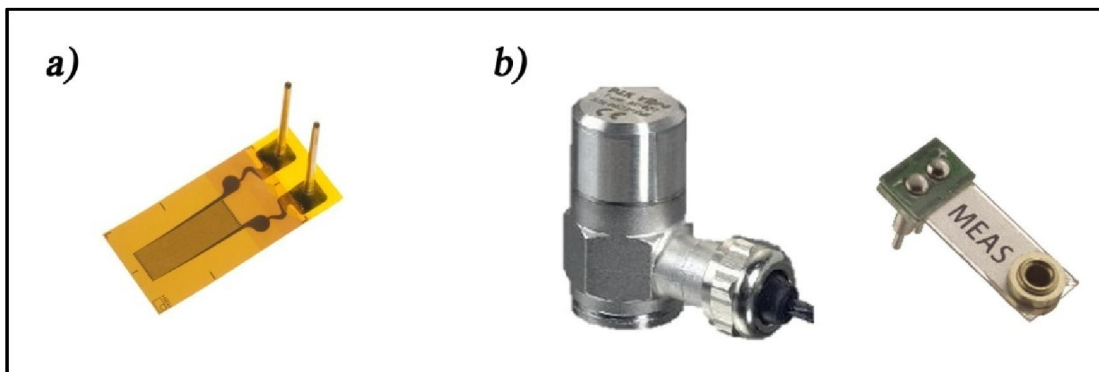
Ponašanje aktivnih struktura u sistemima aktivnog upravljanja vibracijama je rezultat uspešnosti izvršene integracije senzora i aktuatora na upravljeni element, tj. optimizacije njihovih lokacija na upravljanom elementu. Svaka integracija podrazumeva promenu ukupne mase upravljanog elementa, pove anje lokalne krutosti sa aspekta izabranog para senzora i aktuatora. Dinami ke karakteristike upravljanog elementa se menjaju i sa tog aspekta potrebno je vršiti izbor tipa senzora i aktuatora, optimizaciju broja senzorsko-aktuatorskih parova i lokacije integracije.

### **2.1.1 Senzori**

Senzori su ure aji koji izabranu fizi ku veli inu konvertuju u elektri ni signal, koji se zatim šalje u odgovaraju i instrument i adekvatnom kalibracionom metodom taj

elektri ni signal konvertuje u fizi ku veli inu prepoznatljivu za korisnika. Osnovne karakteristike mernog sistema su: velika ta nost, širok dinami ki opseg merenja, povoljan odnos signal/šum i direktna usmerenost na ra unarsku podršku u fazi merenja i obrade rezultata.

Za potrebe sistema aktivnog upravljanja vibracijama koriste se mehani ki senzori, i to naj eš e senzori deformacija, brzina, ubrzanja i sila u mehani kim sistema. U opštem slu aju senzori aktivnih struktura se mogu podeliti na dve grupe: senzori koji se snabdevaju elektri nom energijom, i senzori koji generišu napon. U odnosu na datu podelu tipi an predstavnik senzora prve grupe su merne trake [44]. Merne trake se upotrebljavaju za merenje deformacije mehani kih struktura koje su naj eš e male. Prema tome i promene otpornosti trake su izuzetno male i ne mogu se meriti direktno upotrebo klasi nih instrumenata, ommitara. Merne trake se uklju uju u merni sistem sa preciznim odre ivanjem promene otpornosti u mernoj traci. Prva komponenta sistema je sama merna traka, koja pri prisustvu mehani ke deformacije vrši promenu otpornosti trake. Druga komponenta sistema je merno kolo, naj eš e je to Wheatstoneov most. Merna traka i merno kolo se napajaju elektri nom energijom iz spoljašnjeg izvora, i održavaju merni lanac u ravnoteži. Pri prisustvu deformacije dolazi do poreme aja uspostavljenog balansa i merni lanac detektuje promenu otpornosti sistema, koja se preko naponskog poja iva a signala šalje u instrument i prikazuje vrednost te deformacije. Na slici 2.2. a) dat je izgled merne trake.



**Slika 2.2.** Senzori za aktivno upravljanje vibracijama: a) snabdevani elektri nom energijom, i b) piezoelektri ni senzori

Drugu grupu ine senzori koji generišu napon principom piezoelektri nog efekta. Generisani napon je srazmeran fizi koj veli ini deformaciji, brzini ili ubrzaju u skladu sa namenom senzora. Piezoelektricitet je svojstvo odre enih vrsta kristalnih materijala koja se javlja kada na njih deluje mehani ka sila. Usled deformacije koja se javlja pod dejstvom sile, ovi materijali generišu nanelektrisanja na svojim površinama. Ovaj efekat se naziva direktni piezoelektri ni efekat. Piezoelektri ni efekat su otkrili Pjer i Pol Kiri 1880. godine. Ako se piezoelektri ni materijal integriše u strukturu, može se izmeriti deformacija strukture pomo u napona koji se javlja izme u površina zahvaljuju i direktnom piezoelektri nim efektu [45]. Na slici 2.2. b) dat izgled više tipova piezoelektri nih senzora.

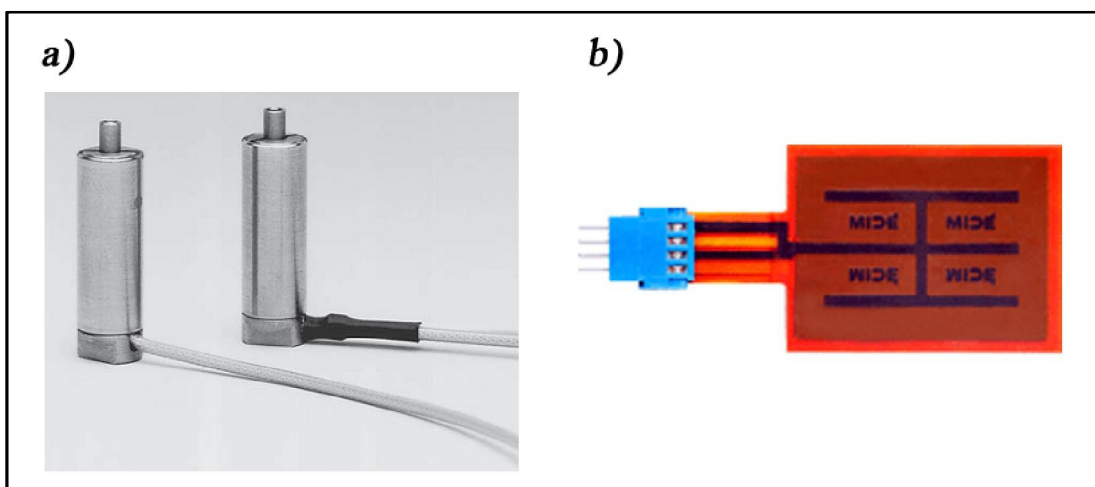
Obe grupe senzora kao izlaz daju napon odnosno promenu napona usled promene mehani kih karakteristika sistema. Izlazni napon, odnosno izmereni signal, može biti izuzetno mali pri upotrebi traka ili izuzetno visok usled upotrebe piezoelektri nih senzora. Ova injenica se mora uzeti u obzir pri projektovanju regulatora. Izbor tipa senzora zavisi najpre od kompleksnosti sistema kojim želimo da upravljamo. Za elementarne strukture, grede ili plo e sa niskim sopstvenim modovima oscilovanja dobro je koristiti merne trake, dok za kompleksne sisteme sa visokim frekvencijama sopstvenih modova oscilovanja preporu ljivo je koristiti piezoelektri ne senzore.

### 2.1.2 Aktuatori

Aktuatori su ure aji koji elektri ni ili fluidni ulaz pretvaraju u mehani ki izlaz kao što su pozicija, sila, ugao ili moment. Obično se aktuatorima menja intenzitet toka energije ili materijala kroz objekat upravljanja u cilju dostizanja odre enih performansi. U današnje vreme svi sistemi upravljanja koriste neku aktuatorsku (izvršnu) jedinicu, što zavisi od prirode procesa kojim se upravlja, tipa energije koju koriste za svoj rad, tipa upravlja kog signala itd. Za sisteme aktivnog i aktivno-pasivnog upravljanja vibracijama naj eš e se koriste aktuatori piezoelektri nog dejstva (piezoelectric), magnetoreološkog dejstva (magneto-rheological, MR), elektromagnetoreološkog dejstva (electrorheological, ER) itd...

**Piezoelektri ni aktuatori** se zasnivaju na inverznom piezoelektri nom efektu. Za razliku od senzora istog tipa, kod aktuatora se piezoelektri ni materijali izložu

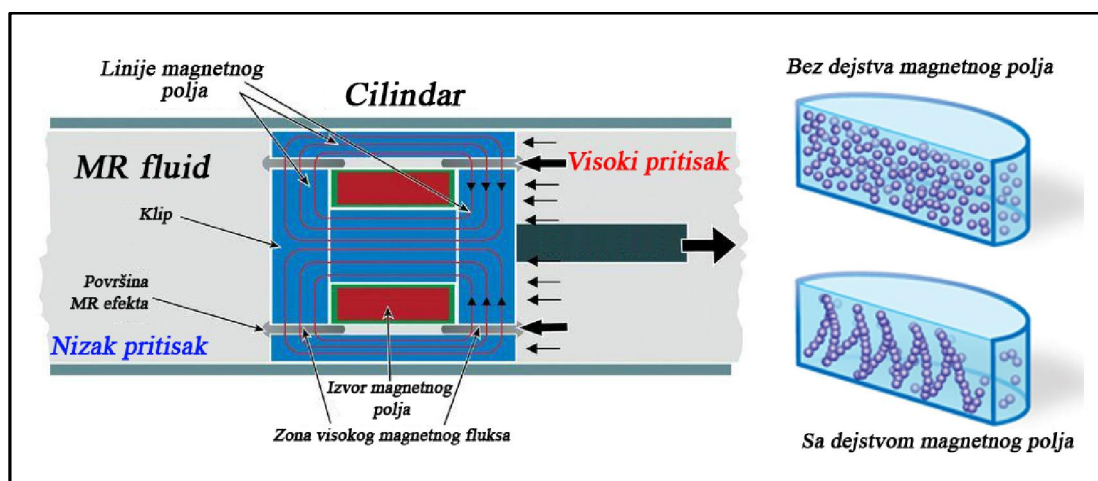
dejstvu električnog polja, što izaziva mehaničke deformacije aktuatora, a samim tim i deformacije mehaničke strukture u (na) koju su integrirani. Piezoelektrični efekat u prirodnim kristalima je slab, tako da se u mnogim savremenim primenama koristi poliviniliden fluorid („PVDF“), polukristalni polimer i olovo-cirkonat-titanat („PZT“), piezoelektrični keramici materijal. Olovo-cirkonat-titanat ima veće piezoelektrične koeficijente u odnosu na poliviniliden fluorid, tako da može proizvesti veće sile i deformacije, što ga čini pogodnim za aktuator, a takođe se može koristiti i kao senzor. Sa druge strane, olovo-cirkonat-titanat je kružni u odnosu na poliviniliden fluorid, ima veću masu i cenu. Poliviniliden fluorid ima odlične senzorske karakteristike, pa se najčešće koriste kao senzor. Dva tipa piezoelektričnih aktuatora se trenutno koriste u sistemima aktivnog upravljanja vibracijama: piezoelektrični štapasti aktuatori i piezoelektrični plošni aktuatori. Izgled oba tipa aktuatora dat je na slici 2.3. Osnovna razlika između štapastih i plošnih aktuatora je u silama koje mogu ostvariti. Štapastim aktuatorima se može upravljati sistemima velike mase i opterećenja, dok se plošni aktuatori koriste kod tankozidnih struktura koje nisu izložene visokim opterećenjima.



Slika 2.3. Piezoelektrični aktuatori: a) oblika štapa (Piezomechanik GmbH), i b) oblika ploče (Mide)

**Magnetno-reološki (MR) i elektro-reološki (ER) aktuatori** pripadaju grupi aktuatora čije se radni princip zasniva na upravljanju fluidima. MR aktuatori se sastoje od magnetno polarizovanih estica koji miruju u fluidu bez ikakve orijentacije estica. U trenutku promene magnetnog polja, tj. pojavi magnetnog polja magnetne estice

zauzimaju položaj u pravcu dejstva polja obrazuju i lanac sa ciljem promene reoloških karakteristika fluida. Odgovor magnetnih estica na promenu magnetnog polja je skoro trenutan, kašnjenje aktuatora na promenu je svega nekoliko milisekundi. Princip rada ER aktuatora je identičan radu MR aktuatora. Razlika je što se ER aktuatori sastoje od dielektričnih estica u nepolarnom fluidu. Reološke karakteristike ovih aktuatora se menjaju sa promenom jačine električnog polja. Dielektrične estice su mikrometarske veličine sa sposobnošću formiranja lanaca usled promene električnog polja u vrlo kratkom vremenskom intervalu (par milisekundi). Reološke karakteristike fluida, u oba tipa aktuatora (MR i ER), kao što su viskoznost, elastičnost i plastičnost, se menjaju u vrlo kratkom vremenskom periodu u zavisnosti od jačine magnetnog odnosno električnog polja. Zbog ove karakteristike MR i ER aktuatori su primenjivi za aplikacije prigušenja i upravljanja vibracijama na raznim strukturama i uređajima. Kada se upotrebljavaju na adaptivnim sistemima, mogu znatno umanjiti dejstvo dinamičkog odgovora struktura u odnosu na unešeni poremećaj. [46] Karakteristika ovih aktuatora je da proizvode velike sile sa znatnih hodom cilindara. Na slici 2.4. data je principijelna šema rada MR aktuatora.

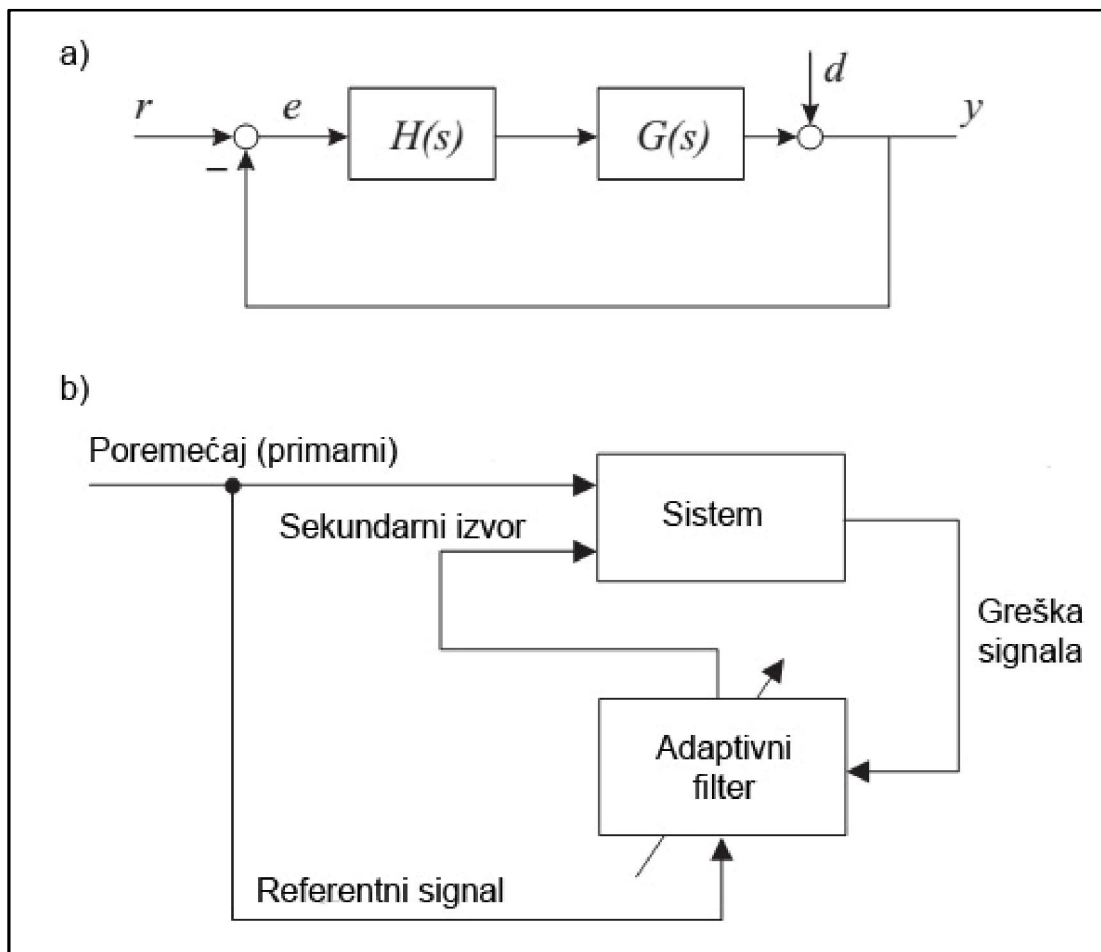


Slika 2.4. Principijelna šema rada MR aktuatora

Navedeni aktuatori su tipični predstavnici koji se koriste u sistemima aktivnog i aktivno-pasivnog upravljanja vibracijama. U zavisnosti od tipa sistema koji se upravlja i jedni i drugi predstavnici imaju svoje prednosti i mane.

## 2.2 Regulatori sistema upravljanja vibracijama strukture

Nakon definisanja senzorske platforme, koja mora nedvosmisleno da opisuje dinamiku sistema, aktuatorске platforme, koja mora da ima kapacitet da se suprostavlja ustaljenom režimu oscilovanja sistema, potrebno je definisati način upravljanja, tj. regulator ija je uloga da za snimljeno dinamičko stanje sistema odredi adekvatno upravljanje i pošalje ga ka aktuatoru (amplitudu, frekvenciju i fazu) kako bi se izvršilo umirivanje oscilacija sistema dinamici sistema. Regulator sistema aktivnog upravljanja vibracija se zasniva na jednoj od dve strategije upravljanja, i to: strategije sa povratnom spregom (feedback) i strategije sa petljama unapred (feedforward) [27]. Blok dijagrami obe strategije upravljanja su date na slici 2.5.



Slika 2.5. Blok dijagram struktura upravljanja a) sa povratnom spregom (feedback), b) sa spregom unapred (feedforward) [5]

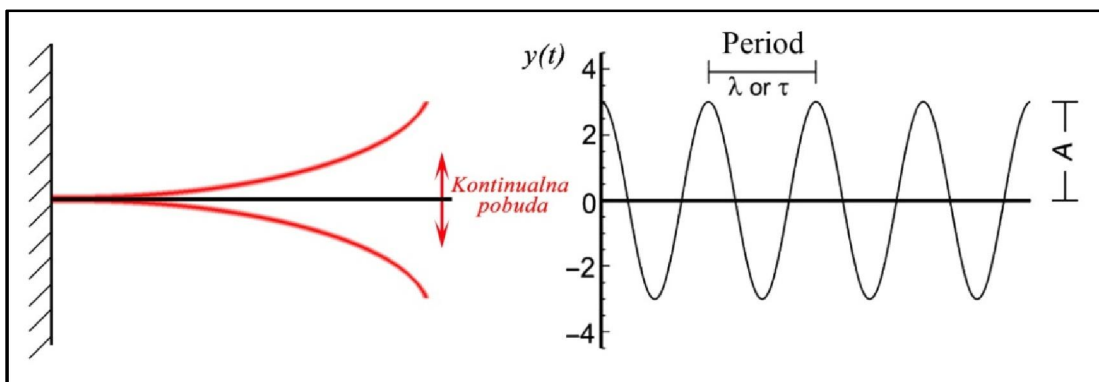
Kao što je već pomenuto suština svakog upravljanja ima za cilj da u nekom zadanim vremenskom periodu obezbedi željeni ishod. U tom smislu teorija upravljanja bavi se pitanjem na ina na koji treba promeniti buduće ponašanje sistema. Da bi se to moglo uraditi neophodno je da se, kao prvo, definiše željeni ishod. Pored toga, mora da postoji i skup mogućih akcija kojima se utiče na ponašanje sistema. Projektovanje sistema upravljanja se tako svodi na formiranje algoritma pomoću koga će se odabrati ona akcija koja će dovesti do željenog ishoda. Uredaj koji realizuje ovaj algoritam označava se kao regulator.

Kod sistema koji su izloženi oscilatornom kretanju, tj. vibracijama, usled spoljašnjih prinudnih sila željeni ishod upravljanja je da se sistem dovede u stanje mirovanja. Poznajući i prirodu procesa spoljašnjih sila, kao i dinamičke karakteristike sistema nad kojim se vrši proces, ne isključuje se mogućnost da se pobudna frekvencija oscilovanja poklopi sa osnovnim modovima oscilovanja što dovodi sistem u rezonantno stanje. Rezonantno stanje pojavačača amplitudu oscilovanja i vodi sistem ka nestabilnosti, tj. oštete enjima ili lomu. Sistemi za upravljanje vibracijama pre svega moraju da spreči opisani scenario. Sa druge strane, u slučaju prigušenja vibracija na sopstvenim modovima oscilovanja nije moguće u potpunosti zaustaviti kretanje sistema, prvenstveno sa aspekta postojanja kontinualnog spoljašnjeg opterećenja.

Da bi se objasnio osnovni zahtev svakog regulatora, najlakše je primeniti teoriju interferencije talasa. Kretanje tela pri dejstvu kontinualnog periodičnog opterećenja može se opisati sinusnom jednačinom:

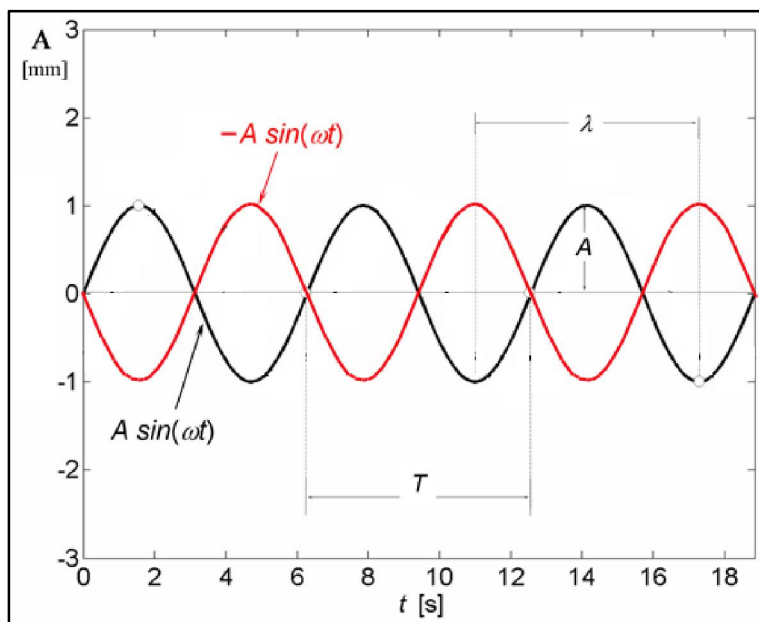
$$y(t) = A_0 \cos(\omega t + \phi_0) \quad (2.1)$$

i naziva se fazor (phasor), gde su:  $y(t)$  - trenutna pozicija sistema,  $A_0 [mm]$  - maksimalna amplituda pomeranja,  $\omega [rad/s]$  - ugaona brzina sistema,  $\phi_0 [rad]$  - ugaona pozicija sistema u početnom trenutku, ( $t = 0s$ ). Prikaz kretanja tela pri periodičnom pobudi je ilustrovan na slici 2.6.



Slika 2.6. Prikaz kretanja strukture pri periodi noj kontinualnoj pobudi

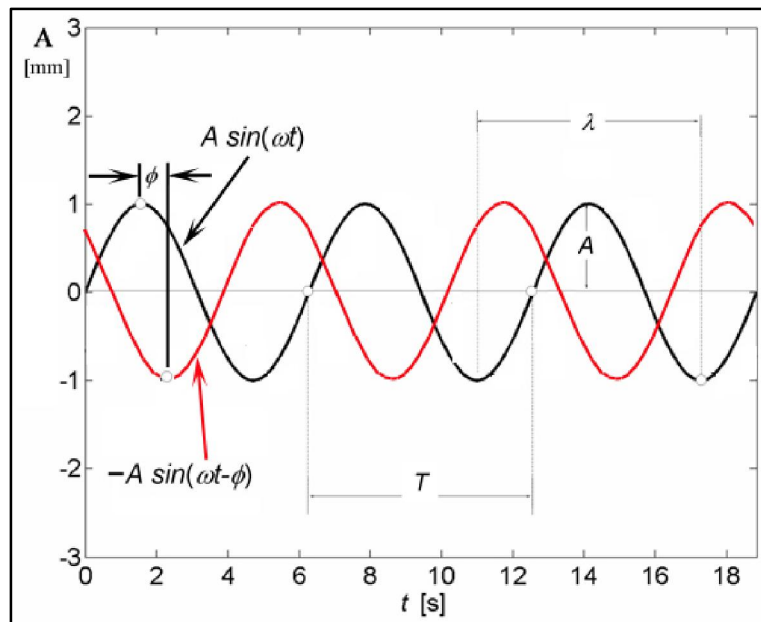
Da bi se oscilovanje neke strukture prigušilo potrebno je delovati drugim izvorom kontinualne pobude (aktuatorom) sa faznim kašnjenjem od  $\phi=180^\circ$ . Regulator je taj koji treba da odredi amplitudu, frekvenciju i fazno kašnjenje upravlja kog signala. Na slici 2.7 dat je prikaz idealne interferencije signala kontinualnog spoljašnjeg dejstva i dejstva aktuatora sa prora unatim upravlja kim signalom sa kontrolera.



Slika 2.7. Idealna interferencija signala kontinualnog spoljašnjeg dejstva i dejstva aktuatora

U teorijskom smislu pristup upravljanju signalom sa pomerenom fazom od  $\phi=180^\circ$  je svakako mogu , ukoliko su svi potrebeni parametri ta no odre eni i ukoliko su svi fenomeni koji se javljaju u sistemu uzeti u obzir, ostvari e se o ekivanu potpuno

umirenje sistema. Međutim, u praksi upravljanje sistemima aktivnog i aktivno-pasivnog prigušenja vibracija željeni ishod potpunog umirenja vibracija je nemoguće ostvariti iz više razloga. Osnovni problem leži u injenici da je regulator elektronski uređaj koji prima signal o trenutnoj poziciji sistema  $y(t_0)$ , označen kao početni trenutak. Obrada signala se vrši po zadatom algoritmu određujući i adekvatan upravljački signal u početnom trenutku,  $u(t_0)$ . Proces obrade ima neko trajanje i može se označiti sa  $\Delta t$ . Upravljački signal za  $u(t_0)$  deluje na strukturu kojoj je trenutna pozicija  $y(t_0 + \Delta t)$ , tako da je fazna pomerenost signala od  $\phi = 180^\circ$  već narušena, sistem ne može dostići i stanje apsolutnog mirovanja. Pored ovog osnovnog razloga narušavanja potpune interferencije signala pozicije sistema i upravljačkog signala, i sledeći razlozi mogu biti od velikog uticaja, i to pre svega: pozicije senzora i aktuatora sa aspekta prostiranja talasa kroz strukturu, položaja i orijentacije aktuatora u odnosu na pobudu, pojava rezidualnih modova aktivnih struktura, itd... Na slici 2.8. data je realna interferencija signala kontinualnog spoljašnjeg dejstva i dejstva aktuatora sa proračunatim upravljačkim signalom sa kontrolera.



**Slika 2.8.** Realna interferencija signala kontinualnog spoljašnjeg dejstva i dejstva aktuatora

Uspešnost jednog kontrolera i njegovog algoritma upravljanja se definiše sa aspekta vremena kašnjenja tj. fazne pomerenosti upravlja kog signala u odnosu na izabranu trenutnu vrednost pojave koja se umiruje. Na osnovu zahteva potpune interferencije talasa se razvijaju razni algoritmi upravljanja i njihova optimizacija za različite mehaničke sisteme. Danas se svi regulatori projektuju sa ciljem da se obezbede sledeći zahtevi sistema: **stabilnost sistema** koja podrazumeva i ograničenost ulaznih i izlaznih signala javlja se kao preduslov svakog projektovanja, **performansa upravljanja**, odnosno sposobnost sistema da na izlazu reprodukuje željene vrednosti, **ograničenja** – teorijski ukoliko je sistem linearan i ukoliko se njegov model poznaje eksaktно i na sistem ne deluju poremećaji moguće, korišćenjem dovoljno složenog zakona upravljanja, ostvariti proizvoljno dobru performansu, i **robustnost** predstavlja meru degradacije performanse sistema do koje dolazi usled bilo koje vrste poremećaja uzrokovanih nemodeliranom dinamikom. Navedeni zahtevi projektovanja regulatora će biti razmatrani u sljedećoj glavi ove disertacije.

### **2.3 Sistemi aktivnog i aktivno-pasivnog upravljanja vibracijama**

Do 90-tih godina prošlog veka, u svrhu prigušenja vibracija mehaničkih sistema koristili su se načini pasivnog prigušenja (upravljanja), tj. amortizeri sa različitim radnim materijalima (gume, fluidi,...). U poslednje dve decenije došlo je do razvoja novih dva tipa sistema za prigušenje tj. upravljanje vibracijama: aktivno upravljanje vibracijama (Active Vibration Control) i aktivno-pasivno upravljanje vibracijama (Semi-Active Vibration Control).

Sistemi aktivnog upravljanja vibracijama poželjno je koristiti u sistemima kod kojih se zahteva izuzetno visok nivo performansi tj. mirovanje, gde se primenom pasivnih sistema upravljanja ne može dostići adekvatan željeni nivo. Aktivni sistemi koriste aktuatorne koji koriste energiju za upravljanje sistemom, a tako će vrše disipaciju ogromne količine energije iz sistema. Odluku o tome da li će se energija dodavati ili oduzimati iz sistema se zasniva na osnovu snimljenih signala sa različitih lokacija i senzora sistema. Sistemi aktivnog upravljanja pokazuju superiornost u dostizanju zahtevanih performansi sistema u odnosu na pasivne sisteme. Tako je poznato da su sistemi aktivnog upravljanja vibracijama skupi, kompleksni i manje pouzdani u odnosu

na pasivne sisteme upravljanja vibracijama. Osnovno ograničenje ovog tipa sistema je potreba za eksternom energijom, tj. električnom energijom za napajanje aktuatora. Zbog navedene potrebe za električnom energijom implementacija sistema za aktivno upravljanje vibracijama se vrši za slučajeve u kojima potreba za povećanjem performansi sistema neutrališe sve navedene nedostatke, na primer flater komandnih površina aviona, postolja visoko sofisticiranih mikroskopa ili za potrebe optičkih uređaja na vazduhoplovnim aplikacijama. [47,48]

Sistemi aktivno-pasivnog upravljanja vibracijama se odnose na upotrebu uređaja sa promenjivim karakteristikama za upravljanje i prigušenje vibracija dinamičkih sistema. Ovaj koncept upravljanja uključuje aplikacije upravljavih uređaja koji ne zahtevaju značajno spoljašnje snabdevanje električnom energijom kako bi bili operativni. Aktivno-pasivni uređaji su projektovani da daju odgovarajući signal izmeren sa mehaničkog sistema i vrši upravljanje aktuatorima radi prigušenja nepoželjnih vibracija. Dinamičke karakteristike sistema aktivno-pasivnog upravljanja vibracijama variraju u toku vremena u skladu sa željenim nivoima vibracija sistema. Osnovna karakteristika ovih sistema je da oni vrše disipaciju primljene energije, tj. oni ne koriste spoljašnju energiju za pokretanje aktuatora (ne vrše unošenje energije u sistem). Ovo je osnovna razlika između sistema aktivnog i aktivno-pasivnih sistema. U skladu sa navedenom razlikom performanse i mogućnostima prigušenja vibracija sistema aktivno-pasivnog upravljanja su ograničene u odnosu na sisteme aktivnog upravljanja vibracijama. [47]

S obzirom na osnovnu razliku između sistema upravljanja vibracija u disertaciji je dat akcenat na razvoj sistema aktivnog upravljanja.

## **Glava 3**

### **3 MATEMATI KI MODELI STRUKTURALNOG ELEMENTA VAZDUHOPLOVA**

Kako bi se izvršila teorijska analiza dinami kog ponašanja strukturalnog elementa vazduhoplova i projektovao odgovaraju i kontroler, potrebno je odrediti matemati ki model aktivne strukture: strukturalnog elementa, senzora i aktuatora. Prvi korak je razvijanje matemati kog modela strukturalnog elementa, zatim aktivne strukture sa integrisanim aktuatorima i senzorima, kao i definisanje optimizacije dimenzija, položaja i orijentacije aktuatora upotreboom metode kona nih elemenata.

U ovoj glavi da e se osnovni matemati ki modeli sistema sa integrisanim piezoelektri nim materijalima.

#### **3.1 Jedna ina kretanja diskretnog sistema**

Osnovna jedna ina ravnoteže mehani kog sistema, izvedena je primenom Hamiltonovog varijacionog principa. Ovaj princip polazi od pretpostavke održavanja energije: kineti ke energije  $E_K$ , potencijalne energije unutrašnjih i spoljašnjih sila  $\Pi$  i rada nekonzervativnih sila  $W$  (koji uklju uje i sile prigušenja). Polazna osnova je funkcional Lagrangea, L. Hamiltonov princip pokazuje da mehani ki sistem pri kretanju zauzima one položaje u kojima Lagrange-ov funkcional ima stacionarnu vrednost:

$$L = E_K - \Pi + W \quad 3.1$$

$$\delta \cdot \int_{t_1}^{t_2} L \cdot dt = \int_{t_1}^{t_2} \delta \cdot (E_K - \Pi) \cdot dt + \int_{t_1}^{t_2} \delta W \cdot dt \quad 3.2$$

Uz pretpostavku da egzistira rešenje, ova jednačina se može svesti na Lagrangeovu jednaciju drugog reda, gde je  $Q_i$  generalisana sila, a  $(t_1-t_2)$  vremenski interval kretanja.

$$\frac{d}{dt} \left( \frac{\partial E_K}{\partial \dot{q}_i} \right) - \frac{\partial E_K}{\partial q_i} + \frac{\partial \Pi}{\partial q_i} = Q_i \quad 3.3$$

Pri tome je kinetička energija definisana izrazom:

$$E_K = \frac{1}{2} \int_v \rho \cdot \dot{\mathbf{q}}^T \cdot \dot{\mathbf{q}} \cdot dv \quad 3.4$$

gde je  $\dot{\mathbf{q}}$  brzina kretanja, a  $\rho$  gustina materijala. Potencijalna energija sistema je zbir spoljašnjih površinskih  $p$  i zapreminskih sila  $F$ ,

$$\Pi = \frac{1}{2} \int_v \epsilon^T \cdot D \cdot \epsilon \cdot dv - \int_v u^T \cdot F \cdot dv - \int_s u^T \cdot p \cdot ds \quad 3.5$$

Smenom energije  $E_K$  i potencijalne energije  $\Pi$  u Lagrangeovu jednaciju kretanja, uz sile prigušenja  $F_p$  i generalisane sile  $Q_p$ , dolazi se do osnovne dinamike jednačine konačnog elementa:

$$m \ddot{\mathbf{q}}_e + c \dot{\mathbf{q}}_e + k \mathbf{q}_e = Q_e \quad 3.6$$

Dinamika jednačine strukture dobija se proširenjem dinamike jednačine konačnog elementa na celu strukturu – kontinuum:

$$[M]\ddot{q} + [C]\dot{q} + [K]q = Q \quad 3.7$$

gde je  $q$  vektor opšteg pomeranja sistema,  $Q$  vektor generalisanih sila,  $[M]$ ,  $[K]$  i  $[C]$  respektivno simetrične matrice mase, krutosti i prigušenja. Jedna ina 3.7 je osnov analize mehaničkih sistema.  $[M]$  i  $[K]$  se određuju diskretizacijom strukture, najčešće upotreboom metode konačnih elemenata. Metod konačnih elemenata obično dovodi do nedijagonalnosti (konzistentnosti) matrice mase, ali usvajanjem dijagonalnosti matrice mase daje prihvatljiv prikaz inercije strukture. [5]

### 3.2 Modalna analiza mehaničkih sistema

Jednačine kretanja neprigušenog sistema, u matricnoj notaciji mogu se izraziti u obliku datim u jednačini 3.8. Za linearne sisteme, slobodne oscilacije bježe harmonijske i mogu se prikazati u formi 3.9:

$$[M] \cdot \{\ddot{q}\} + [K] \{q\} = \{0\} \quad 3.8$$

$$\{q\} = \{\phi\}_i \cdot \cos \omega_i \cdot t \quad 3.9$$

Modalnom analizom određujemo sopstvene vrednosti i sopstvene vektore za izabrani model analize. Svakoj sopstvenoj vrednosti, koja je proporcionalna prirodnoj frekvenciji, postoji odgovarajući sopstveni vektor, ili oblik oscilovanja – mod. Normalna modalna analiza određuje način za neprigušeno slobodno oscilovanje daje sopstvene frekvencije sistema prema relaciji danoj u jednačini 3.10:

$$[K] - \omega^2 \cdot [M] \cdot \{\phi_i\} = \{0\} \quad 3.10$$

U jednačini 3.10,  $[M]$  je matrica mase,  $[K]$  matrica krutosti strukture,  $\omega_i$  -  $i^{\text{th}}$  prirodna (kružna) cirkularna frekvencija ( $\text{rad/s}$ ) i  $\{\phi_i\}$  reprezentativni sopstveni vektor modova oscilovanja  $i^{\text{th}}$  prirodne frekvencije. Pošto su matrice  $[M]$  i  $[K]$  simetrične i pozitivno definisane, sopstvene vrednosti  $\omega_i^2$  moraju biti realni i pozitivne vrednosti.

Broj modova oscilovanja jednog sistema je jednak broju stepeni slobode. Jedna ina 3.10 definiše samo oblik oscilovanja sistema, ne definiše amplitude oscilovanja.

Ako jedna ina 3.10 pomnožimo sa leve strane  $\{\phi_j^T\}$ , dobijamo skalarnu jedna inu:

$$\phi_j^T K \phi_i = \omega_i^2 \phi_j^T M \phi_i \quad 3.11$$

i, zamenom  $i$  i  $j$ , dobijamo

$$\phi_i^T K \phi_j = \omega_j^2 \phi_i^T M \phi_j \quad 3.12$$

Sabiranjem jedna ina 3.11 i 3.12, uzimajući u obzir da je skalar jednak njegovoj transponovanoj vrednosti, dobijamo:

$$0 = (\omega_i^2 - \omega_j^2) \phi_j^T M \phi_i \quad 3.13$$

što pokazuje da su sopstveni vektori modova oscilovanja koji odgovaraju prirodnim frekvencijama ortogonalni u odnosu na matricu mase.

$$\phi_j^T M \phi_i = 0 \quad (\omega_i \neq \omega_j) \quad 3.14$$

Takođe se može izvesti da su sopstveni vektori modova oscilovanja koji odgovaraju prirodnim frekvencijama ortogonalni u odnosu na matricu krutosti. Uslovi ortogonalnosti najčešće mogu napisati kao:

$$\phi_i^T M \phi_j = \mu_i \delta_{ij} \quad 3.15$$

$$\phi_i^T K \phi_j = \mu_i \omega_i^2 \delta_{ij} \quad 3.16$$

gde je  $\delta_{ij}$  je Kronekerov uslov ( $\delta_{ij} = 1$  if  $i = j$ ,  $\delta_{ij} = 0$  if  $i \neq j$ ),  $\mu_i$  predstavlja modalnu masu (generalizovana masa)  $i$ -tog moda.

Normalnom modalnom analizom sistema dobijaju se prirodne frekvencije i oblici oscilovanja strukture – modovi. Prirodne frekvencije su frekvencije kojima struktura teži da osciluje ako je izvedemo iz ravnotežnog položaja i oslobodimo dalje prinudnog uticaja. Oblik deformacije strukture je specifičan za prirodne frekvencije nazvavaju se modalni oblici. Analiza modova oscilovanja još se naziva i analiza realnih sopstvenih vrednosti (real eigenvalue analysis).

Analiza modova oscilovanja je osnova pravog razumevanja dinamičkih karakteristika strukture i omogućava uspostavljanje korelacija između eksperimentalnih i analitičkih rezultata. Tako je, analiza modova oscilovanja (modalna analiza) je osnova za određivanje integracionih vremenskih koraka u analizi tranzientnog odgovora ili analizi frekventnog odgovora.

Sopstvene frekvencije i kružne frekvencije oscilovanja imaju međusobnu vezu, datom sledećim izrazom:

$$f_i = \frac{\omega_i}{2\pi} \quad [\text{Hz}] \quad 3.17$$

### 3.3 Konstitutivne jednačine piezoelektričnih aktuatora

Piezoelektrični materijali imaju osobinu konvertovanja mehaničke u električnu energiju i obrnuto. Oba principa rada imaju svoju svrhu pri projektovanju sistema aktivnog upravljanja vibracijama. Piezoelektrični materijali koji konvertuju mehaničku u električnu energiju u aktivnim strukturama imaju ulogu senzora, dok oni koji konvertuju električnu u mehaničku energiju uzimaju ulogu aktuatora, tj. izvršnih elemenata. U delu 2.1.1 i 2.1.2 dati su opšti principi rada piezoelektričnih materijala za obe svrhe.

Najpopularniji piezoelektrični materijali su Lead-Zirconate-Titanate (PZT) koji je osnovni sastav keramika, i Polyvinylidene fluoride (PVDF) koji je polimer; njihove glavne karakteristike su date u tabeli 3.1.

**Tabela 3.1 – Tipične karakteristike piezoelektričnih materijala**

Karakteristike materijala	PZT	PVDF
Piezoelektrične konstante $d_{33} (10^{-12} C/N \text{ or } m/V)$ $d_{31} (10^{-12} C/N \text{ or } m/V)$	300 -150	-25 jedno-osni $d_{31} = 15$ $d_{32} = 3$ dvo-osni $d_{31} = d_{32} = 3$
$d_{15} (10^{-12} C/N \text{ or } m/V)$	500	
$e_{31} = d_{31}/s^E (C/m^2)$	-7.5	0.025
Dielektrična konstanta $\epsilon^T/\epsilon_0$ ( $\epsilon_0 = 8.85 \cdot 10^{-12} F/m$ )	1800	10
Jangov modul, $1/s^E (GPa)$ Maksimalan napon (MPa)	50	2.5
Vučna snaga	80	200
Kompresija	600	200
Maksimalna deformacija	krt	50%
Maksimalna operativna temperatura $T^\circ (\text{ }^\circ\text{C})$	80° - 150°	90°
Faktor spegnutosti, $k_{33}$	0.7	0.1
Maksimalno električno polje, (V/mm)	2000	$5 \times 10^5$
Gustina ( $kg/m^3$ )	7600	1800

Pravac širenja u odnosu na pravac električnog polja zavisi od konstanta koje se pojavljuju u konstitutivnim jednacinama. Materijal se može proizvoditi u pravcu tako da je jedan koeficijent dominantan u odnosu na drugi. Piezoelektrični aktuatori su zauzeli izuzetno važno mesto u tehnologijama mikropozicioniranja. U modelovanju piezoelektričnih aktuatora za aplikacije upravljanja strukturama, postoji velika sličnost između inverznih piezoelektričnih efekata i termalnih deformacija.

U definisanju konstitutivnih jednacina koristi se usvojen sistem notifikacije za piezoelektricitet, IEEE standard. U nenaglašenom jednodimenzionalnom dielektričnom mediju, električno pomeranje  $D$  (punjenje po jedinici površine se obeležava u  $C/m^2$ ) i odnosi na električno polje  $E[V/m]$  sa:

$$D = \epsilon \cdot E$$

3.18

gde je  $\epsilon$  dielektrična konstanta materijala.

Slijedi, u jednodimenzionalnom elastičnom telu smeštenom u nulto električno polje, odnos deformacija  $S$  i napona  $T [N/m^2]$  se može prikazati kao:

$$S = s \cdot T$$

3.19

gde je  $s$  propustljivost materijala (inverzno Young-ovom modulu elastičnosti).

Za piezoelektrične materijale, vrši se sprezanje električnih i mehaničkih konstitutivnih jednina:

$$S = s^E T + d E \quad 3.20$$

$$D = d T + \epsilon^T E \quad 3.21$$

U jednini 3.20, piezoelektrična konstanta  $d$  se odnosi na deformaciju električnog polja pri nedostatku mehaničkog napona i  $s^E$  se odnosi na propustljivost kada je električno polje jednako nuli. U jednini 3.21,  $d$  se odnosi na električnu deformaciju  $D$  pri nultom električnom polju (kratko spojena elektroda);  $d$  se predstavlja u  $m/V$  ili  $Coulomb/Newton$ .  $\epsilon^T$  je dielektrična konstanta pri konstantnom naponu. Gornje jednoline se mogu transformisati u:

$$T = \frac{1}{s^E} S - \frac{d}{s^E} E \quad 3.22$$

$$D = \frac{d}{s^E} S + \epsilon^T \left( 1 - \frac{d^2}{s^E \epsilon^E} \right) E \quad 3.23$$

Koje se oblike mogu napisati i u sledećem obliku:

$$T = c^E S - e E$$

3.24

$$D = eS + \varepsilon^T (1 - k^2) E \quad 3.25$$

Gde je  $c^E = 1/s^E$  Jangov modul elastičnosti pri konstantnom električnom polju (u  $N/m^2$ );  $e = d/s^E$  je konstanta koja se odnosi na električno pomeranje pri deformaciji, za kratko spojene elektrode (u  $C/m^2$ ).  $k^2 = d^2/(s^E \varepsilon^T)$  se naziva kuplovani koeficijent piezoelektričnog materijala. Ovo ime dolazi od injenice da, na frekvenciji daleko ispod frekvencije mehaničke rezonance piezo elementa,  $k^2$  se može prikazati kao:

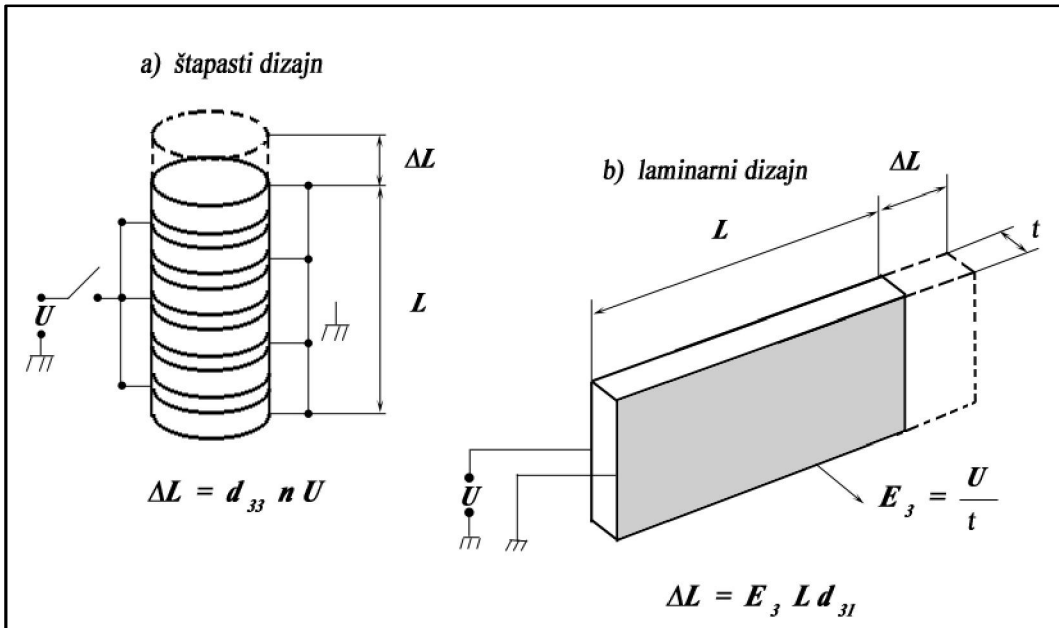
$$k^2 = \left\{ \frac{\text{konvertovana energija}}{\text{ulazna energija}} \right\}_{\text{niska frekvencija}} \quad 3.26$$

Visoka vrednost  $k$  je poželjna za efikasnost prenosa.

Iz jednačine 3.25, se može uočiti da dielektrična konstanta pod konstantnom deformacijom se odnosi na konstantan napon pri  $e^S = \varepsilon^T (1 - k^2)$ . Jednačina 3.24 je po etička za formulaciju jednačine laminarnih piezoelektričnih aktuatora, dok se jednačina 3.25 odnosi na laminarne senzore. U matričnoj formi jednačine 3.24 i 3.25 se mogu napisati:

$$\begin{pmatrix} T \\ D \end{pmatrix} = \begin{pmatrix} c^E & -e \\ e & \varepsilon^S \end{pmatrix} \begin{pmatrix} S \\ E \end{pmatrix} \quad 3.27$$

U tabeli 3.1, važno je uočiti piezoelektrični koeficijent  $e_{31}$  (jednačina 3.24) je 300 puta veći za PZT nego za PVDF; što ukazuje na superiorne mogućnosti aktuatora piezokeramike u poređenju sa piezopolimerima. Na slici 3.1 prikazana su dva osnovna tipa piezoelektričnih aktuatora: linearni (štapasti) i piezoaktuatori laminarnog tipa.



Slika 3.1. Piezoelektrični aktuatori: a) štapasti dizajn, i b) laminarni dizajn [5]

Za multidimenzionalne aktuatore, konstitutivne jednačine zadržavaju više ili manje isti oblik. Ako je pravac polarizacije podudaran sa pravcem 3, konstitutivne jednačine se mogu napisati u obliku sledeće matrice:

Aktuator:

$$\begin{Bmatrix} S_{11} \\ S_{22} \\ S_{33} \\ 2S_{23} \\ 2S_{13} \\ 2S_{12} \end{Bmatrix} = \begin{Bmatrix} s_{11} & s_{12} & s_{13} & 0 & 0 & 0 \\ s_{12} & s_{22} & s_{23} & 0 & 0 & 0 \\ s_{13} & s_{23} & s_{33} & 0 & 0 & 0 \\ 0 & 0 & 0 & s_{44} & 0 & 0 \\ 0 & 0 & 0 & 0 & s_{55} & 0 \\ 0 & 0 & 0 & 0 & 0 & s_{66} \end{Bmatrix}_{\text{compliance}} \begin{Bmatrix} T_{11} \\ T_{22} \\ T_{33} \\ T_{23} \\ T_{13} \\ T_{12} \end{Bmatrix} + \begin{Bmatrix} 0 & 0 & d_{31} \\ 0 & 0 & d_{32} \\ 0 & 0 & d_{33} \\ 0 & d_{24} & 0 \\ d_{25} & 0 & 0 \\ 0 & 0 & 0 \end{Bmatrix}_{\text{coupling}} \begin{Bmatrix} E_1 \\ E_2 \\ E_3 \end{Bmatrix} \quad 3.28$$

Senzor:

$$\begin{Bmatrix} D_1 \\ D_2 \\ D_3 \end{Bmatrix} = \begin{Bmatrix} 0 & 0 & 0 & 0 & d_{15} & 0 \\ 0 & 0 & 0 & d_{24} & 0 & 0 \\ d_{34} & d_{42} & d_{32} & 0 & 0 & 0 \end{Bmatrix}_{\text{coupling}} \begin{Bmatrix} T_{11} \\ T_{22} \\ T_{33} \\ T_{23} \\ T_{13} \\ T_{12} \end{Bmatrix} + \begin{Bmatrix} \epsilon_{11} & 0 & 0 \\ 0 & \epsilon_{22} & 0 \\ 0 & 0 & \epsilon_{33} \end{Bmatrix}_{\text{permittivity}} \begin{Bmatrix} E_1 \\ E_2 \\ E_3 \end{Bmatrix} \quad 3.29$$

Ispitivanjem jedna ine aktuatora (3.28), uočen je isti pravac širenja kada je električno polje  $E_3$  prihvato paralelno sa pravcem polarizacije aktuatora, amplituda ovog širenja je određena koeficijentom  $d_{33}$ . Slično je primećeno i sa stezanjem duž pravca 1 i 2 normalnim na električno polje, amplituda je kontrolisana sa koeficijentima  $d_{31}$  i  $d_{32}$ , respektivno. Piezokeramika ima izotropsko ponašanje u ravni,  $d_{31} = d_{32}$ . Suprotno ovom, kada se PVDF polarizuju usled napona, njegove piezoelektrične karakteristike su visoko anizotopne, sa približno  $d_{31} \approx 5 \cdot d_{32}$ . Jedna ina 3.28 takođe indicira da električno polje  $E_1$  normalno na pravac polarizacije 3 proizvodi deformacije smicanja  $S_{13}$ , kontrolisanim sa piezoelektričnom konstantom  $d_{15}$  (isto se dešava ako je prihvato eno polje  $E_2$ ). Interesantna pojava ovog tipa aktuacije je da  $d_{15}$  ima najveći piezoelektrični koeficijent ( $500 \cdot 10^{-12} C/N$  za PZT). Ova konstatacija vodi ka zaključcima ga je moguće ostvariti i aktuatore momenta, tj. Glazunov aktuator.

### 3.4 Model konačnih elemenata za aktivne strukture

Opis aktivne strukture metodom konačnih elemenata se izvodi iz Hamiltonovog principa. Lagranđova struktura, koja sadrži konačan broj diskretnih piezoelektričnih elemenata (aktuatora i senzora), se može opisati jednačinom sledećeg oblika:

$$L = T^* + W_e^* = \frac{1}{2} \dot{\boldsymbol{\phi}}^T M \dot{\boldsymbol{\phi}} - \frac{1}{2} \boldsymbol{q}^T K_{qq} \boldsymbol{q} + \frac{1}{2} \boldsymbol{\phi}^T C_{\phi\phi} \boldsymbol{\phi} + \boldsymbol{\phi}^T K_{\phi q} \boldsymbol{q} \quad 3.30$$

U jednačini 3.30,  $M$  je matrica mase,  $K_{qq}$  matrica krutosti strukture,  $C_{\phi\phi}$  matrica kapacitivnosti piezoelektričnih elemenata (za fiksne pomeraje) i  $K_{\phi q}$  je kuplovana matrica piezoelektričnih karakteristika, u odnosu na mehaničke i električne promenljive.

Rezultujuće dinamičke jednačine aktivne strukture se mogu napisati kao:

$$[M] \ddot{\boldsymbol{\phi}} + [K_{qq}] \boldsymbol{q} - [K_{\phi q}]^T \boldsymbol{\phi} = Q \quad 3.31$$

$$[K_{\phi q}]q + [C_{\phi \phi}]\phi = Q_e \quad 3.32$$

gde je  $Q_e$  vektor nanelektrisanja između elektroda. Promenom napona na elektrodama, upravlja se električnim potencijalom elektroda i jedna ina 3.31 se može napisati (pod pretpostavkom da na sistem ne deluju spoljašnje sile,  $Q = 0$ ):

$$[M]q + [K_{qq}]q = [K_{\phi q}]^T \phi \quad 3.33$$

gde  $[K_{\phi q}]^T \phi$  predstavlja ekvivalentnu piezoelektričnu силу. Jednom kada se odredi pomeraj  $q$ , električno punjenje između elektroda se može izračunati pomoću jedna ine 3.32. Iz jedna ine 3.33 se može uočiti da se dinamičke karakteristike sistema sa kratkospojenom elektrodom ( $\phi = 0$ ) ne menjaju i ako nema mehaničko električnog sprezanja piezoelektričnih materijala.

Suprotno, u slučaju kada je elektroda otvorena i odgovara uslovima punjenja  $Q_e = 0$ , zamenom  $\phi$  iz jedna ine 3.32 u jedna inu 3.31 dobijamo:

$$[M]q + \left( [K_{qq}] + [K_{q\phi}] [K_{\phi\phi}]^{-1} [K_{\phi q}] \right) q = f \quad 3.34$$

Jedna ina 3.34 pokazuje da kupovanje piezoelektričnih materijala na mehaničke strukture ima tendenciju globalnog povećanja krutosti sistema iako su elektrode ostavljene otvorenim. Prirodna frekvencija sistema sa otvorenim elektrodama je veća nego sa kratkospojenim elektrodama, i ova konstatacija služi za razvoj pasivnih i aktivno-pasivnih sistema upotrebom piezoelektričnih materijala.

### 3.5 Optimizacija veličine, položaja i orijentacije elemenata aktivnih struktura

Efikasnost aktivnog upravljanja vibracijama određena je položajima i veličinama aktuatora i senzora. Položaji i veličine aktuatora biraju se tako da, sa što manje uložene

energije, prigušenje vibracija bude veće. Slično, da bi se dobile bolje informacije o veličinama stanja sa senzora, položaji i veličine senzora biraju se tako da pružaju što veći i prilagodljiviji izlaz sa niskim nivom šuma. Drugim rečima, ako se želi prigušiti određeni mod, aktuatori i senzori neophodno je dimenzionisati i smestiti tako da se ostvari što bolja upravljivost i osmotrivost tog moda. Usled spoljašnjih uticaja, kod vibracija struktura, može se javiti jedan mod, ali nije isključena pojava prigušenja većeg broja modova istovremeno, sa istim određivanjem položaja i veličina aktuatora i senzora postaje kompleksnije. [45]

Da bi se odredili optimalni položaji i veličine aktuatora i senzora, u ovom radu upotrebljena je metoda optimizacije koja se naziva „Particle swarm“ optimizacija („PSO“), ili, u prevodu, optimizacija rojemstva.

### 3.5.1 Upravljivost i osmotrivost

Upravljivost je sposobnost sistema da, uz pomoć aktuatora, upravlja svim veličinama stanja datog sistema. Osmotrivost se može definisati kao sposobnost sistema da se na osnovu izlaznog signala, sa senzora, mogu dobiti sve neophodne informacije za utvrđivanje svih veličina stanja sistema. Drugim rečima, linearni sistem, je u potpunosti upravlјiv ako postoji vektor upravljanja koji može prevesti sistem iz početnog stanja  $\{X(t_0)\}$  u neko konačno stanje  $\{X(t_1)\}$  unutar proizvoljnog konačnog vremena  $t_0 < t < t_1$ . Sistem je u potpunosti osmotrovit ako se svaki vektor stanja u svakom trenutku može utvrditi na osnovu izlaza sa senzora.

Provera upravljivosti sistema može se izvršiti proverom ranga matrice upravljivosti, koja je data na sledećem način:

$$[S] = \begin{bmatrix} [B] & [A][B] & [A]^2[B] & \dots & [A]^{n-1}[B] \end{bmatrix} \quad 3.35$$

gde matrica  $[B]$  predstavlja matricu ulaza dok matrica  $[A]$  predstavlja matricu stanja sistema. Sistem je u potpunosti upravlјiv ako matrica  $[S]$  ima rang  $n$ . Na sljedećem načinu se može definisati i matrica osmotrivosti:

$$[O] = \begin{bmatrix} [C_s] \\ [C_s][A] \\ [C_s][A]^2 \\ \vdots \\ [C_s][A]^{n-1} \end{bmatrix} \quad 3.36$$

gde matrica  $[C_s]$  predstavlja matricu izlaza sistema. Sistem je osmotrov ako je rang matrice osmotrovosti  $n$ . Jedna ine stanja sistema su dati u glavi 4 ovog rada.

Navedeni kriterijumi za upravljivost i osmotrovost imaju svoj nedostatak, a to je da oni daju samo informaciju da li je sistem upravljiv ili ne, odnosno, osmotrov ili ne, tj. ne pružaju kvantitativne informacije o upravljivosti i osmotrovosti.

Alternativni pristup je upotreba gramijana za određivanje osobina sistema. Gramijani su nenegativne matrice koje kvantitativno izražavaju upravljivost i osmotrovost, a pri tome su luke za rađanje i mogu se primeniti i na sisteme višeg reda. Gramijanove matrice upravljivosti i osmotrovosti mogu se definisati na sledeći način:

$$\begin{aligned} [W_C(t)] &= \int_0^t \exp([A]\tau) [B][B]^T \exp([A]^T \tau) d\tau \\ [W_O(t)] &= \int_0^t \exp([A]^T \tau) [C_s]^T [C_s] \exp([A]\tau) d\tau \end{aligned} \quad 3.37$$

Ako se Gramijanove matrice upravljivosti i osmotrovosti izraze u modalnim koordinatama, tada one postaju dijagonalno dominantne:

$$[W_C] = \begin{bmatrix} W_{C11} & 0 & L & 0 \\ 0 & W_{C22} & L & 0 \\ M & M & O & M \\ 0 & 0 & L & W_{Cnn} \end{bmatrix} \quad 3.38$$

$$[W_O] = \begin{bmatrix} W_{O11} & 0 & L & 0 \\ 0 & W_{O22} & L & 0 \\ M & M & O & M \\ 0 & 0 & L & W_{Onn} \end{bmatrix} \quad 3.39$$

gde se svaki dijagonalni lan može izraziti u formi nezavisno od vremena:

$$\begin{aligned} W_{Cii} &= \frac{1}{4\xi_i\omega_i} (B)_i (B)_i^T \\ W_{Oii} &= \frac{1}{4\xi_i\omega_i} \{C\}_i^T \{C\}_i \end{aligned} \quad 3.40$$

gde  $(B)_i$  predstavlja i-tu vrstu matrice ulaza, a  $\{C\}_i$  predstavlja i-tu kolonu matrice izlaza. Vrednost  $W_{Cii}$  pruža informaciju o energiji prenesenoj sa aktuatora na strukturu u slučaju redukcije i-tog moda. Drugim rečima, veća vrednost i-te sopstvene vrednosti gramijanove matrice upravljivosti dovodi do boljeg upravljanja i-tim modom. Opet, ako je bar jedna sopstvena vrednost mala, upravljanje odgovaraju im modom će biti teže i zahtevaće više energije. Sa druge strane, ako je vrednost i-te sopstvene vrednosti gramijanove matrice osmotrivosti mala, tada i-ti mod neće biti dovoljno osmotrovit.

### 3.5.2 Ciljna funkcija i ograničenja

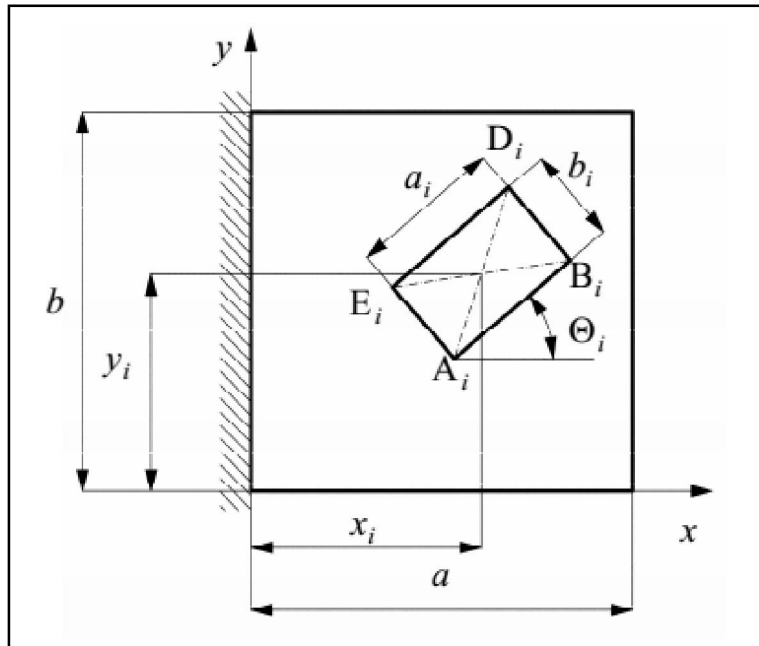
U ovom poglavljju biće formulisan kriterijum optimizacije za optimalne veličine položaje piezoelektričnih aktuator-senzor (A-S) parova. Njihovi položaji i veličine moraju biti takvi da pružaju što veću upravljivost i osmotrivost za modove kojima se upravlja. Kako se aktuator-senzor parovi nalaze na istom mestu, samo sa suprotnih strana ploče i istih su dimenzija, biće izvršena samo optimizacija na osnovu upravljivosti. Indeks performansi se može predstaviti kao [45]:

$$J_e = \text{trace}([W_C]) (\det([W_C]))^{1/(2Nc)} \quad 3.41$$

gde  $N_C$  predstavlja broj modova kojima se upravlja. Imajući u vidu jedna ina 3.41, funkcija cilja je:

$$OBJ = \max(J_e) \quad 3.42$$

Na slici 3.2 prikazana je ploča sa i-tim aktuator-senzor parom.



**Slika 3.2.** Ploča sa i-tim aktuator-senzor parom [45]

Veličine kojima je određen i-ti aktuator-senzor par su sledeće:

- $x_i, y_i$ : položaj centra aktuator-senzor para u odnosu na koordinatni sistem ploče
- $a_i, b_i$ : dužina i širina aktuator-senzor para
- $\Theta_i$ : orientacija aktuator-senzor para.

Vrste ograničenja koje se nameštaju su sledeće:

1. ograničenja u pogledu dimenzije aktuator-senzor para:

$$a_{i\min} \leq a_i \leq a_{i\max}, \quad b_i \leq b_i \leq b_{i\max}, \quad i = 1, K, N_P, \quad 3.43$$

gde su  $a_{i\min}$  i  $a_{i\max}$  minimalna i maksimalna dužina i-tog aktuator-senzor para, a  $b_{i\min}$  i  $b_{i\max}$  je njihova minimalna i maksimalna širina, dok predstavlja broj aktuator-senzor parova.

2. ograničeni enja u pogledu položaja aktuator-senzor para:

$$0 \leq x_{Ai}, x_{Bi}, x_{Di}, x_{Ei} \leq a, \quad 0 \leq y_{Ai}, y_{Bi}, y_{Di}, y_{Ei} \leq b, \quad i = 1, K, N_P, \quad 3.44$$

3. ograničeni enja u pogledu ukupne površine koju prekrivaju aktuator-senzor parovi:

$$\frac{\sum_{i=1}^{N_P} a_i b_i}{ab} \leq \varepsilon \quad 3.45$$

gde predstavlja toleranciju prekrivenosti površine,

4. poslednja ograničena su dinamička ograničena koja ne dozvoljavaju međusobna preklapanja aktuator-senzor parova.

Uzimajući u obzir ograničena, problem optimizacije svodi se na nalaženje parametara  $x_i$ ,  $y_i$ ,  $a_i$ ,  $b_i$  i  $\Theta_i$   $i = (1, 2, K, N_P)$ , tako da funkcija cilja:

$$\bar{J}_e = \begin{cases} J_e & \text{ako ograničena nisu narušena} \\ 0 & \text{ako su ograničena narušena} \end{cases} \quad 3.46$$

bude maksimizirana.

## **Glava 4**

# **4 UPRAVLJA KI ALGORITMI I KARAKTERISTIKE SISTEMA AKTIVNOG PRIGUŠENJA VIBRACIJA**

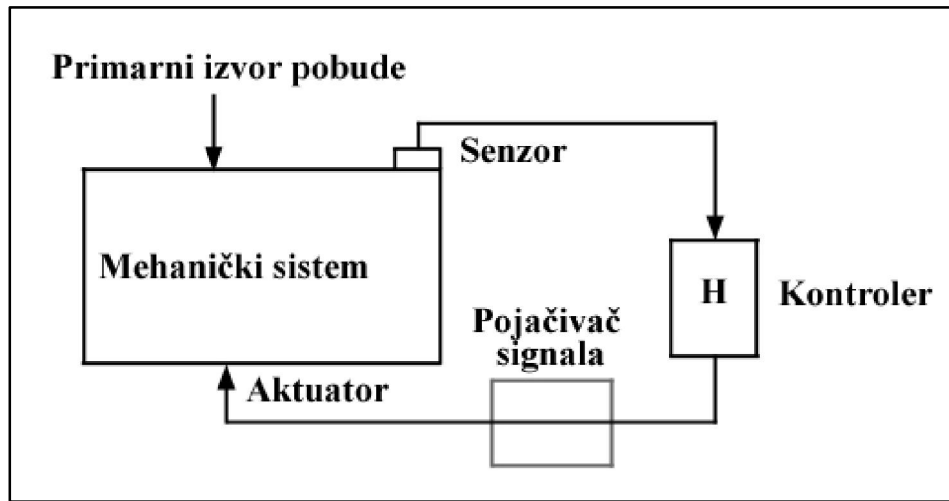
U uvodnom razmatranju ove doktorske disertacije i opisu elemenata sistema aktivnog i aktivno-pasivnog prigušenja, datim u glavi 2, definisani su načini, tipovi i strategije upravljanja sistema za prigušenje vibracija. Sve strategije upravljanja delimo u dve grupe, i to: strategije sa povratnom spregom (feedback) i strategije sa petljama unapred (feedforward) [27].

Ova glava rada se isključivo bavi principima razvoja kontrolera sistema aktivnog upravljanja vibracijama izabranom strategijom povratne spregom (feedback). Upravljački sistemi opisani u ovoj glavi predstavljaju rešenja za prigušenje vibracija mehaničkih sistema koji su kontrolni signali jednaki zbiru primarnih izvora pobuda (spoljašnje sile) i sekundarnih izvora pobuda (dejstvo aktuatora). Navedena strategija upravljanja vibracijama biće opisana kroz jednokanalne sisteme (single input – single output). Jednokanalni sistemi su izabrani radi lakšeg i konciznijeg poređenja performansi i stabilnosti sistema pri razvoju aplikacija prigušenja vibracija.

### **4.1 Jednokanalni sistemi upravljanja sa povratnom spregom**

U ovom delu će se inicijalno razmatrati sistem upravljanja vibracijama sa jednim senzorom (kontrolni signal) i jednim aktuatorom, za što je potrebno posedovati jednokanalni regulator. Kontrolni sensor meri ukupan odziv mehaničkog sistema bez

obzira na broj sila koje na njega deluju, ovaj signal se uvodi u regulator i poredi sa zadatom (željenom) vrednosti. U zavisnosti od razlike između ove dve vrednosti u regulatoru se vrši proračun upravljačkog signala koji se dalje šalje na aktuator. Proračun upravljačkog signala se vrši na osnovu adekvatnog algoritma upravljanja. Za aktivne sisteme između regulatora i aktuatora postoji dodatni uređaj koji obezbeđuje dodatnu energiju za rad aktuatora, za piezoelektrične aktuatore to je pojava naponu. Regulatori najčešće rade u opsegu od -5V do +5V, dok piezoelektrični aktuatori rade u različitim opsezima visokog napona, najčešće od -200V do +200V. Jasno je da jedan upravljački signal mora biti pojačan minimalno 40 puta kako bi se snabdevao aktuator sa adekvatnim naponom. Blok dijagram mehaničkog sistema sa povratnom spregom je dat na slici 4.1. Ukupna pobuda prikazanog sistema je jednaka razlici primarnih izvora i sekundarne pobude sa aktuatora.

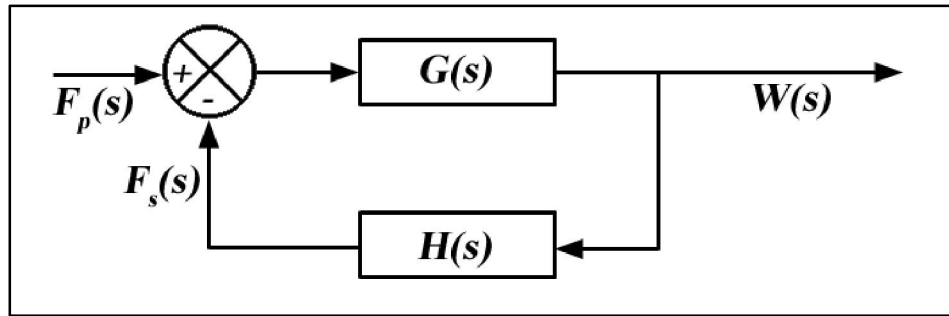


Slika 4.1. Komponente sistema sa povratnom spregom [27]

Prenosna funkcija mehaničkog sistema,  $G(s)$  se definiše kao odnos Laplasove transformacije odgovora sistema,  $W(s)$  i Laplasove transformacije ukupne pobude sistema,  $F_p(s) - F_s(s)$ . Prenosna funkcija regulatora sa povratnom spregom se definiše kao odnos Laplasove transformacije sekundarne pobude sistema,  $F_s(s)$  i Laplasove transformacije odgovora sistema,  $W(s)$  i obeležava se kao  $H(s)$ . Ekvivalentni blok dijagram sistema sa povratnom spregom dat je na slici 4.2. [49, 50, 51]

Teorija standardnih linearnih sistema se koristi radi određivanja ukupnog odziva sistema, uključujući i povratnu spregu. Na osnovu datih definicija prenosna funkcija mehaničkog sistema  $G(s)$ , se može prikazati Laplasovom transformacijom njenog odgovora kao:

$$W(s) = G(s)[F_p(s) - F_s(s)] \quad 4.1$$



**Slika 4.2.** Blok šema upravljačkog sistema sa povratnom spregom [27]

Laplasova transformacija sekundarne pobude može se takođe prikazati korišćenjem prenosne funkcije regulatora sa povratnom spregom,  $H(s)$ , kao:

$$F(s) = H(s)W(s) \quad 4.2$$

Kombinovanjem jednačina 4.1 i 4.2 dobija se:

$$W(s) = G(s)[F_p(s) - H(s)W(s)] \quad 4.3$$

Nakon algebarskih manipulacija sa jednačinom 4.3, prenosna funkcija mehaničkog sistema sa povratnom spregom se može napisati kao:

$$\frac{W(s)}{F_p(s)} = \frac{G(s)}{1 + G(s)H(s)} \quad 4.4$$

Jedna ina 4.4 se koristi za određivanje karakteristika mehaničkih sistema i regulatora sa povratnom spregom, "zatvorena petlja – closed loop". Bitna karakteristika sistema sa povratnom spregom se najlakše ilustruje koristeći pristup frekventnog odgovora, međutim ovaj pristup podrazumeva da je sistem u "otvorenoj petlji – open loop" stabilan. Transformacijom prenosne funkcije date u jedna ina 4.5 u frekventni odziv zamenom  $s = j\omega$ , dobijamo:

$$\frac{W(j\omega)}{F_p(j\omega)} = \frac{G(j\omega)}{1 + G(j\omega)H(j\omega)} \quad 4.5$$

gde jedna ina 4.5 predstavlja frekventni odziv sistema u zatvorenoj petlji.

Ako se podesi da je frekventni odziv sistema u otvorenoj petlji,  $G(j\omega)H(j\omega)$ , sa malim faznim pomerajem u posmatranom frekventnom opsegu, a da je pojava anje sistema mnogo veće od jedan, konstatuje se sledeće:

$$|1 + G(j\omega)H(j\omega)| \gg 1 \quad 4.6$$

onda je:

$$\left| \frac{W(j\omega)}{F_p(j\omega)} \right| \ll G(j\omega) \quad 4.7$$

Odgovor mehaničkog sistema sa regulatorom u povratnoj spregi je izuzetno prigušen za posmatrani frekventni opseg, tj. prigušenje sistema je veliko.

Na frekvencijama van radnog opsega nije moguće u otvorenoj petlji podesiti fazni pomeraj odgovora na malu vrednost. Svako kašnjenje u mehaničkom sistemu ili u putanji povratne sprege će neizbežno povećati fazni pomeraj signala na višim radnim frekvencijama. Ako je pojava anje sistema sa otvorenom petljom jedinično na bilo kojoj radnoj frekvenciji  $\omega_c$ , fazni pomeraj u otvorenoj petlji će biti  $180^\circ$ , onda je:

$$G(j\omega)H(j\omega) = -1 \quad \text{na} \quad \omega = \omega_c \quad 4.8$$

i

$$W(j\omega) \rightarrow \infty \quad \text{na} \quad \omega = \omega_c \quad 4.9$$

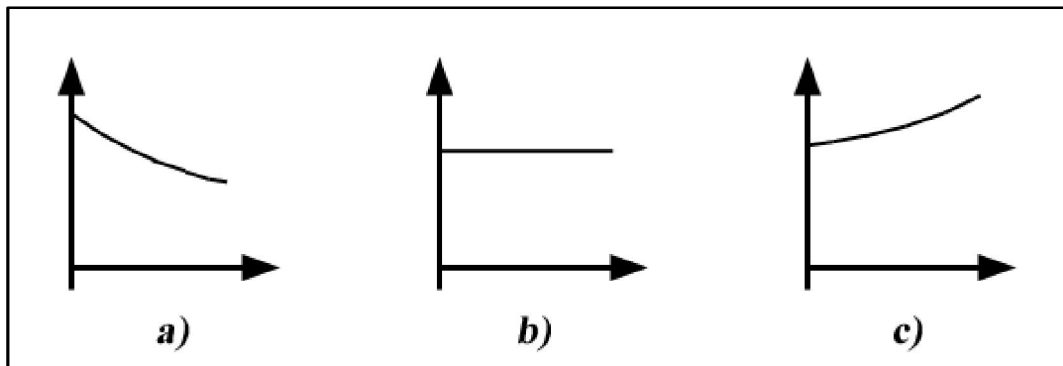
sistem postaje nestabilan.

Projektovanje praktičnih regulatora zbog navedenih karakteristika predstavlja kompromis između visokih i niskih pojačanja u otvorene petlje za dostizanje dobrih performansi u radnom frekventnom opsegu i niskih pojačanja u otvorene petlje radi obezbeđivanja stabilnosti sistema za frekvencije van radnih opsega. [27]

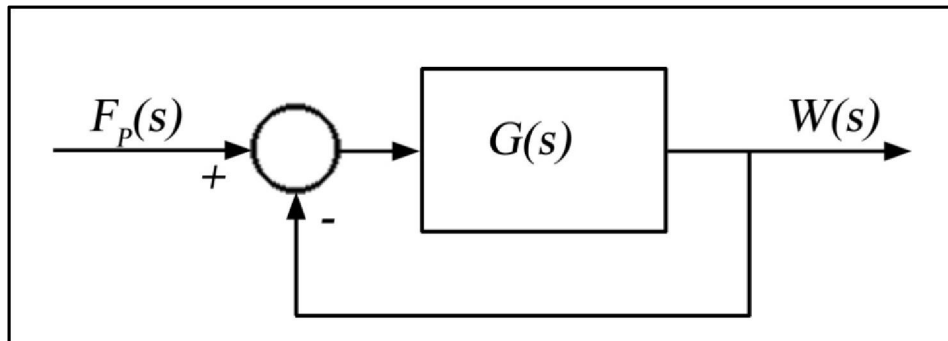
## 4.2 Stabilnost sistema upravljanja sa povratnom spregom

Ako se kao pobuda u sistemu posmatra  $(t)$ , koja je konstantna na pobudu (išezava tokom vremena) tada se odzivi dinamičkih sistema mogu predstaviti slikom 4.3, gde je sistem prikazan na slici 4.3a) stabilan, 4.3b) granično stabilan i 4.3c) nestabilan.

Osobina stabilnosti je u tesnoj vezi sa položajem polova dinamičkog sistema u kompleksnoj s-ravni. Posmatra se elementarna upravljačka struktura, prikazana na slici 4.4.



**Slika 4.3.** Odziv sistema na konstantnu pobudu: a) stabilan, b) granično stabilan i c) nestabilan



**Slika 4.4.** Elementarna upravljačka struktura sa jedinom negativnom povratnom spregom

Neka je:

$$G(s) = K \frac{P_m(s)}{Q_n(s)} \quad 4.10$$

gde je  $n = m$ . Funkcija spregnutog prenosa je:

$$\frac{W(s)}{F_p(s)} = \frac{G(s)}{1 + G(s)} = \frac{KP_m(s)}{KP_m(s) + Q_n(s)} \quad 4.11$$

Karakteristika jednačina je:

$$KP_m(s) + Q_n(s) = 0 \quad 4.12$$

Na osnovu rešenja karakteristike jednačine  $s_i$ ,  $i=1,2,\dots,n$  izraz 4.11 se može napisati u obliku:

$$\frac{W(s)}{F_p(s)} = \frac{KP_m(s)}{\prod_{i=1}^n (s - s_i)} \quad 4.13$$

ako je  $p$  polova realno i prosto i  $r$  pari polova konjugovano kompleksno ( $p + 2r = n$ ), impulsni odziv sistema je:

$$Y(s) = \sum_{i=1}^p \frac{A_i}{s + \sigma_i} + \sum_{k=1}^r \frac{B_k s + C_k}{s^2 + 2\alpha_k s + (\alpha_k^2 + \omega_k^2)} \quad 4.14$$

gde su:  $s_i = -\sigma_i$  realni polovi,  $s_{k1,2} = -\alpha_k \pm j\omega$  kompleksni, a  $A_i$ ,  $B_k$  i  $C_k$  konstante.

Primenom inverzne Laplaceove transformacije izraz (4.14) prelazi u vremenski domen, pa je:

$$y(t) = \sum_{i=1}^p A_i e^{-\sigma_i t} + \sum_{k=1}^r D_k e^{-\alpha_k t} \sin(\omega_k t + \phi_k) \quad 4.15$$

gde su  $D_k$  konstante koje zavise od  $B_k$ ,  $C_k$ ,  $\alpha_k$  i  $\omega_k$ . Iz poslednjeg izraza se vidi da je uslov:

$$y_{ss} = y(\infty) = \lim_{t \rightarrow \infty} y(t) = 0 \quad 4.16$$

biti zadovoljen ako i samo ako je  $\forall (-\sigma_i) < 0$  i  $\forall (-\alpha_k) < 0$  odnosno ako svi polovi sistema imaju realan deo manji od nule. [49]

Na osnovu navedenog zaključuje se da je sistem biti stabilan ako poseduje sve polove u levoj poluravni kompleksne s-ravni. Ako poseduje bar jedan pol u koordinatnom poletku i ili par polova na imaginarnoj osi, dok se svi ostali polovi nalaze u levoj poluravni kompleksne s-ravni sistem je granično stabilan. Ako sistem poseduje bar jedan pol (ili par konjugovano kompleksnih polova) u desnoj poluravni kompleksne s-ravni, bez obzira na broj polova u levoj poluravni, koordinatnom poletku ili imaginarnoj osi, sistem je nestabilan. Na osnovu ovog izlaganja se vidi da kompletну informaciju o stabilnosti nosi karakteristični polinom sistema. Analizom prirode polova se utvrđuje stabilnost sistema.

### 4.3 Algebarski kriterijumi stabilnosti

Rešavanje jednačine 4.12 nekada može biti prilično komplikovano (rešavanje algebarske jednačine višeg reda) pa se postavlja pitanje: da li se stabilnost sistema može ispitati bez eksplicitnog rešavanja karakteristične jednačine? Može, i u tu svrhu se koriste kriterijumi stabilnosti. Dva algebarska kriterijuma stabilnosti koji su kriterijumi Routh-a i Hurwitz-a.

Posmatra se karakteristična jednačina sistema:

$$f(s) = a_n s^n + a_{n-1} s^{n-1} + \dots + a_1 s + a_0 = 0 \quad 4.17$$

Nakon rešavanja jednačine 4.17, polinom  $f(s)$  se može napisati u faktorizovanom obliku:

$$f(s) = a_n (s - p_1)(s - p_2) \dots (s - p_n) = 0 \quad 4.18$$

gde je  $p_i$  i-ti ( $i=1,2,\dots,n$ ) pol sistema. Množenjem inilaca jednačine 4.18 se dobija:

$$\begin{aligned} f(s) &= a_n s^n - a_n(p_1 + p_2 + \dots + p_n)s^{n-1} + a_n(p_1 p_2 + p_1 p_3 + p_2 p_3 + \dots)s^{n-2} - \\ &- a_n(p_1 p_2 p_3 + p_1 p_2 p_4 + \dots)s^{n-3} + \dots + a_n(-1)^n p_1 p_2 \dots p_n = 0 \end{aligned} \quad 4.19$$

Prema poslednjem izrazu se vidi da su svi koeficijenti  $a_n, a_{n-1}, \dots, a_1, a_0$  biti istog znaka ako su svi  $R_e\{p_i\} < 0$ , pa se dolazi do zaključka da je potreban uslov stabilnosti sistema da svi koeficijenti karakteristične jednačine budu istog znaka (najčešće se to "istog znaka" poistovećuje sa "pozitivni"). Ovo je, nažalost, i dovoljan uslov samo za sisteme prvog i drugog reda, dok se za sisteme višeg reda moraju vršiti i dodatna ispitivanja. [50, 51]

Sistem prvog reda:  $a_1 s + a_0 = 0 \Rightarrow s = -\frac{a_0}{a_1}$  pa je  $s < 0$  ako su  $a_1$  i  $a_0$  istog znaka.

Kod sistema višeg reda mora se primeniti neki od kriterijuma za ispitivanje stabilnosti. Takva dva algebarska kriterijuma su nezavisno jedan od drugog postavili po etkom XIX veka Routh i Hurwitz. Kriterijumi su bili postavljeni sa ciljem da se odredi priroda rešenja karakteristične jednačine 4.17 (znak realnog dela svih rešenja jednačine) bez rešavanja iste.

Routh-ov kriterijum: Posmatra se karakteristična jednačina 4.17 i na osnovu koeficijenata karakterističnog polinoma  $f(s)$  se formira Routh-ova šema koeficijenata kako je to pokazano Tabelom 4.1 (šema se sastoji iz  $n+1$  vrste):

**Tabela 4.1** – Routh-ova šema koeficijenata

$s^n$	$a_n$	$a_{n-2}$	$a_{n-4}$	...
$s^{n-1}$	$a_{n-1}$	$a_{n-3}$	$a_{n-5}$	...
$s^{n-2}$	$b_1$	$b_2$	$b_3$	...
$s^{n-3}$	$c_1$	$c_2$	$c_3$	...
...				
$s^0$	$h_1$			

Prve dve vrste Routh-ove šeme koeficijenata se sastoje od koeficijenata karakterističnog polinoma, dok se elementi po evši od treće vrste pa do kraja izrađuju u sledećem in-tu, tabela 4.2.

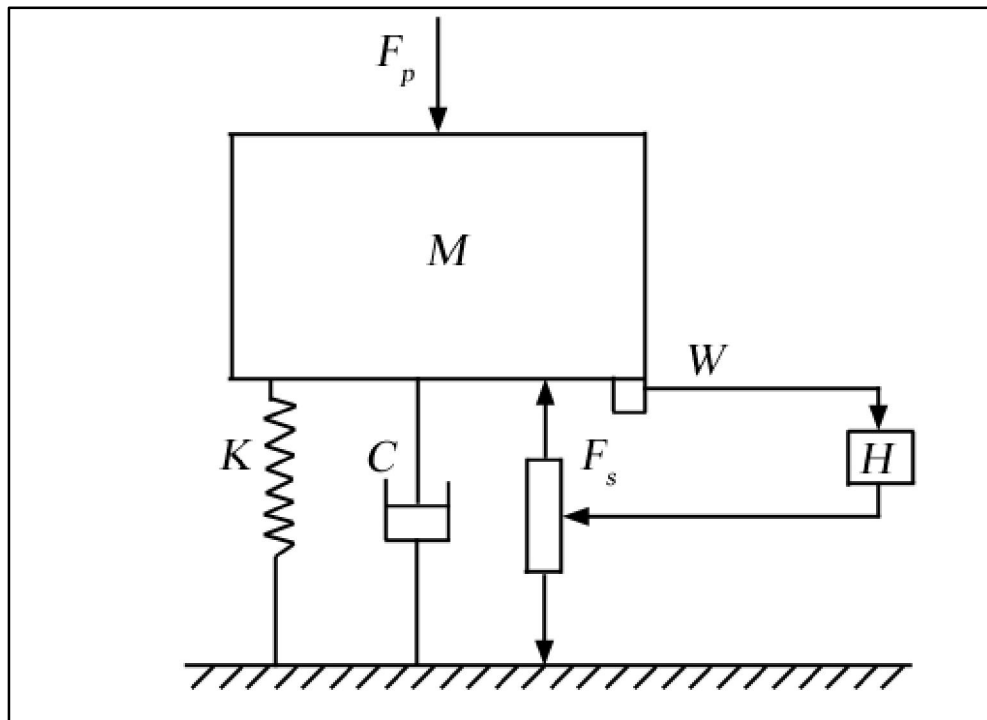
**Tabela 4.2** – Elementi Routh-ove šeme koeficijenata

$$\begin{aligned}
 b_1 &= \frac{a_{n-1}a_{n-2} - a_n a_{n-3}}{a_{n-1}} \\
 b_2 &= \frac{a_{n-1}a_{n-4} - a_n a_{n-5}}{a_{n-1}} \\
 b_3 &= \frac{a_{n-1}a_{n-6} - a_n a_{n-7}}{a_{n-1}} \\
 c_1 &= \frac{b_1 a_{n-3} - a_{n-1} b_2}{b_1} \\
 c_3 &= \frac{b_1 a_{n-5} - a_{n-1} b_3}{b_1} \\
 &\vdots \\
 &\vdots
 \end{aligned}$$

Kada je šema formirana, posmatra se prva kolona – Routh-ova kolona. Sada važi teorema: broj korena algebarske jednacine koji imaju pozitivne realne delove, jednak je broju promena znaka elemenata u Routh-ovojoj koloni. Na osnovu prethodnog može se definisati Routh-ov kriterijum stabilnosti: potreban i dovoljan uslov da bi sistem bio stabilan jeste da svi elementi Routh-ove kolone, formirane na osnovu koeficijenata karakterističnog polinoma, budu istog znaka (što se najčešće svodi na “pozitivni”). Sistem će biti granično stabilan ako se u Routh-ovojoj koloni pored koeficijenata istog znaka pojavljuju i nule. Broj granično stabilnih polova je jednak broju prelaza sa nenultih na nulte vrednosti i obrnuto. [49, 50, 51]

#### 4.4 Modifikacija odziva sistema sa jednim stepenom slobode

U ovom delu razmatraju se idealan sistem jednokanalnog sistema upravljanja sa povratnom spregom, koji je integriran na sistem sa koncentrisanom masom i jednim stepenom slobode. Fizički prikaz sistema je dat na slici 4.5. Za signal sa senzora,  $W$ , se pretpostavlja da je proporcionalan pomerajućoj mase. Za aktuator se pretpostavlja da generiše samo sekundarnu pobudu sistema,  $F_s$ , proporcionalnu upravljačkom signalu. Karakteristike krutosti ili prigušenja uvezani sa aktuatorom mogu se odrediti za celokupan sistem pretežno upravljanja. U skladu sa pretpostavkom o spregnutosti sistema i neaktivnog upravljanja, vrednost upravljačkog signala za aktuator je nula, a samim tim sekundarna sila će takođe biti jednaka nuli. Pod navedenim uslovima dinamički odziv sistema sa jednim stepenom slobode se može odrediti na osnovu diferencijalnih jednacina, određenih u glavi 3 ove disertacije, napisane se u vremenskom domenu primarne sile,  $f_p(t)$ , i pomeranju mase,  $w(t)$ , kao:



**Slika 4.5.** Regulator integriran na sistem sa jednim stepenom slobode

$$f_p(t) = M \ddot{w}(t) + C \dot{w}(t) + K w(t) \quad 4.20$$

Laplasovom transformacijom svakog lana date diferencijalne jednačine i prepostavke da su početne uslovi,  $w(t)=0$  i  $\dot{w}(t)=0$ , jednačina 4.20 se može napisati u sledećem obliku:

$$F_p(s) = M s^2 W(s) + C s W(s) + K W(s) \quad 4.21$$

Prenosna funkcija koja definiše odziv mehaničkog sistema pre upravljanja se može definisati kao:

$$G(s) = \frac{W(s)}{F_p(s)} \quad 4.22$$

Na osnovu definicije date u 4.22 i jedna ina 4.21, može se definisati prenosna funkcija sistema:

$$G(s) = \frac{1}{Ms^2 + Cs + K} \quad 4.23$$

U cilju određivanja odziva sistema u zatvorenoj petlji, prikazanim na slici 4.5, potrebno je znati oblik regulatora u povratnoj sprezi,  $H(s)$ . Pretpostavi se da električni odziv regulatora je takav da sekundarna sila ima tri komponente, koje su proporcionalne ubrzaju, brzini i pomeraju mase, sa konstantama pojava  $g_a$ ,  $g_v$  i  $g_d$ . Sekundarna sila u vremenskom domenu se može napisati kao:

$$f_s(t) = g_a \ddot{x}(t) + g_v \dot{x}(t) + g_d x(t) \quad 4.24$$

Na osnovu date prepostavke, idealno rešenje bi bilo da se koriste tri zasebna merna pretvarača koja bi merila ubrzanje, brzinu i pomeraj. U praksi, najčešće je moguća upotreba samo jednog mernog pretvarača. Na primer ako se postavi akcelerometar, za merenje ubzanja, koristi se elektronski integratori za određivanje brzine i pomeraja. Opisani pristup projektovanja regulatora je validan samo za određene frekventne opsege iz praktičnih razloga jer elektronski integratori nemaju beskonačno pojavljivanje na nultim frekvencijama koje poseduju idealni integratori. Statička pozicija koncentrisane mase ne može biti izvedena upotrebom akcelerometra. Na osnovu iznetih inženjerskih moći se zaključiti da ako želimo da upravljamo vibracijama nekog tela, moramo ograniciti frekventni radni opseg sistema upravljanja sa povratnom spregom na frekvencije koje su više od nulte frekvencije. Jedna ina 4.20 još uvek može da obezbedi dobar model za upravljanje vibracijama u povratnoj sprezi za frekventni opseg značajan za rešenje problema vibracija nekog tela, ali i ako je za senzor izabran akcelerometar. Ako imamo senzor koji meri brzinu tela, zakoni povratne sprege datih u jedna ina 3.20 i dalje se mogu realizovati i primeniti tako što će se vršiti jedna integracija i jedna diferencijacija.

Odziv nulte-frekvencije sistema nije interesantan za dalja razmatranja, pošto uslovi sistema sa algoritmom upravljanja povratne sprege će biti ignorisani.

Laplasovom transformacijom jednačina 4.24 može se dobiti prenosna funkcija regulatora povratne sprege,  $H(s)$ , kao:

$$H(s) = \frac{F_s(s)}{W(s)} = g_a s^2 + g_v s + g_d \quad 4.25$$

Dve prenosne funkcije otvorenih petlji date jednačinama 4.23 i 4.25, se sada mogu iskoristiti za određivanje odziva zatvorene petlje opisanim u jednačini 4.4:

$$\frac{W(s)}{F_p(s)} = \frac{G(s)}{1 + G(s)H(s)} = \frac{1}{(M + g_a)s^2 + (C + g_v)s + (K + g_d)} \quad 4.26$$

Efekat ubrzanja, brzine i pomeranja u povratnoj sprezi se jasno modifikuje u efektivnu masu, prigušenje i krutost mehaničkog sistema, respektivno.

Jednačina 4.26, analogno sa jednačinom 4.23, se sada može prikazati kao:

$$\frac{W(s)}{F_p(s)} = \frac{1}{M' s^2 + C' s + K'} \quad 4.27$$

gde su:  $M' = M + g_a$  - modifikovana masa,  $C' = C + g_v$  - modifikovano prigušenje i  $K' = K + g_d$  - modifikovana krutost sistema.

U idealnom slučaju, stabilnost sistema u zatvorenoj petlji je sigurno obezbeđena ako su vrednosti za  $M'$ ,  $C'$  i  $K'$  pozitivne. U principu, kada se masa, prigušenje i krutost sistema nezavisno modifikuju sa tri pojedinačna u regulatoru sa povratnom spregom, jasno je da se svaki od ova tri parametra može podešiti u opsegu od nule do izuzetno visokih vrednosti kako bi se obezbedilo da sve tri modifikovane vrednosti mase, prigušenja i krutosti zadovolje zahtev pozitivnosti. U praksi najčešće se smanjuje opseg pojedinačna u povratnoj sprezi.

#### 4.5 Efekat kašnjenja u povratnoj sprezi

Jedan od najvažnijih efekata koji ograničavaju performanse regulatora u povratnoj sprezi na praktičnim mehaničkim sistemima je nemogućnost modelovanja kašnjenja faznog ugla (ugaonog pomeraja), odnosno kašnjenje odziva sistema. Kašnjenje odziva sistema najčešće raste zbog dinamike odziva korisnih senzora ili aktuatora kroz vremensko kašnjenje obrade u regulatoru. Vremensko kašnjenje je narođito izraženo ako je algoritam upravljanja integriran na digitalnom regulatoru sa upotrebom anti-aliasing i modifikovanih filtera. Na osnovu navedenih injenica o vremenskom kašnjenju u povratnoj sprezi utiče na prenosnu funkciju regulatora i sa tog aspekta vrši se modifikacija jedna ine 4.25:

$$H(s) = \frac{F_s(s)}{W(s)} = e^{-s\tau} (g_a s^2 + g_v s + g_d) \quad 4.28$$

gde je  $\tau$  prepostavljeno vreme kašnjenja. Ako je kašnjenje malo, frekventni odziv se može prikazati kao:

$$e^{-j\omega\tau} \approx 1 - j\omega\tau \quad za \quad \omega\tau \ll 1 \quad 4.29$$

Frekventni odziv sa vremenskim kašnjenjem sistema upravljanja sa povratnom spregom u zatvorenoj petlji postaje mnogo kompleksniji od odziva datog jedna inom 4.26, ali i dalje se može napisati u sledećem obliku:

$$\frac{W(j\omega)}{F_p(j\omega)} = \frac{1}{j\omega C'' + K'' - \omega^2 M''} \quad 4.30$$

Izraz efektivnog prigušenja se sada može napisati kao:

$$C'' = C + g_v - \tau g_d + \omega^2 \tau g_a \quad 4.31$$

efektivna krutost kao:

$$K'' = K + g_d \quad 4.32$$

i efektivna masa kao:

$$M'' = M + g_a - \tau g_v \quad 4.33$$

Na osnovu jednačina 4.31, 4.32 i 4.33 se može zaključiti da se efektivna krutost sistema ne menja usled vremenskog kašnjenja. Efektivna masa se menja za vrlo malu vrednost, pošto je  $\tau g_v$  izuzetno mala vrednost u odnosu na masu sistema  $M$ . Izraz efektivnog prigušenja je značajno promenjen usled vremenskog kašnjenja,  $\tau$ , i zavisi od frekvencije kao što je prikazano u finalnom izrazu prigušenja datim u jednačini 4.31. Ako se za pomeranje i ubrzanje povratne sprege pretpostavi da su implementirani na takav način da se efektivna krutost i masa menjaju množenjem prirodne frekvencije sistema koeficijentom dva, relativne vrednosti izraza  $C$ ,  $\tau g_d$  i  $\omega^2 \tau g_a$  iz jednačine 4.31 se mogu odrediti. Na osnovu date jednačine 4.33 mogu se definisati zakonitosti uticaja kašnjenja na prigušenje sistema, i to:  $\tau g_d$  je bliska osnovnoj krutosti  $C$  sistema kada  $\tau$  ima malu vrednost u odnosu na period prirodne frekvencije sistema, i prislijednim uslovima  $\omega^2 \tau g_a$  je bliska vrednosti  $C$  za frekvencije koje su iznad vrednosti prirodne frekvencije sistema. Ako su ubrzanje ili pomeranje implementirani u petlju upravljanja sa malim kašnjenjem, efekat kašnjenja može znatno uticati i promeniti krutost sistema. Ako efektivna krutost sistema raste, ili se efektivna masa sistema smanjuje, onda  $g_d$  ima pozitivnu vrednost, a  $g_a$  negativnu vrednost, i efekat oba pojava regulatora može izazvati smanjenje efektivnog prigušenja. Ako je  $\tau$  sa skromnom vrednošću kašnjenja u povratnoj sprezi, efektivno prigušenje može se smanjiti do vrednosti ispod nule,  $C'' < 0$ , i sistem može postati nestabilan. [27]

U zavisnosti od načina izračunavanja i integracije vremenskog kašnjenja u algoritme upravljanja dobijaju se različiti efekti prigušenja realnih sistema. U praksi efektivno prigušenje sistema se povećava i do 75% upotrebom sistema aktivnog upravljanja pomeranja i brzine. [52, 53, 54]

## 4.6 Jednačine stanja sistema

Pre direktnih transformacija diferencijalnih jednačina, koje opisuju dinamiku sistema, u Laplasov domen, alternativni pristup je da se vremenski domen jednačina prevede u standardni oblik izraza preko promenjivih koji definišu unutrašnje stanje sistema. Ovo je moguće upotrebom utvrđenih matričnih metoda sa ciljem određivanja karakteristika sistema, kao što je stabilnost, njegova upravljivost i efekti različitih tipova upravljanja u povratnoj sprezi.

U ovom delu upoznatomo se sa promenjivim stanja sistema uzimajući u razmatranje dinamiku mehaničkog sistema sa jednim stepenom slobode, opisanim u prethodnim poglavljima. Ponovo se razmatra diferencijalna jednačina sistema sa jednim stepenom slobode prikazana jednačinom 4.20:

$$f(t) = M \ddot{x}(t) + C \dot{x}(t) + K x(t) \quad 4.20$$

Potrebitno je naglasiti da matrica no generalisanje jednačine 4.20 se može iskoristiti za opis mehaničkih sistema sa više stepeni slobode (jednačina 3.7).

Jednačina 4.20 se može napisati kao:

$$\ddot{x}(t) = -\frac{C}{M} \dot{x}(t) - \frac{K}{M} x(t) + \frac{1}{M} f(t) \quad 4.34$$

Jednačina 4.34, diferencijalna jednačina drugog reda, može se prikazati sa dve diferencijalne jednačine prvog reda. U ovom smislu potrebno je definisati dve promenjive koje će kompletno definisati unutrašnje stanje sistema. To su promenjive stanja i mogu se označiti kao  $x_1(t)$  i  $x_2(t)$ . Jedan od mogućih izbora za promenjive stanja u datom primeru su pomeranje i brzina mase sistema:

$$x_1(t) = w(t), \quad x_2(t) = \dot{x}(t) \quad 4.35$$

Na osnovu uvedenih smena, međusobni odnos promenjivih stanja je diferencijalna jednačina prvog reda:

$$x_2(t) = \dot{x}_1(t) \quad 4.36$$

sada se diferencijalna jednačina sistema sa jednim stepenom slobode, opisana jednačinom 4.34 može napisati kao:

$$\ddot{x}_2(t) = -\frac{C}{M}x_2(t) - \frac{K}{M}x_1(t) + \frac{1}{M}f(t) \quad 4.37$$

Sada se jednačine 4.36 i 4.37 mogu opisati jednom matričnom jednačinom jednačinom, kao:

$$\begin{bmatrix} \dot{x}_1(t) \\ \ddot{x}_2(t) \end{bmatrix} = \begin{bmatrix} 0 & 1 \\ -\frac{K}{M} & -\frac{C}{M} \end{bmatrix} \begin{bmatrix} x_1(t) \\ x_2(t) \end{bmatrix} + \begin{bmatrix} 0 \\ \frac{1}{M} \end{bmatrix} f(t) \quad 4.38$$

ili u kompaktnijem obliku jednačina 4.38 se može napisati:

$$\ddot{\mathbf{x}}(t) = A \mathbf{x}(t) + B u(t) \quad 4.39$$

gde su

$$\ddot{\mathbf{x}}(t) = \begin{bmatrix} \dot{x}_1(t) \\ \ddot{x}_2(t) \end{bmatrix}$$

$$A = \begin{bmatrix} 0 & 1 \\ -\frac{K}{M} & -\frac{C}{M} \end{bmatrix}$$

$$\mathbf{x}(t) = \begin{bmatrix} x_1(t) \\ x_2(t) \end{bmatrix}$$

u našem slučaju  $B$  je vektor, dok je  $u(t)$  skalar sledećeg oblika:

$$B = \begin{bmatrix} 0 \\ 1 \\ \frac{1}{M} \end{bmatrix} \quad u(t) = f(t)$$

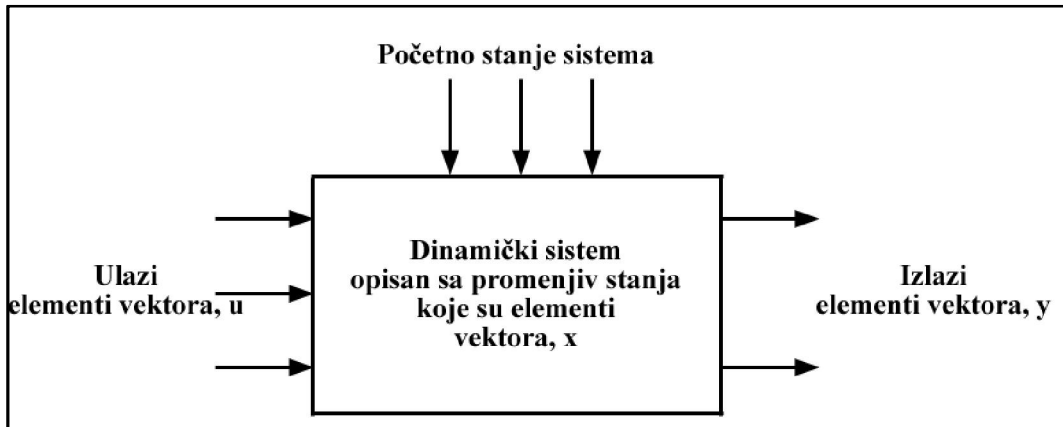
Jedna ina 4.39 opisuje ponašanje stanja unutrašnjih promenjivih sistema na koji deluje ulaz  $u(t)$ . Slična jedna ina se može koristiti i za opis efekta izlaza i promenjive stanja izlaza  $y(t)$  sistema, koji se u opštem obliku može napisati kao

$$y(t) = C x(t) + D u(t) \quad 4.40$$

Ako se koristi senzor brzine na opisanom sistemu sa jednim stepenom slobode, imamo:

$$C = \begin{bmatrix} 0 \\ 1 \end{bmatrix} \quad D = 0$$

Promenjive stanja su predstavljene na slici 4.6.



**Slika 4.6.** Promenjive stanja mehaničkog sistema

Mnogo komplikovaniji mehanički sistemi se mogu opisati koristeći istu pristup. U opisanom slučaju, masa se ne može sprezati sa drugom masom preko odvojenih opruga i prigušnica, u takvom slučaju zahtevalo bi se 4 promenjive stanja kako bi se

definisalo unutrašnje stanje sistema. Generalno svaki linearni mehani ki sistem razli ite kompleksnosti može se kompletno opisati sa parom matri nih jedna ina opisanih jedna inama 4.39 i 4.40. Poznavanjem promenjivih stanja koje deluju kao prelazne promenjive izme u ulaznih i izlaznih signala pratimo i utiemo na širok opseg ponašanja sistema kao što je opisano i sa upotrebom prenosnih funkcija prostih ulazno-izlaznih sistema. Sprezanje dodatne (sekundarne) mase u sistem je vrlo slabo u odnosu na ve pogonjenu masu, i ima izuzetno mali uticaj na prigušenje sistema u kretanju. Jedna ine promenjivih stanja koje se odnose na sekundarnu masu zbog toga postaju izuzetno kompleksne i velike za odreenu frekvenciju pobude bez značajnog doprinosa na izlazne veli ine sistema.

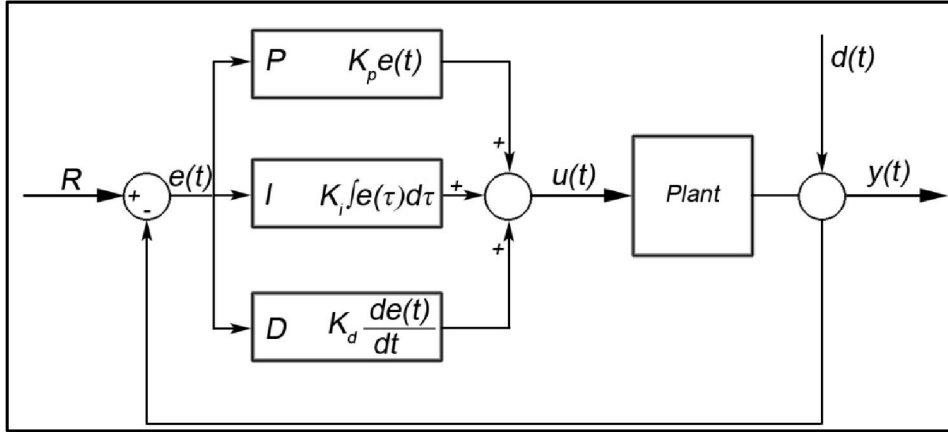
#### 4.7 Proporcionalno-diferencijalno-integalni regulator

Proporcionalno-integralno-diferencijalni regulator, ili kra e PID regulator, je najčešći regulator u sistemima regulacije sa zatvorenom povratnom spregom. PID regulator predstavlja jednu od najstarijih i najrasprostranjenijih upravljačkih strategija, a njegovom primenom se može uspešno rešiti oko 90% svih upravljačkih zadataka.

PID regulator se sastoji od tri konstantna dejstva: proporcionalnog (P), integralnog (I) i diferencijalnog (D). Funkcija prenosa PID regulatora je:

$$H_{PID}(s) = K_P + \frac{K_i}{s} + K_d s \quad 4.41$$

Blok šema sistema zatvorene povratne sprege sa implementiranim PID regulatorom je dat na slici 4.7.



**Slika 4.7.** Sistem zatvorene povratne sprege sa implementiranim PID regulatorom

Koeficijenti  $K_P$ ,  $K_I$  i  $K_D$  predstavljaju pojačanja proporcionalnog, integralnog i diferencijalnog dejstva.

Ova tri dejstva se mogu opisati i u zavisnosti od vremena: proporcionalno dejstvo zavisi od trenutne greške, integralno dejstvo zavisi od greške koja se nakupila iz prošlosti, a diferencijalno dejstvo zavisi od predikcije greške iz budućnosti.

Da bi se bolje razumeo uticaj PID regulatora na odziv sistema, biće opisano svako od njegova tri dejstva.

**Proporcionalno dejstvo** menja upravljanje tako da ono bude direktno proporcionalno trenutnoj vrednosti greške. Ono određuje veličinu statičke greške sistema, odnosno što je pojačanje veće e, greška je manja. Međutim, u zavisnosti od tipa sistema, povećanje proporcionalnog pojačanja može dovesti i do nestabilnosti sistema. Kao što je već rečeno, povećanjem proporcionalnog dejstva se smanjuje greška u stacionarnom stanju, ali bez obzira koliko se poveća ovo dejstvo, njime se ne može u potpunosti eliminisati ta greška. Postojanje ove greške zavisi od samog procesa.

Kod nekih procesa moguće je da se željena performansa ostvari samo pomoći ovog dejstva, tako da se upravljanje realizuje isključivo pomoći u P-regulatora.

**Integralno dejstvo** ubrzava sistem ka željenoj takmiči i eliminiše grešku u stacionarnom stanju koja ostaje od istog proporcionalnog dejstva. S obzirom da integralno dejstvo akumulira sve prethodne vrednosti greške, ono esto dovodi do toga da sistem dobije preskok i da osciluje oko željene vrednosti. Zbog toga se integralno

dejstvo nikada ne koristi samo, već isključivo u kombinaciji sa proporcionalnim dejstvom, u vidu PI regulatora.

**Diferencijalno dejstvo** vodi računa o brzini promene signala greške. Naime, ako se ne želi preskok u odzivu, neophodno je da se sistem "koste", odnosno da se usporava, onda kada se greška smanjuje, i to utoliko jače ukoliko je opadanje greške brže.

Uticaj ovih dejstava na odziv sistema se može grubo predstaviti tabelom 4.3.

**Tabela 4.3** – Uticaj PID dejstva na odziv sistema

	Vreme uspona	Preskok	Vreme smirenja	Greška ustaljenog stanja
$K_p$	Smanjuje	Povećava	Mala promena	Smanjuje
$K_i$	Smanjuje	Povećava	Povećava	Eliminiše
$K_d$	Mala promena	Smanjuje	Smanjuje	Mala promena

Odabir vrednosti pojedinačnih možemo vršiti intuitivno: povećanjem proporcionalnog dejstva dok se ne dobije željeno vreme uspona, povećanjem integralnog dejstva se eliminiše greška u stacionarnom stanju, a povećanjem diferencijalnog dejstva se smanjuje preskok i dobija se željeno vreme smirenja sistema.

Prenosna funkcija 4.41 se može napisati i u sledećem obliku:

$$H_{PID}(s) = K_p \left( 1 + \frac{1}{T_i s} + T_d s \right) \quad 4.42$$

gde  $T_i$  predstavlja integralnu vremensku konstantu, a  $T_d$  vremensku konstantu diferenciranja. Najpoznatija metoda za određivanje parametara PID regulatora je Ziegler-Nichols-ova metoda. Ova metodologija podrazumeva da se, ukoliko je ceo sistem već realizovan sa povratnom spregom, povratna sprega se uopšte ne mora raskidati. U ovoj proceduri, bez obzira na primjenjeni zakon upravljanja P, PI ili PID, najpre se dejstvo regulatora svede samo na proporcionalno,  $K_p$ , postavljanjem vremenske konstante integralnog dejstva na maksimalnu,  $T_i \rightarrow \infty$ , a vremenske konstante diferencijalnog dejstva na minimalnu vrednost,  $T_d = 0$ . Pri tome se  $K_p$  postavlja na neku manju vrednost, tako da regulaciona kontura bude stabilna. Sistem se

pobu uje odsko nim signalom, i  $K_p$  se povećava u malim iznosima, korak po korak. Na osciloskopu, ili nekom drugom pokazivaču se posmatra izlazni signal. U jednom momentu će povećanje vrednosti  $K_p$  dovesti sistem na granicu stabilnosti, što se detektuje pojmom prostoperiodi nih neprigušenih oscilacija u odzivu sistema. Time se eksperiment ("kritični eksperiment") završava, i pri tome se pamte vrednosti pojava anja za koju je sistem prooscilovao,  $K_p$  predstavlja  $K_{kr}$ , perioda oscilacija predstavlja  $T_{kr}$ . Ziegler i Nichols su ponudili tabelu pomoći koje se određuju vrednosti parametara regulatora na osnovu poznatih  $K_{kr}$  i  $T_{kr}$ . Tabela 4.4 predstavlja način određivanja parametara regulatora na osnovu rezultata kritičnog eksperimenta.

**Tabela 4.4** – Određivanje parametara regulatora Ziegler-Nichols-ovom metodom

Tip regulatora	$K_p$	$T_i$	$T_d$
P	$0.5 K_{kr}$	-	-
PI	$0.45 K_{kr}$	$T_{kr} / 1.2$	-
PID	$0.60 K_{kr}$	$T_{kr} / 2$	$T_{kr} / 8$

Nedostatak ove metode je taj što se regulaciona kontura (sistem) mora dovesti do granice oscilacija (stabilnosti) što nekad nije dozvoljeno. Ipak, i to je bolje nego da se pri neplanskom podešavanju parametara izazovi oscilacije visokih amplituda.

## Glava 5

# 5 RAZVOJ SISTEMA AKTIVNOG PRIGUŠENJA VIBRACIJA

### 5.1 Metodologija razvoja sistema aktivnog prigušenja vibracija

Metodologija projektovanja sistema aktivnog ili aktivno-pasivnog prigušenja vibracija se u suštini ne razlikuju od metodologije razvoja drugih elektro-mehaničkih sistema. Ova oblast istraživanja predstavlja obimna i sveobuhvatna istraživanja različitih disciplina tehničkih nauka sa aspekta i teorijskog i primjenjenog istraživanja, autorova namjera je da ograniči prirodu izrade ove disertacije na inovativan i razvojni proces realne strukture.

U skladu sa ciljem disertacije razvoja sistema aktivnog upravljanja vibracijama, slijedeći postupci istraživanja se mogu definisati kao osnova za realizaciju realnog sistema:

1. **MODELOVANJE:** Razvoj i aplikacija novih ili pre-rezervnih modela konstrukcija elemenata aktivnih struktura sa integriranim piezoelektričnim aktuatorima, visokog nivoa tačnosti i zadovoljavajućeg odnosa između karakteristike funkcionalnosti i kompleksnosti sistema;
2. **UPRAVLJANJE:** Razvoj, simulacija, procena i implementacija strategija i algoritama aktivnog upravljanja vibracijama u realnom vremenu na adekvatnim mikrokontrolerskim platformama.

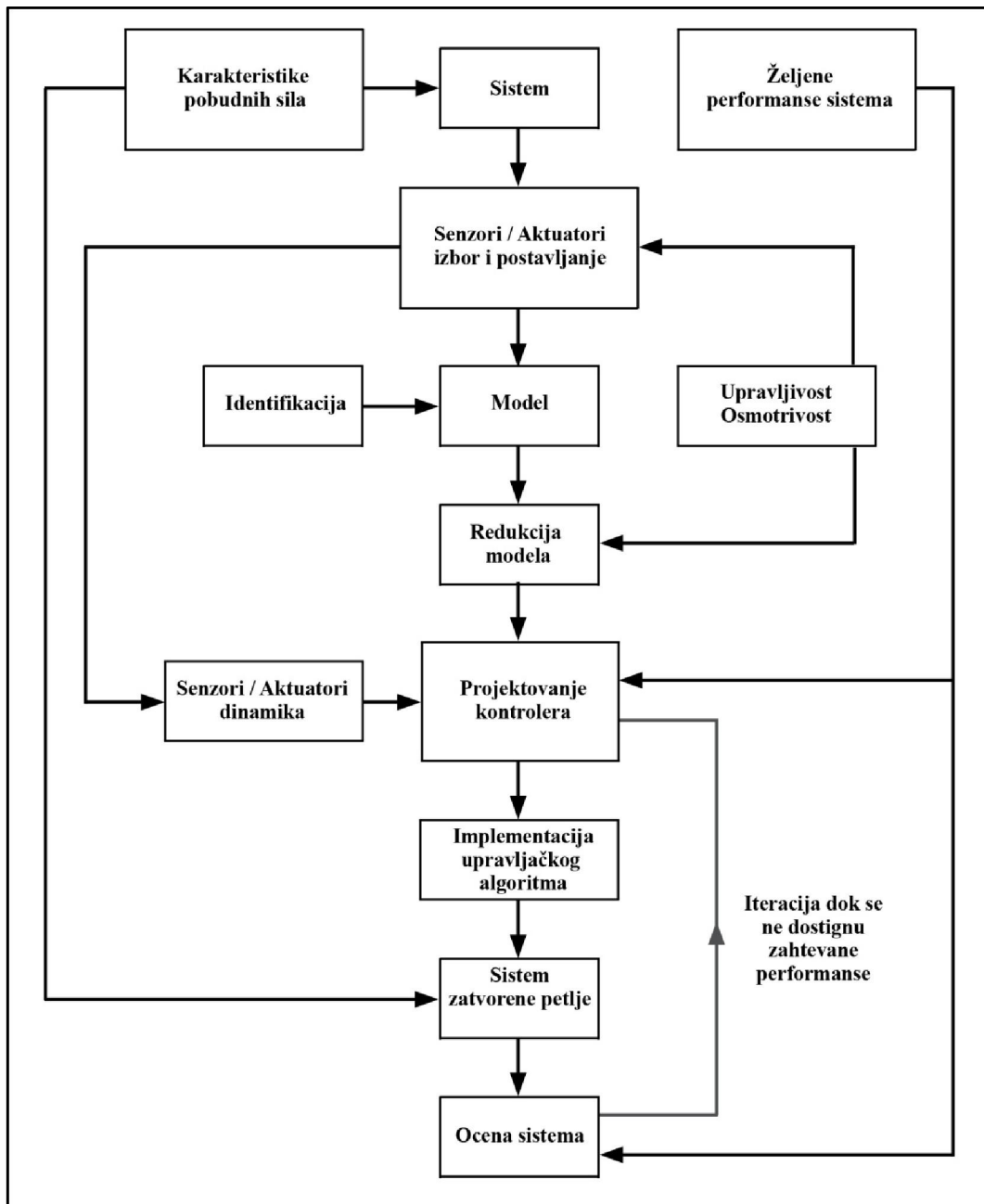
3. **DIZAJN:** Analiza, simulacija i razvoj optimalnog sistema aktivnog upravljanja vibracijama u cilju utvrivanja efikasnosti nivoa prigušenja vibracija na realnom strukturalnom elementu vazduhoplova.
4. **VERIFIKACIJA:** Eksperimentalna verifikacija prototipa sistema aktivnog upravljanja vibracijama.

Da bi se realizovala struktura u skladu sa navedenim postupcima neophodno je realizovati scenario modelovanja i razvoja po sledećim etapama [5, 55, 56, 57]:

- Izbor elementa (sistema) na kome će se vršiti aktivno prigušenje vibracija,
- Analiza sila koje deluju na izabrani element (sistem),
- Određivanje sopstvenih modova oscilovanja, analiza vibracija izabranog elementa (sistema) koji će biti upravljan,
- Određivanje idealnog matematičkog modela elementa (sistema) koji će biti upravljan, najčešće upotreboom metode konačnih elemenata,
- Optimizacija i upravljanje matematičkog modela,
- Analiza rezultujućeg modela, određivanje njegovih karakteristika, dinamičkih karakteristika i tipova pobuda i načina odgovora,
- Određivanje zahteva koje moraju da ispunite senzori i aktuatori i odluka o izboru, kao i o poziciji integracije na osnovnu strukturu,
- Analiza uticaja senzora i aktuatora na dinamičke karakteristike strukture,
- Definisanje kriterijuma performansi i stabilnosti sistema,
- Odluka o tipu upravljačkog algoritma koji će se primeniti kao i razvoj regulatora u cilju dostizanja zahtevanih performansi,
- Simulacija rezultata upravljačkog algoritma i procena uspešnosti potencijalnog regulatora,
- U slučaju da regulator ne zadovoljava postavljene zahteve, potrebno je izvršiti podešavanje ili modifikaciju regulatora,
- Izbor hardvera, softvera i integracija elektronskih komponenti na razvojnu platformu,
- Definisati eksperiment i izvršiti proveru rada sistema pre integracije na realan sistem,
- Verifikacija sistema na realnom elementu (sistemu) u cilju provere dobijenih performansi, i

- Ponavljanje nekog od navedenih koraka sa ciljem unapređenja performansi sistema.

Blok dijagram sa opisanim etapama razvoja sistema aktivnog prigušenja vibracija je prikazan na slici 5.1.



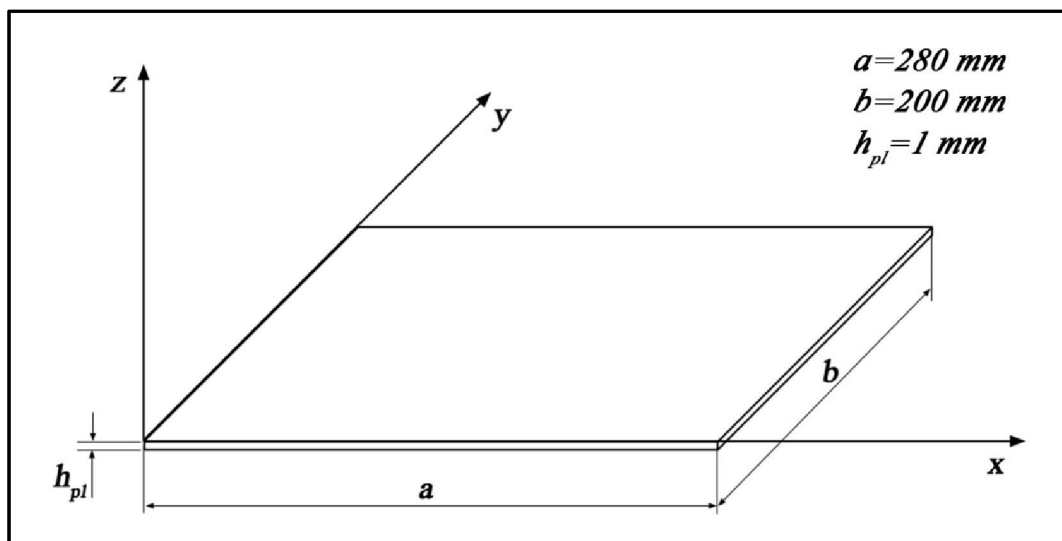
Slika 5.1. Etape u procesu razvoja sistema aktivnog upravljanja vibracijama [5]

U daljem toku rada izvršiće se projektovanje sistema aktivnog prigušenja vibracija u skladu sa gore navedenim etapama.

## 5.2 Matematički model strukturalnog elementa vazduhoplova

Za razvoj sistema aktivnog prigušenja vibracija kao osnovna struktura, tj. struktura na kojoj će biti izvršena integracija senzora i aktuatora, izabrana je uklještена pravougaona metalna ploča. Ploča kao element je široko zastupljena na vazduhoplovnim konstrukcijama (oplata, pregradni zidovi, noseći element vazduhoplovne opreme, itd...).

Izgled izabrane uklještene pravougaone ploče sa geometrijskim karakteristikama date su na slici 5.2, a karakteristike materijala (aluminijum) date su u tabeli 5.1.



**Slika 5.2.** Dimenzije izabranog strukturalnog elementa

**Tabela 5.1** – Karakteristike materijala ploče (aluminijum)

Karakteristika materijala	Vrednost
$E_1$	[GPa]
$E_2$	[GPa]
$G_{13}$	[GPa]
$G_{23}$	[GPa]
$\rho$	70
$e_{31}$	-
$k_{33}$	26
$\nu_{12}$	-
$\rho$	0.35
$\rho$	[kg/m <sup>3</sup> ]
$e_{31}$	2698
$k_{33}$	[C/m <sup>2</sup> ]
$k_{33}$	[F/m]

Deformacije ploče se mogu odrediti na osnovu deformacija smicanja trećeg reda i dati su kao [58]:

$$\begin{aligned} u(x, y, z, t) &= u_0(x, t) + z\psi_x(x, t) - \frac{4}{3h_{pl}^2}z^3\left(\psi_x + \frac{\partial w_0}{\partial x}\right) \\ v(x, y, z, t) &= v_0(x, t) + z\psi_y(x, t) - \frac{4}{3h_{pl}^2}z^3\left(\psi_y + \frac{\partial w_0}{\partial y}\right) \\ w(x, z, t) &= w_0(x, t) \end{aligned} \quad 5.1$$

gde  $(u, v, w)$  predstavljaju deformacije u  $(x, y, z)$  pravcu,  $(u_0, v_0, w_0)$  predstavljaju deformacije srednje ravni ploče,  $\psi_x$  i  $\psi_y$  predstavljaju rotacije oko srednje ravni ploče po  $x$  i  $y$  osi, i  $h_{pl}$  je debljina ploče. Vrednosti napona ploče povezani sa gore prikazanim poljem deformacija su:

$$\begin{bmatrix} \varepsilon_{xx} \\ \varepsilon_{yy} \\ \gamma_{yz} \\ \gamma_{xz} \\ \gamma_{xy} \end{bmatrix} = \begin{bmatrix} \varepsilon_{xx}^0 \\ \varepsilon_{yy}^0 \\ \gamma_{yz}^0 \\ \gamma_{xz}^0 \\ \gamma_{xy}^0 \end{bmatrix} + z \begin{bmatrix} \varepsilon_{xx}^1 \\ \varepsilon_{yy}^1 \\ \gamma_{yz}^1 \\ \gamma_{xz}^1 \\ \gamma_{xy}^1 \end{bmatrix} - \frac{1}{3h_{pl}^2}z^2 \begin{bmatrix} \varepsilon_{xx}^2 \\ \varepsilon_{yy}^2 \\ \gamma_{yz}^2 \\ \gamma_{xz}^2 \\ \gamma_{xy}^2 \end{bmatrix} - \frac{4}{3h_{pl}^2}z^3 \begin{bmatrix} \varepsilon_{xx}^3 \\ \varepsilon_{yy}^3 \\ \gamma_{yz}^3 \\ \gamma_{xz}^3 \\ \gamma_{xy}^3 \end{bmatrix} \quad 5.2$$

gde

$$\begin{bmatrix} \varepsilon_{xx}^0 \\ \varepsilon_{yy}^0 \\ \gamma_{yz}^0 \\ \gamma_{xz}^0 \\ \gamma_{xy}^0 \end{bmatrix} = \begin{bmatrix} \frac{\partial u_0}{\partial x} \\ \frac{\partial v_0}{\partial y} \\ \phi_y + \frac{\partial w_0}{\partial y} \\ \phi_x + \frac{\partial w_0}{\partial x} \\ \frac{\partial u_0}{\partial y} + \frac{\partial v_0}{\partial x} \end{bmatrix}, \quad \begin{bmatrix} \varepsilon_{xx}^1 \\ \varepsilon_{yy}^1 \\ \gamma_{yz}^1 \\ \gamma_{xz}^1 \\ \gamma_{xy}^1 \end{bmatrix} = \begin{bmatrix} \frac{\partial \phi_x}{\partial x} \\ \frac{\partial \phi_y}{\partial y} \\ 0 \\ 0 \\ \frac{\partial \phi_x}{\partial y} + \frac{\partial \phi_y}{\partial x} \end{bmatrix}, \quad 5.3$$

$$\begin{Bmatrix} \boldsymbol{\varepsilon}_{xx}^2 \\ \boldsymbol{\varepsilon}_{yy}^2 \\ \boldsymbol{\gamma}_{yz}^2 \\ \boldsymbol{\gamma}_{xz}^2 \\ \boldsymbol{\gamma}_{xy}^2 \end{Bmatrix} = \begin{Bmatrix} 0 \\ 0 \\ \phi_y + \frac{\partial w_0}{\partial y} \\ \phi_x + \frac{\partial w_0}{\partial x} \\ 0 \end{Bmatrix}, \quad \begin{Bmatrix} \boldsymbol{\varepsilon}_{xx}^3 \\ \boldsymbol{\varepsilon}_{yy}^3 \\ \boldsymbol{\gamma}_{yz}^3 \\ \boldsymbol{\gamma}_{xz}^3 \\ \boldsymbol{\gamma}_{xy}^3 \end{Bmatrix} = \begin{Bmatrix} \frac{\partial \phi_x}{\partial x} + \frac{\partial^2 w_0}{\partial x^2} \\ \frac{\partial \phi_y}{\partial y} + \frac{\partial^2 w_0}{\partial y^2} \\ 0 \\ 0 \\ \frac{\partial \phi_x}{\partial y} + \frac{\partial \phi_y}{\partial x} + 2 \frac{\partial^2 w_0}{\partial x \partial y} \end{Bmatrix}$$

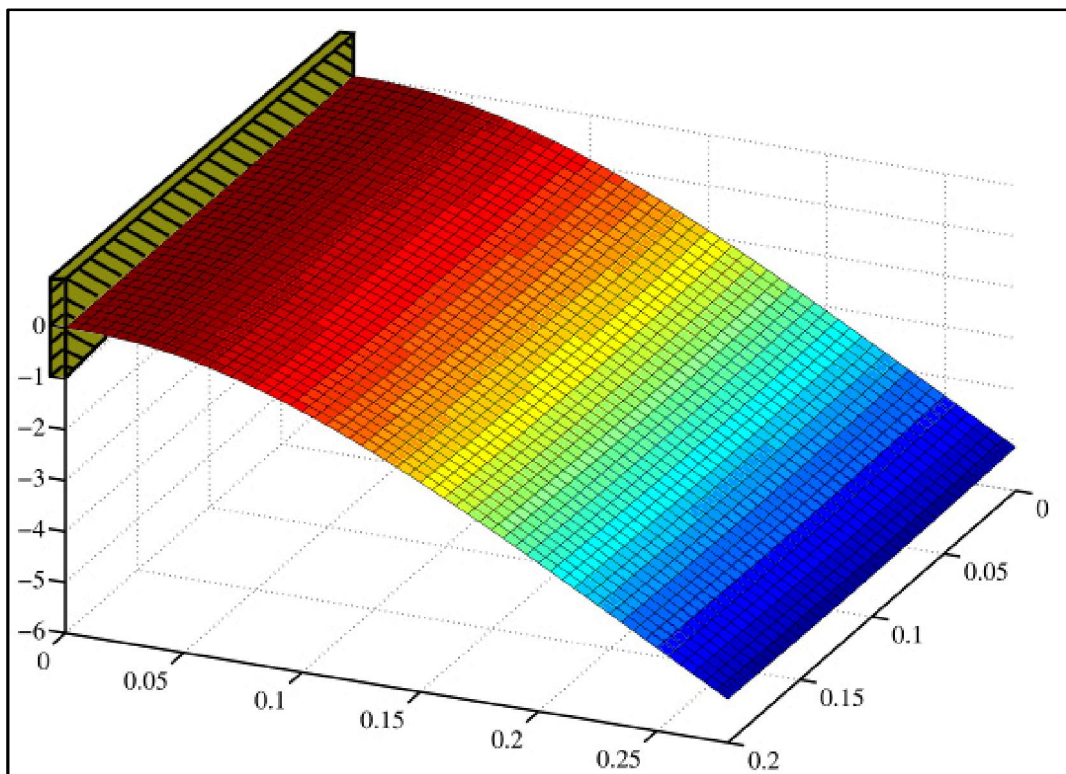
predstavljaju generalizovane napone.

Na osnovu jedna ina 3.8, 3.9, 5.1 i 5.2 upotrebom metode kona nih elemenata može se izvršiti određivanje sopstvenih prirodnih frekvencija oscilovanja, deformacija i raspodela napona na izabranom strukturalnom elementu. Oštete enja strukturalnih elemenata sistema se najčešće javljaju pri velikim amplitudama i niskim frekvencijama oscilovanja, sa ovog aspekta dozvoljava se mogućnost redukcije broja sopstvenih modova oscilovanja izabranog modela na broj koji odgovara niskofrekventnom opsegu. Za razmatrani slučaj podeljuje se modovi oscilovanja sa prirodnim frekvencijama nižim od 100 Hz.

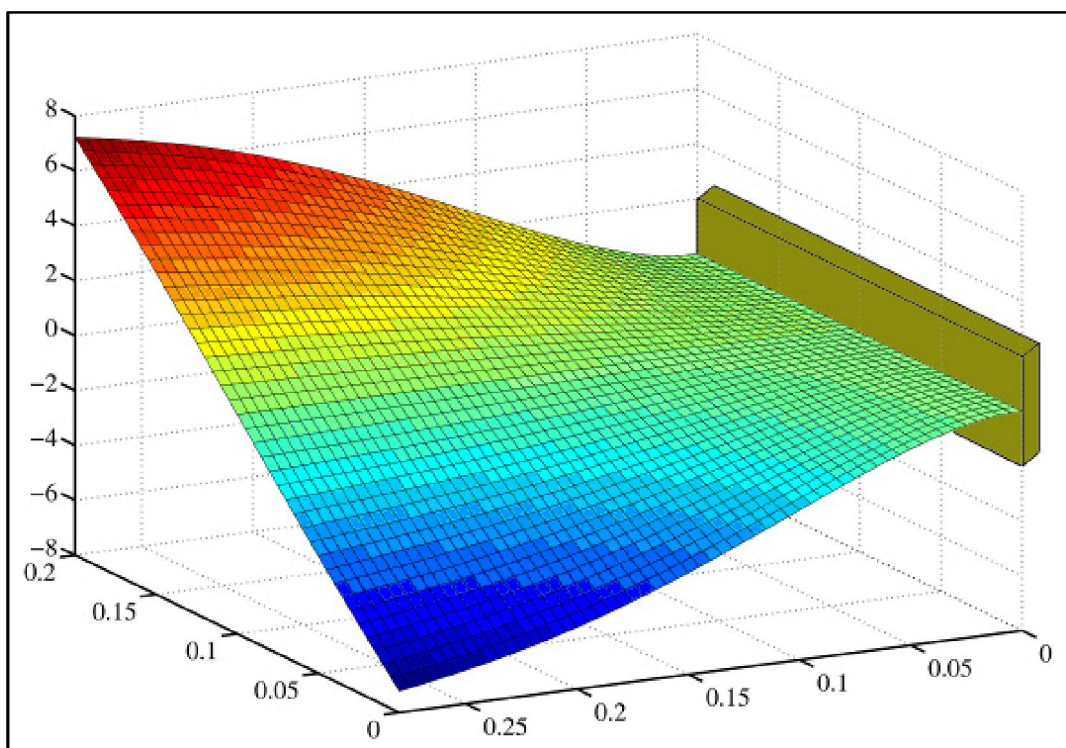
Ploča je podeljena na 2240 kona nih elemenata (dimenzija svakog elementa je 0.5mm x 0.5mm). Sopstvene prirodne frekvencije su dobijene upotrebom metode kona nih elemenata i vrednosti za prva tri moda oscilovanja su date u tabeli 5.2. Izgled prva tri moda oscilovanja sa odgovarajućim pomeranjem su prikazani na slikama 5.3, 5.4 i 5.5.

**Tabela 5.2 – Sopstvene frekvencije oscilovanja izabrane ploče (numerički rezultati)**

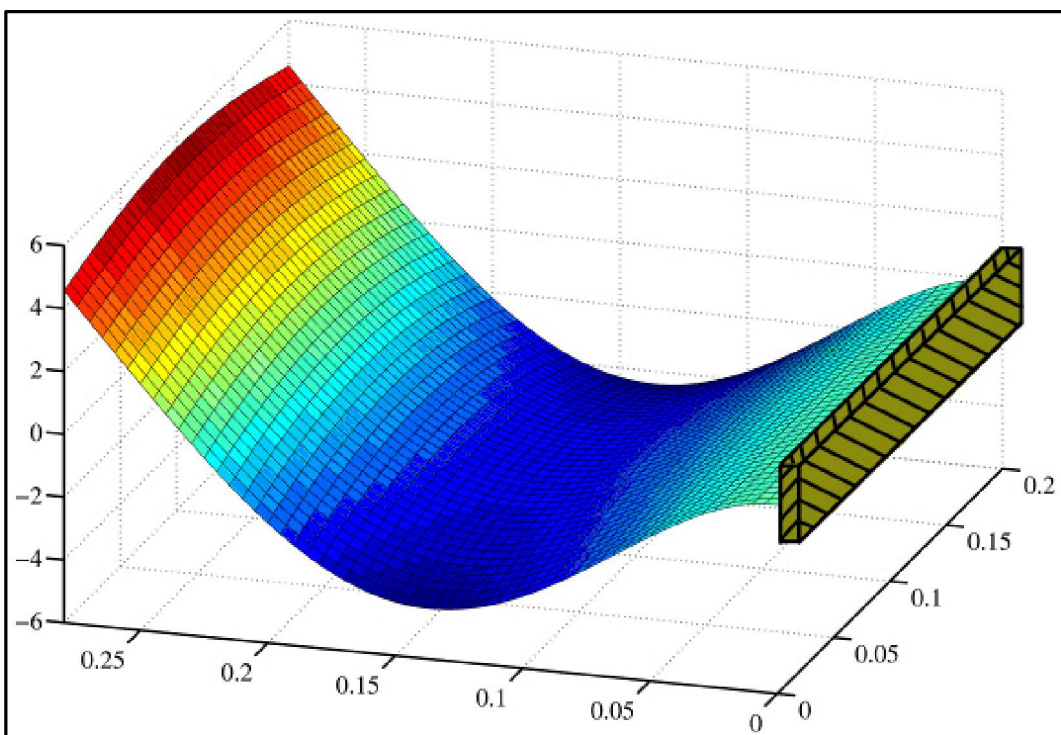
Modovi	Sopstvene frekvencije (Hz)
<b>1</b>	<b>10.945</b>
<b>2</b>	<b>34.163</b>
<b>3</b>	<b>67.737</b>



Slika 5.3. Prvi mod oscilovanja, prvi mod savijanja (pomeranje)



Slika 5.4. Drugi mod oscilovanja, prvi mod uvijanja (pomeranje)



**Slika 5.5.** Treći mod oscilovanja, drugi mod savijanja (pomeranje)

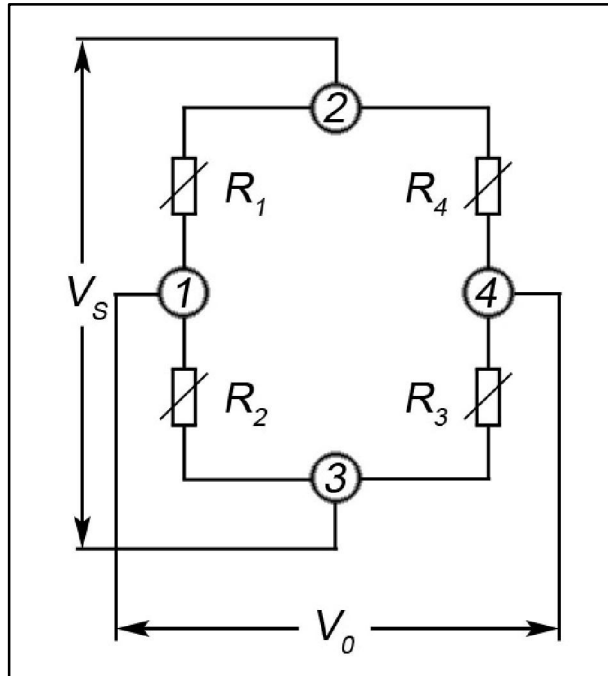
### 5.3 Izbor senzora i aktuatora

Za formiranje aktivne strukture neophodno je da se na izabrani element (pravougaona aluminijumska ploča) integrišu senzori i aktuatori. Izbor senzora i aktuatora mora da zadovolji sledeći uslov, a to je: prvi, integracija ne sme značajno da naruši dinamičke karakteristike osnovne strukture, kako se prirodne frekvencije aktivne strukture ne bi približile radnim frekvencijama celokupnog sistema (vazduhoplova), i drugi, senzori i aktuatori moraju da se lociraju na mestima maksimalnih razmatranih fizikalnih veličina.

Uzimajući u obzir navedene uslove kao i vrednosti pomeranja, deformacija i napona dobijenog matematičkog modela uočava se da su najveće unutrašnje deformacije i naponi povećani na mestu uležištenja odlučeno je da se za senzorsku platformu izaberu merne trake povezane u Wheatstone-ov most, a za aktuarsku platformu izabere piezoelektrični plastični aktuator MIDE QP10W.

### 5.3.1 Wheatstone-ov most

Wheatstone-ov most se obično koristi za merenje deformacija mehaničkog sistema. Senzor se sastoji od 4 mernih traka povezanih u most i najčešće otpornosti  $R=120\Omega$  ili  $R=350\Omega$ , prikazano na slici 5.6.



**Slika 5.6.** Blok šema Wheatstone-ovog mosta

Wheatstone-ov most je tip senzora koji se snabdeva električnim naponom,  $V_S$  preko takva 2 i 3 datih na slici 5.6. Izlazni napon senzora,  $V_0$  se meri između tačaka 1 i 4 (slika 5.6) i proporcionalan je deformaciji plodne.

Kada je most izbalansiran, tj. kada nema spoljašnjeg opterećenja otpornost svih mernih traka je identična, izlazni napon je jednak  $V_0 = 0V$  i nema deformacije plodne, jednačina 5.4:

$$\frac{R_1}{R_2} = \frac{R_3}{R_4} \quad 5.4$$

U slučaju spoljašnjeg opterećenja i pojavom deformacije plodne menjaju se otpornost mernih traka za određenu vrednost  $\Delta R$ . Izlazni napon se menja i može se odrediti na sledećim linijama:

$$V_0 = V_S \left( \frac{R_1 + \Delta R_1}{R_1 + \Delta R_1 + R_2 + \Delta R_2} + \frac{R_4 + \Delta R_4}{R_3 + \Delta R_3 + R_4 + \Delta R_4} \right) \quad 5.5$$

Korišćenje punog Wheatstone-ov mosta za merenje deformacije sistema ima sledeće prednosti:

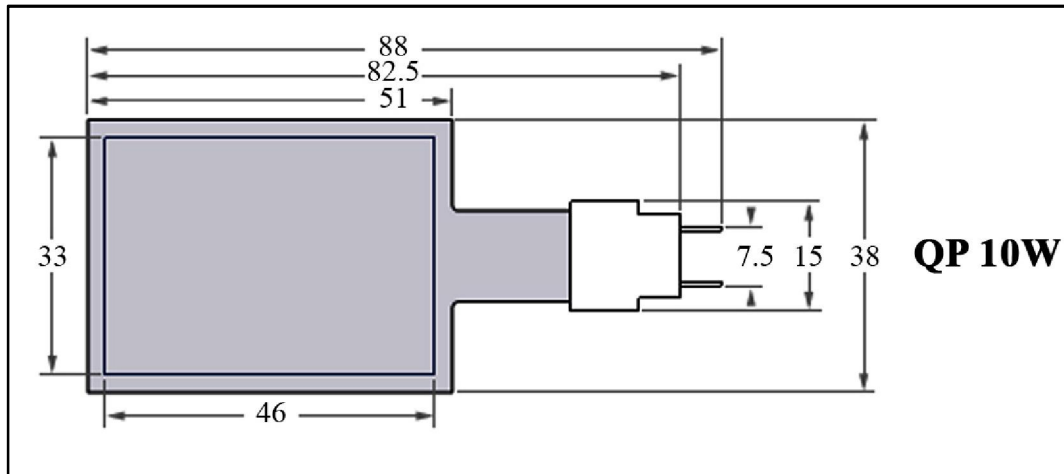
- Upotrebom četiri mernih traka, po dve paralelno postavljene sa obe strane elementa vrši kompenzaciju normalnih napona ploče.
- Velika promena otpornosti u mernim trakama postavljenim na susednim mestima se sabira, veći izlazni signal.
- Naponi uslovljeni promenom temperature elementa (termalno širenje materijala) se kompenzuju.
- Efekti interferencije kroz konekcije unutrašnjeg mosta su minimizirane.
- Promena nivoa naizmeničnog napona je veoma pogodna za merenje oscilatornih signala [44].

Nedostatak ovog tipa senzora je njegov nizak nivo izlaznog napona. S obzirom na iznetu injenicu ovaj tip senzora najčešće mora biti spregnut sa sistemom za pojavljivanje signala (pojava signala). Primarni zadatci ovog tipa pojava su da nivo napona iz milivoltske oblasti pojedinačno nivo prihvatljivog za regulator od -5 do +5 V.

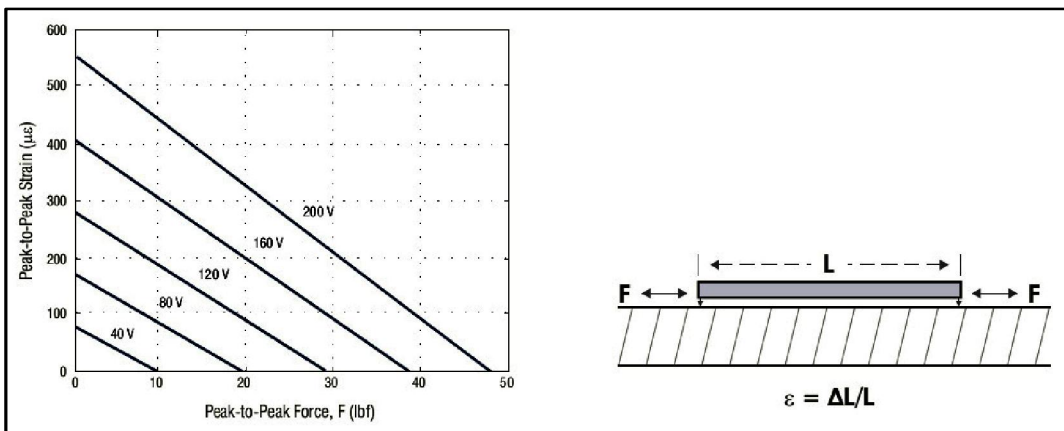
Za potrebe razvoja sistema aktivnog prigušenja vibracija na strukturalnom elementu (pravougaonoj aluminijumskoj ploči) vazduhoplova izabran je Wheatstone-ov most sa otpornošću u mernih traka od 120 Ω, i pozicijom pored mesta uklještenja ploče [59].

### 5.3.2 Piezoelektrični aktuator MIDE QP 10W

Na osnovu vrednosti dobijenih matematičkim modelovanjem osnovne strukture za aktuatorsku platformu je izabran piezoelektrični (PZT) aktuator proizveden u MIDE tipa QP 10W. Izabrani aktuator po svojoj specifikaciji je projektovan da obezbedi preciznu i ponovljivu pobudu u dobijenim operativnim uslovima [59]. Geometrijske karakteristike aktuatora date su na slici 5.7. dok su njegove radne karakteristike date na slici 5.8 [60].



Slika 5.7. Geometrijske karakteristike aktuatora QP 10W [60]



Slika 5.8. Tipi ne radne performanse aktuatora QP 10W [60]

Predloženi piezoelektrični aktuator se snabdeva, tj. upravlja se sa visokim naponom od  $\pm 200$  V. Za potrebe snabdevanja aktuatora visokim naponom razvijen je visokonaponski pojačivač PDA X3, trokanalni linearni pojačivač sa pojačanjem od 30X i 40X [61, 62]. Izgled naponskog pojačivača PDA X3 dat je na slici 5.9.



Slika 5.9. Naponski pojaiva PDA X3

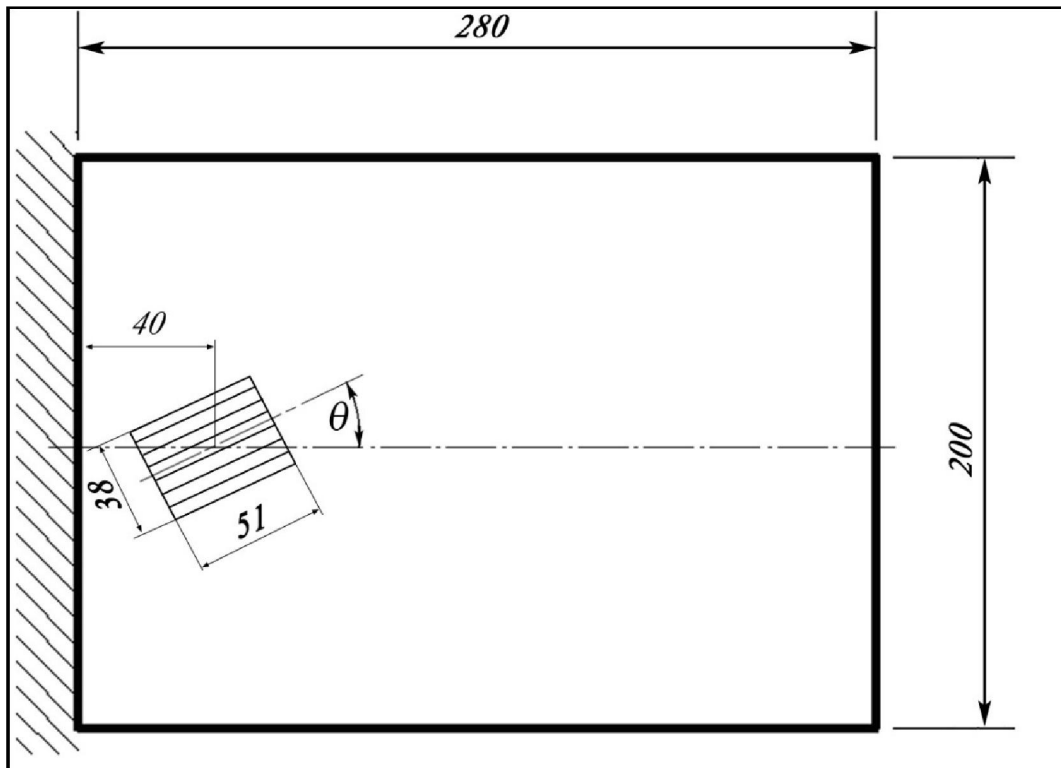
#### 5.4 Optimizacija položaja i orijentacije izabranih senzora i aktuatora

Upravljivost je karakteristika sistema da upravlja svim stanjima sistema. Sistem aktivnog prigušenja vibracija je upravlјiv ako je integracijom senzora i aktuatora ostvarena mogunost da se prigušuju svi strukturalni modovi oscilovanja od interesa. U prethodnom poglavlju matematičkog modela osnovne strukture određeno je da su prva tri moda oscilovanja modovi od interesa za razvoj sistema [63-65].

Upravljivost celog sistema je kombinacija upravlјivosti svakog pojedinačnog moda oscilovanja. Teorija upravlјivosti aktivne strukture data je u Poglavlju 3.5 ove disertacije.

U ovom delu izvršena je analiza upravlјivosti, osmotrivosti i određivanje optimalnog položaja i orijentacije piezoelektričnog aktuatora integrisanog na pravougaonu aluminijumsku ploču definisani u Poglavlju 5.2 ove disertacije. Osnovne pretpostavke pri određivanju položaja i orijentacije integriranog aktuatora na ploču su: izabran Wheatstone-ov most kao senzorska platforma zbog svojih karakteristika nema uticaja na dinamičke karakteristike sistema, položaj piezoelektričnog aktuatora je izabrana da bude u zoni najvećih unutrašnjih deformacija, tj. napona ploče (slika 5.10)

Sa uvedenim prepostavkama optimizacija aktivne strukture je svedena na određivanje orijentacije piezoelektričnog aktuatora. Mekaničke karakteristike aluminijuma su date u tabeli 5.1, dok su karakteristike piezoelektričnog aktuatora MIDE QP 10W date u tabeli 5.3.



**Slika 5.10.** Pravougaona aluminijumska ploča sa integrisanim aktuatorom

**Tabela 5.3 – Karakteristike piezoelektričnog aktuatora MIDE QP10 W**

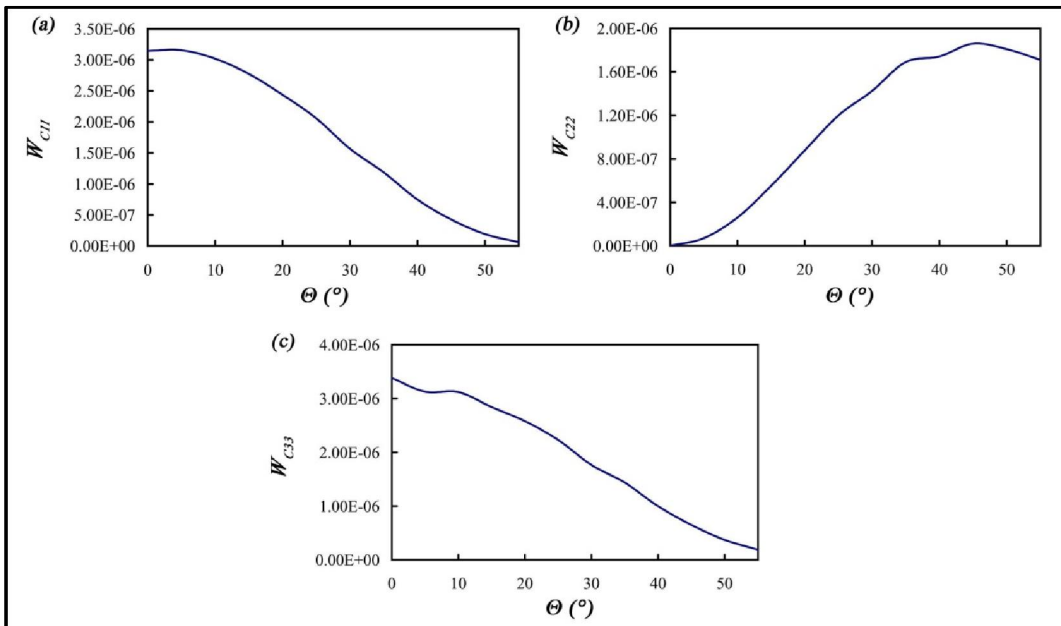
Karakteristika materijala	Vrednost
$E_1$	[GPa]
$E_2$	[GPa]
$G_{13}$	[GPa]
$G_{23}$	[GPa]
$\nu_{12}$	
	0.45
$\rho$	[kg/m <sup>3</sup> ]
$e_{31}$	[C/m <sup>2</sup> ]
$k_{33}$	[F/m]
	$4600$
	$9.41$
	$6.1 \times 10^{-9}$

Modovi od interesa za upravljanje strukturom su prva tri moda. Pristup fazi-optimizacije zasnovan na pseudologi koji funkciji predstavljen je u [64] i poglavlju 3.5 ovog rada. Objektivna funkcija (jedna ina 3.42) koja se mora maksimizovati može se napisati kao pseudologi ka funkcija u obliku fazi brojeva:

$$\text{maximize } W_{Cii} \quad i=1, K, N_C \quad 5.6$$

gde  $N_C$  predstavlja broj modova upravljanja.

Slika 5.11 predstavlja sopstvene vrednosti Grmmian-ove matrice upravlјivosti za prva tri moda u funkciji od ugla orijentacije.



**Slika 5.11.** Sopstvene vrednosti Grmmian-ove matrice upravlјivosti: (a) prvi mod, (b) drugi mod, (c) treći mod.

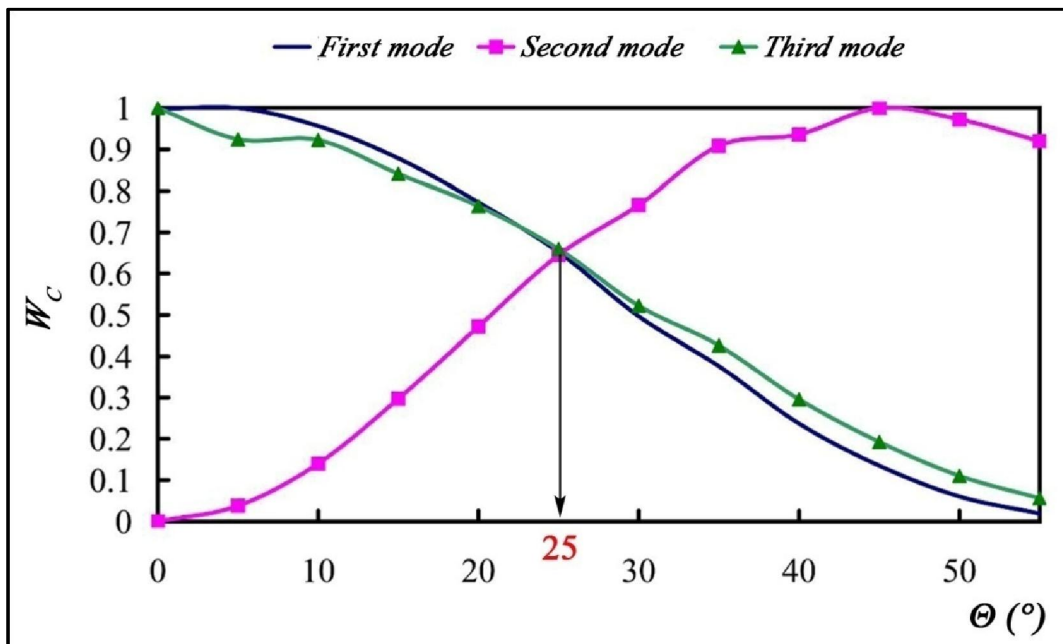
U skladu sa principom fazi odluke [66], fazi odluka definiše presek fazi ciljeva i optimalno rešenje  $\Theta^*$ , može biti izabrano maksimizacijom funkcije najmanjeg lana

$$\mu_D(\Theta^*) = \max \mu_D(\Theta) \quad 5.7$$

gde

$$\mu_D = \min_{i=1, K, N_C} \{\mu_{W_i}\} \quad 5.8$$

predstavlja funkciju lana optimalne odluke. Slika 5.12 predstavlja skup lanova upravljanja prva tri moda u funkciji ugla orijentacije. U skladu sa jedna inom 5.8 sa slike 5.12 se može zaključiti da je najbolje rešenje za orijentaciju aktuatora ugao,  $\Theta = 25^0$ , tj. najbolji ugao za postavljanje piezoelektričnog aktuatora MIDE QP 10W za upravljanje sa prva tri moda (I mod savijanja, I mod uvijanja i II mod savijanja) na definisanoj poziciji ploče (na polovini širine i dužini od 40 mm od uležištenja).



Slika 5.12. Skupni dijagram upravljanja u funkciji ugla orijentacije za prva tri moda.

Na osnovu dobijene vrednosti za orijentaciju aktuatora i zahteva da realizacija aktivne strukture što manje utiče na dinamike karakteristike celokupnog sistema, identificiranom metodom konačnih elemenata izvršeno je određivanje sopstvenih prirodnih frekvencija oscilovanja ploče sa aktuatorima i senzorima. Rezultati su dati u tabeli 5.4 i poređeni sa vrednostima iz tabele 5.2.

**Tabela 5.4 – Sopstvene frekvencije oscilovanja aktivne strukture (numeri ki rezultati)**

Modovi	Plo a, sopstvene frekvencije (Hz)	Aktivna struktura, sopstvene frekvencije (Hz)
<b>1</b>	<b>10.945</b>	<b>11.53</b>
<b>2</b>	<b>34.163</b>	<b>35.374</b>
<b>3</b>	<b>67.737</b>	<b>67.909</b>

Zaklju uje se da izabrani senzor i aktuator ne uti u zna ajno na dinami ke karakteristike izabranog strukturalnog elementa.

Na osnovu datog zaklju ka, a u skladu sa predloženom metodologijom i etapama u projektovanju sistema za aktivno prigušenje vibracija (poglavlje 5.2) stekli su se uslovi za projektovanje elementa za upravljanje (regulator), iji su polazni zahtevi definisani matemati kim modelom sistema.

## 5.5 Projektovanje sistema za upravljanje (regulator)

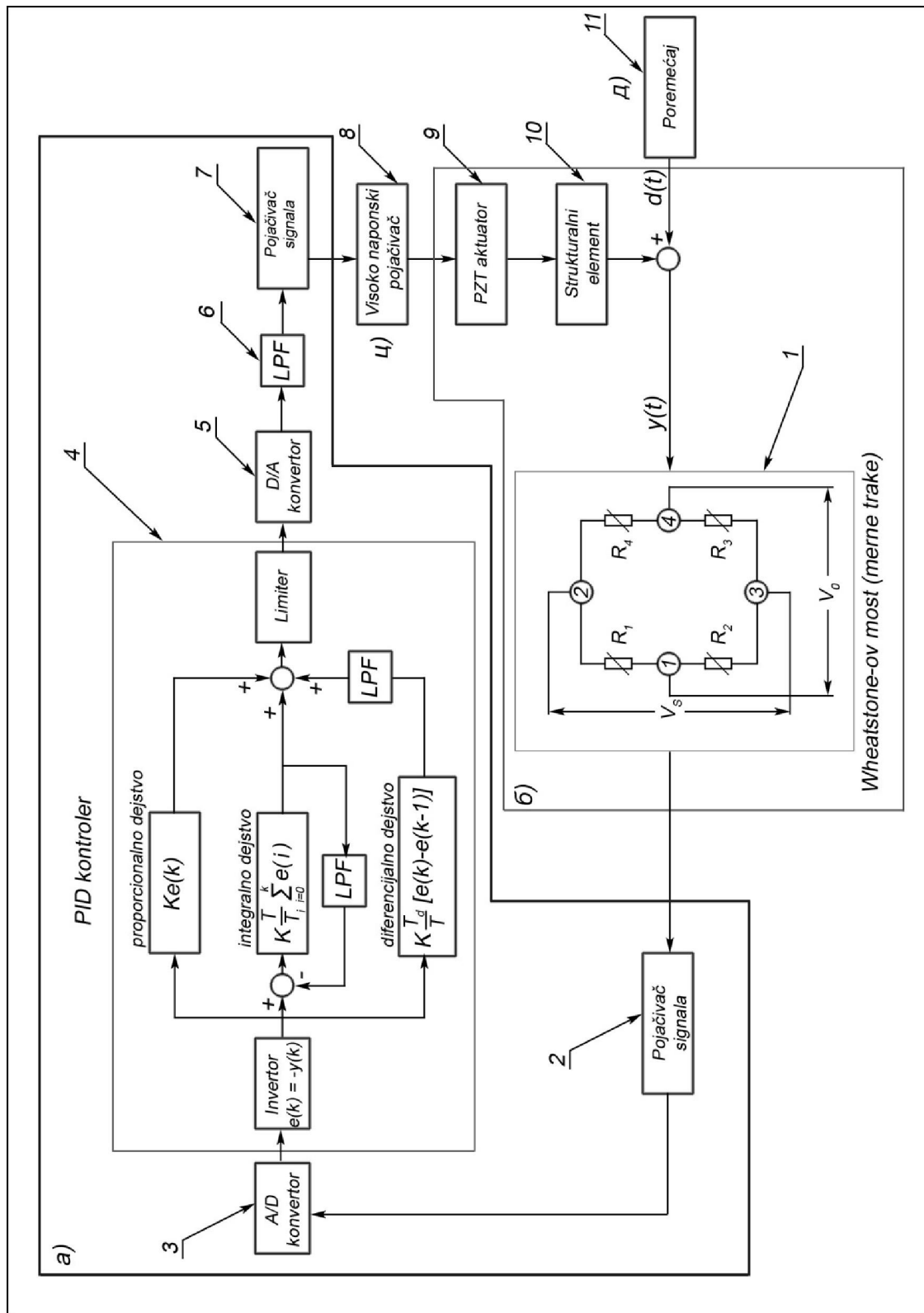
Nakon razvoja matemati kog modela i utvr ivanja karakteristika upravljivosti i osmotrivosti aktivne strukture može se pre i na projektovanje regulatora. Regulator treba da zadovolji slede e zahteve:

- Mora da obezbedi poja anje signala izmerenog sa mernih traka, kontrolni signal  $y(t)$ . Signal se iz oblasti milivolta poja ava u oblast volti,
- Referentna (željena) vrednost ocsilacija, tj. vibracija sistema je jednaka 0, odnosno željeno stanje sistema je stanje mirovanja,  $r(t)=0$ ,
- Greška sistema predstavlja negativnu vrednost kontrolnog signala,  $e(t) = -y(t)$ ,
- Mora da se izvrši konverzija analognog signala greške,  $e(t)$ , u digitalnu vrednost  $e(k)$ , A/D konverzija sa adekvatnom brzinom odabiranja,
- Brzina odabiranja mora da zadovolji minimalni zahtev po Nyquist-ovom kriterijumu. U slu aju izabrane pravougaone plo e najviša frekvencija od interesa je frekvencija tre eg moda od  $f = 67.9 \text{ Hz}$ , minimalna frekvencija odabiranja treba da bude ve a od  $f_{odab} = 2.56 \cdot f \approx 184 \text{ Hz}$ . Autor je izabrao

$f_{odab} = 1000\text{Hz}$ , kako bi smanjio efekat kašnjenja u povratnoj sprezi i spre io pojavu preslikavanja (anti-alliasing).

- Implementacija proporcionalno-diferencijalno-integralnog (PID) kontrolnog algoritma, koji odre uje digitalnu vrednost upravlja kog signala  $u(k)$ ,
- Konverzija digitalnog upravlja kog signala u analogni signal  $u(t)$ , D/A konverzija. Naponski opseg upravlja kog signala na izlazu iz regulatora je od -5 V do 5V,
- Poja anje upravlja kog signala na radni opseg piezoelektri nog aktuatora od -200 V do 200 V. Poja anje se vrši preko linearног naponskog poja iva a datog na slici 5.9 [61].

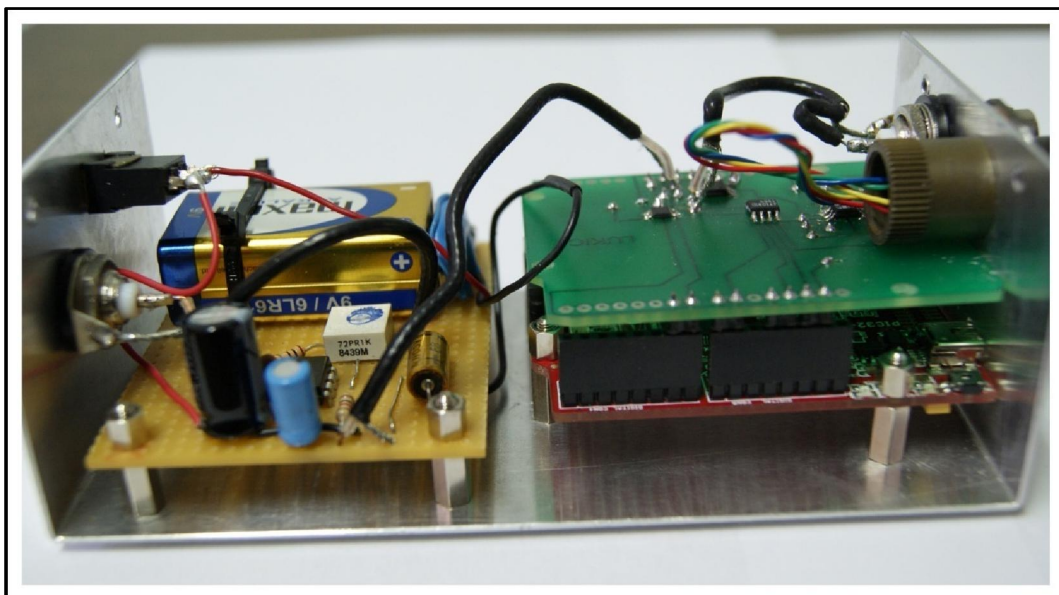
Blok dijagram isprojektovanog regulatora sa jednim ulazom i jednim izlazom dat je na slici 5.13. Na blok šemi je prikazana i modifikacija upravlja kog algoritma u proporcionalnom i integralnom dejstvu. U cilju spre avanja pojave zasi enja signala u integralnom dejstvu upravlja kog algoritma postavljena je interna povratna sprega sa niskopropusnim filterom prvog reda, a pojava visokofrekventnog šuma u diferencijalnom dejstvu se neutrališe postavljanjem niskopropusnog filtera prvog reda.



Slika 5.13. Blok dijagram projektovanog sistema za aktivno prigušenje vibracija

Na slici 5.13 predstavljena su 4 podsistema: a) regulator, b) aktivna struktura, c) linearni pojačivač napona i d) spoljašnji poremećaj.

Regulator sistema za aktivno prigušenje vibracija je realizovan na mikrokontrolerskoj platformi PIC32MX440F256H. Izgled realizovanog regulatora dat je na slici 5.14.



**Slika 5.14.** Izgled realizovanog kontrolera

Verifikacija razvoja sistema aktivnog prigušenja vibracija kao i opravdanost izbora elemenata, izbora položaja i orijentacije elemenata aktivne strukture biće realizovana u narednoj glavi ove disertacije.

# Glava 6

## **6 EKSPERIMENTALNA VERIFIKACIJA SISTEMA AKTIVNOG PRIGUŠENJA VIBRACIJA**

U ovoj glavi eksperimentalnim metodama izvršeno je utvrđivanje dinamičkih karakteristika aktivne strukture kao i celokupnog sistema aktivnog prigušenja vibracija. Komparativnom analizom rezultata dobijenih upotrebom numeričkih metoda i rezultata dobijenih u eksperimentima utvrđuje se efikasnost realizovanog sistema, kao i opravdanost primenjene metodologije i postupka razvoja sistema aktivnog prigušenja vibracija. Pored navedenog opštег cilja ove glave, eksperimentalnim postupcima utvrđuje se uticaj promene određenih parametara sistema na dinamičke karakteristike strukture.

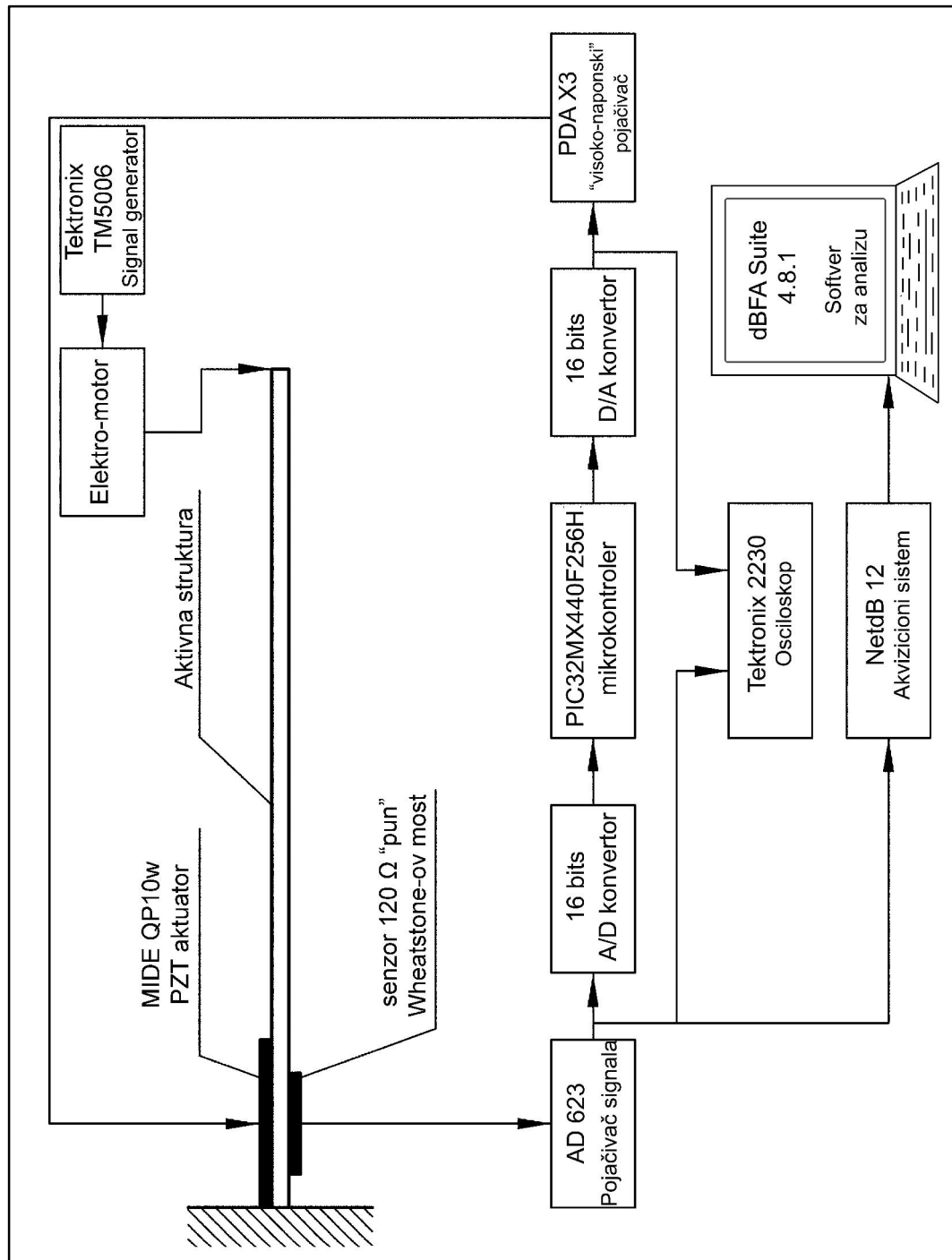
U cilju utvrđivanja dinamičkih karakteristika aktivne strukture razvijena je celokupna eksperimentalna postavka do nivoa prototipa.

### **6.1 Eksperimentalna postavka**

Kao što je pomenuto, eksperimentalna postavka za ispitivanje sistema aktivnog prigušenja vibracija strukturalnih elemenata je u potpunosti razvijena. Blok řema eksperimentalne postavke je data na slici 6.1.

Signal generator Tektronix TM5006 snabdeva naponom elektromotor koji preko sklopa ekcentričnih remenica vrši prinudne pobude aktivne strukture na sopstvenim modovima.

Kontrolni signal  $y(t)$ , odnosno greška sistema  $e(t)$ , se meri iza naponskog pojaiva a Wheatstone-ovog mosta. Izmereni signal, u cilju praenja stanja sistema, se distribuira na osciloskop Tektronix 2230, dok se sa sistemom NetdB 12 i pripadaju im softverom vrši akvizicija i snimanje podataka.



Slika 6.1. Blok šema eksperimentalne postavke

Upravlja ki signal  $u(t)$ , se meri iza PID kontrolera i distribuira se na drugi kanal osciloskopa Tektronix 2230.

Pored opreme prikazane na slici 6.1 u eksperimentalnoj postavci autor je koristio i više izvora napajanja jednosmernom strujom.

## 6.2 Eksperimentalna modalna analiza

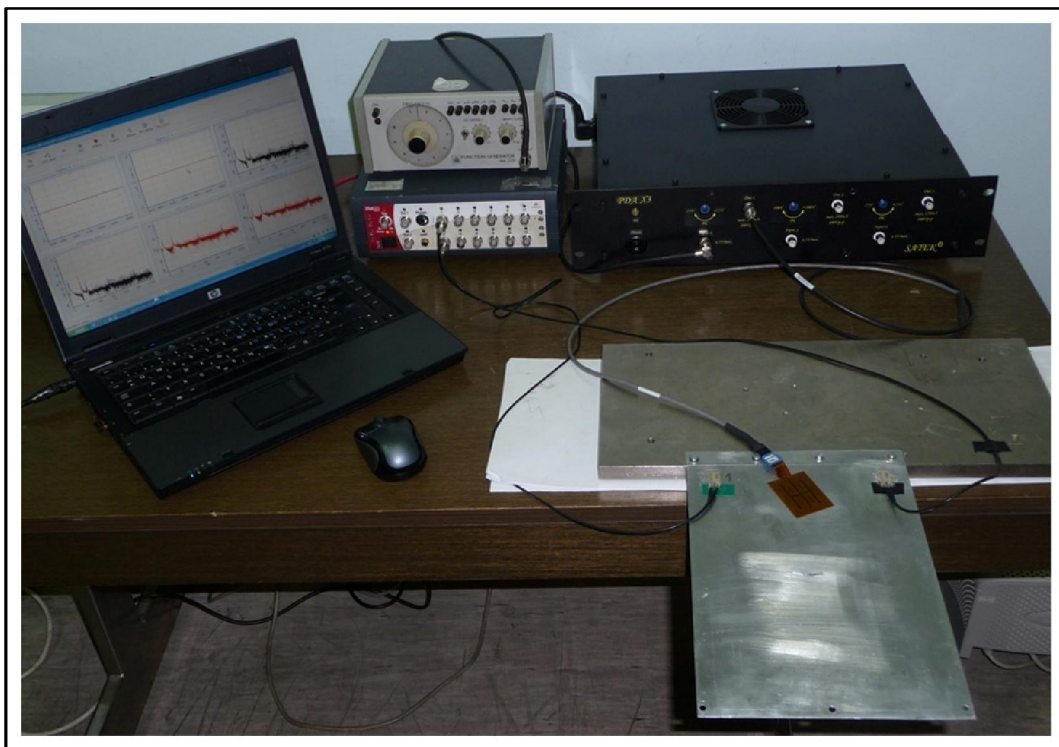
Eksperimentalna modalna analiza je proces koji definiše matemati ki model sistema u funkciji modalnih parametara. Modalni parametri sistema su: prirodna frekvencija ( $\omega_n$ ), prigušenje ( $\zeta$ ) i oblik moda ( $\{\psi\}$ ). Modalni parametri opisuju vibracione karakteristike strukture na osnovu eksperimenata i daje rezultate koji su esto druga iji od rezultata dobijenih konvencionalnim teorijskim analizama [67-69]. Osnovni razlog odstupanja terorijskih i eksperimentalnih rezultata je u injenici da se u teorijskim analizama ne uzimaju u obzir svi elementi formiranja realne strukture (lepkovi, veze itd...).

Postoji veliki broj standardnih testova koji se mogu upotrebljavati za odre ivanje modalnih parametara sistema. Jedna od naj eš e koriš enih tehnika je prebrisavanje frekvencije (*frequency sweep technique*), gde se struktura pobu uje sinusnom pobudom, konstantne amplitude ali promenjive frekvencije, odnosno frekvencija kontinualno raste i opada u definisanom opsegu. Druga i mnogo više koriš ena tehnika je tehnika impulsne pobude. Struktura se pobu uje poznatom impulsnom pobudom (Dirac impulse) i snima se funkcija frekventnog odziva (*frequency response function – FRF*) sistema, pikovi ove funkcije ozna avaju prirodne frekvencije sistema ( $\omega_n$ ), prigušenje sistema se ra una na osnovu pada amplitude na 50% (-3 dB) po etne vrednosti ( $\zeta$ ), a snimanjem odziva na više mesta i upotrebom tehnike „cross-spectrum“ dobijaju se oblici oscilovanja [70, 71].

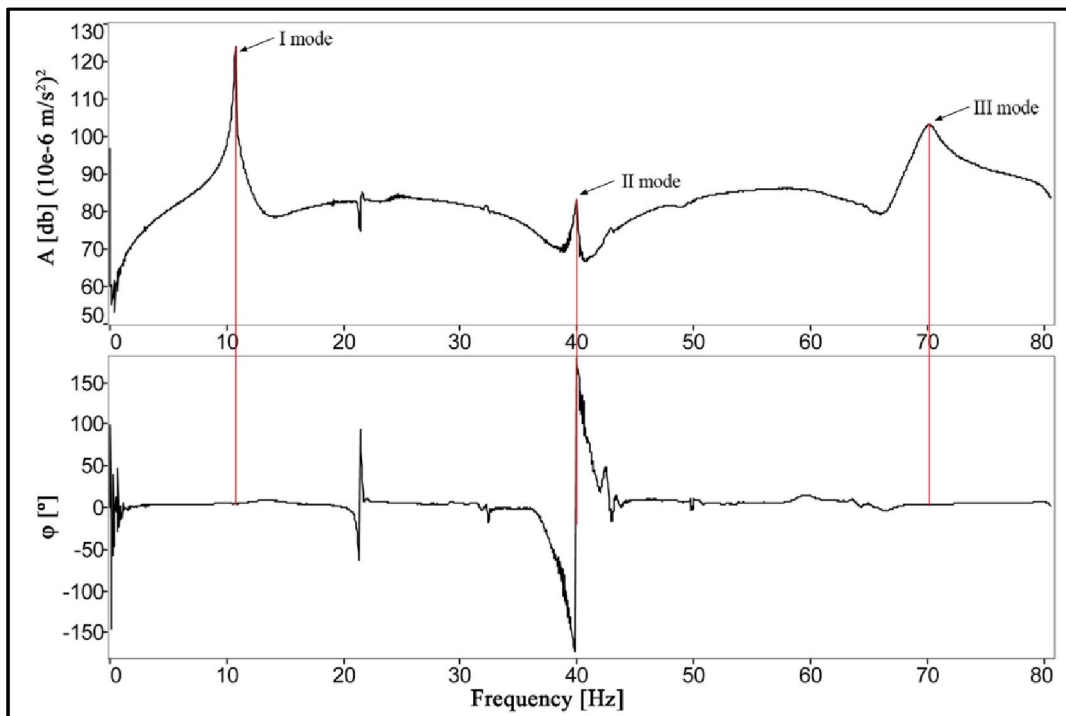
Za odre ivanje modalnih parametara pravougaone aluminijumske plo e, opisane u poglavlju 5.2 ove disertacije, koriš ena je metoda impulsne pobude. Prvo je odre ena funkcija frekventnog odziva plo e sa integrisanom senzorskom platformom. Senzorska platforma za ova ispitivanja su bila dva piezoelektri na PVDF senzora proizvo a a „Measurement Specialist“. Sa istom eksperimentalnom postavkom je vršeno utvr ivanje promene modalnih parametara nakon integracije piezoelektri nog aktuatora. Izgled

senzora i aktuatora integrisanih na osnovnu strukturu (aktivna struktura) sa eksperimentalnom postavkom prikazana je na slici 6.2.

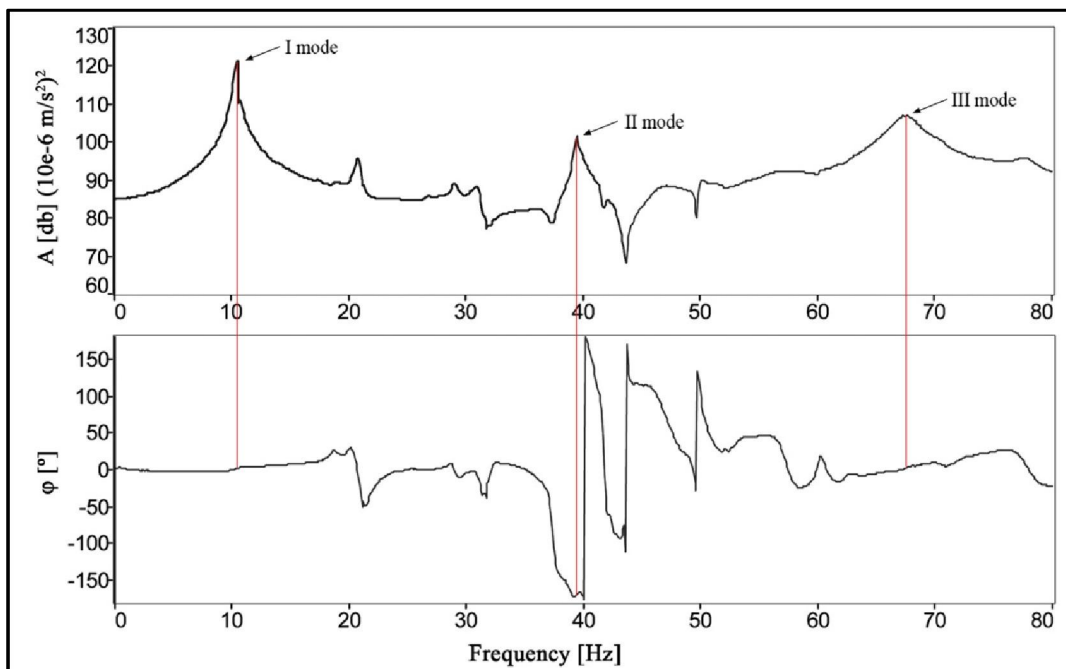
Funkcija frekventnog odziva i oblik oscilovanja ploče na impulsnu pobudu data je data je dijagramom prikazanim na slici 6.3, dok je na slici 6.4 prikazan dijagram funkcije frekventnog odziva ploče sa integrisanim aktuatorom.



**Slika 6.2.** Eksperimentalna postavka za određivanje modalnih parametara



Slika 6.3. Funkcija frekventnog odziva i oblik oscilovanja plo e



Slika 6.4. Funkcija frekventnog odziva i oblik oscilovanja plo e sa aktuatorom

Na osnovu podataka datih na slikama 6.3 i 6.4, kao i numeri kih rezultata dobijenih u tabelama 5.2 i 5.4 može se izvršiti analiza rezultata numeri kog i eksperimentalnog odreivanja sopstvenih modova oscilovanja izabranog strukturalnog elementa. Objedinjeni rezultati su dati u tabeli 6.1.

**Tabela 6.1 – Sopstvene frekvencije oscilovanja (porene rezultati)**

Modovi	Plo a, sopstvene frekvencije (Hz)		Aktivna struktura, sopstvene frekvencije (Hz)	
	numerici	eksperimentalni	numerici	eksperimentalni
I	10.95	10.84	11.53	10.58
II	34.16	39.97	35.37	39.78
III	67.74	70.28	67.91	67.64

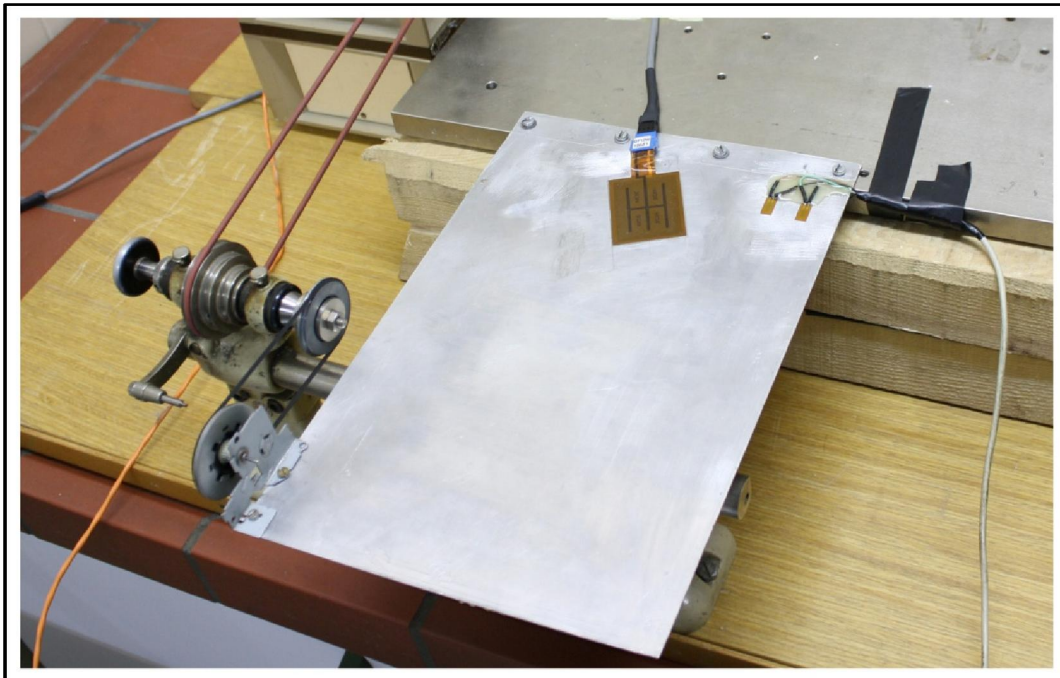
Na osnovu rezultata datih u tabeli 6.1 uočava se da postoje određene razlike između numeričkih i eksperimentalnih rezultata. Ova pojava se može objasniti time što se pri izradi aktivne strukture koriste određena vezivna sredstva (lepkovi) koja nisu uzeta u obzir pri numeričkoj analizi. Međutim, uočava se da u numeričkim rezultatima između plohe i aktivne strukture, vrednosti sopstvenih frekvencija oscilovanja su veće za aktivnu strukturu, što praktično znači da krutost integrisanih elemenata ima veći doprinos u odnosu na dodatu masu elemenata. U slučaju realne strukture ovaj odnos je drugačiji: dodata masa ima veći uticaj u odnosu na krutost pojedinih elemenata na strukturu, pa sopstvene frekvencije oscilovanja imaju manje vrednosti za aktivnu strukturu, uticaj vezivnih elemenata koji nisu uzeti u obzir pri numeričkom proračunu.

Uzimajući u obzir zahtev, dat u poglavljju 5.3, uočava se da integracija senzora i aktuatora ne narušava dinamičke karakteristike osnovne strukture.

### 6.3 Koeficijent prigušenja aktivne strukture

U ovom poglavljiju izvršiće se određivanje koeficijenta prigušenja ( $\zeta$ ) vibracija aktivne strukture. Aktivna struktura podrazumeva integraciju Wheatstonove-ovog mosta kao senzorske platforme i piezoelektričnog aktuatora na pravougaonu aluminijumsku plohu, definisana je u glavi 5. Izgled realizovane aktivne strukture je dat na slici 6.5, i u daljem razmatranju uspešnosti razvoja sistema aktivnog upravljanja vibracija

razmatra se data konfiguracija. Modovi oscilovanja zbog integracije dodate mase remenice i remena se biti promenjeni u odnosu na sopstvene frekvencije oscilovanja date u tabeli 6.1. Sopstveni modovi oscilovanja razmatrane strukture su:  $f_I = 9.61 \text{ Hz}$  i  $f_{II} = 30.09 \text{ Hz}$ .

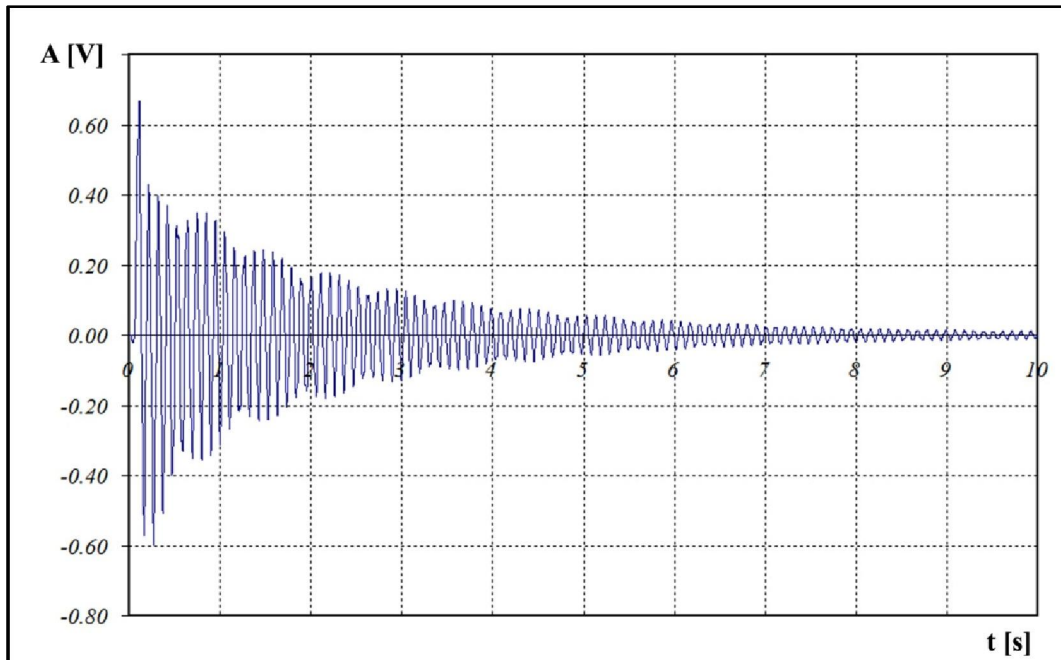


**Slika 6.5.** Aktivna struktura za eksperimentalnu verifikaciju sistema

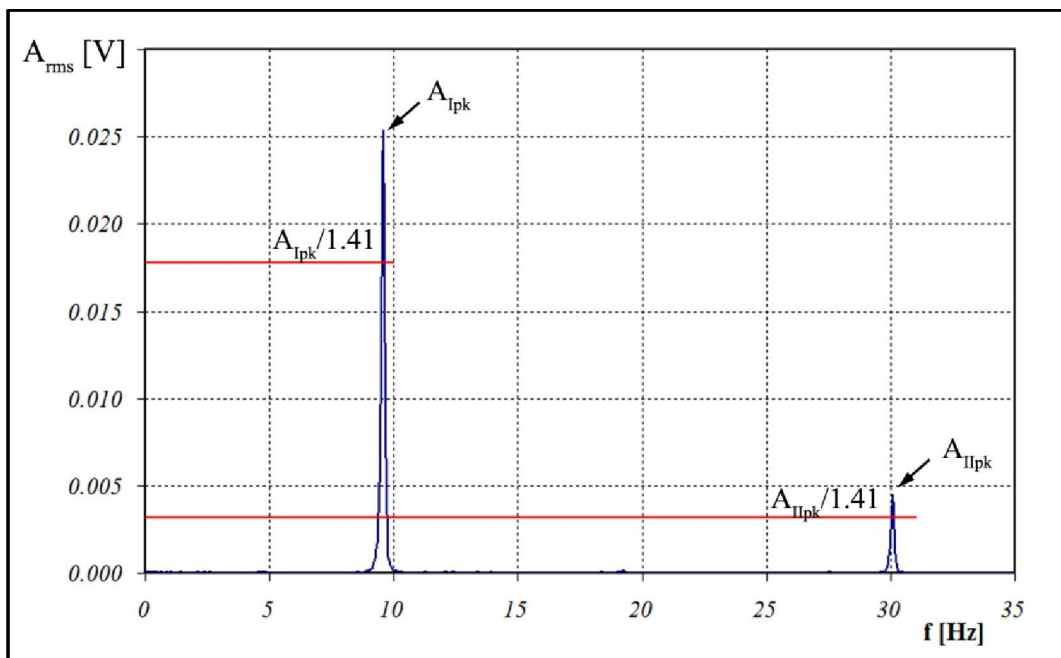
Postoji veliki broj metoda za određivanje koeficijenta prigušenja vibracija sistema. Najčešće korištene metode su: metoda logaritamskog slabljenja „Logarithmic decrement method“ i metoda propusnog opsega polovine snage „half-power bandwidth method“. U ovom radu prigušenje sistema određiva se na osnovu frekventnog spektra upotrebom metode propusnog opsega polovine snage [72-74].

Upotreba ove metode se zasniva na određivanju funkcije frekventnog odziva, kao što je dato na slikama 6.3 i 6.4. Za svaku sopstvenu frekvenciju sistema postoji odgovarajući pik amplitude. Za svaku amplitudu određuju se dve frekvencije sa leve i desne strane kojima odgovaraju vrednosti pada amplitude od 3 dB. Većem koeficijentu prigušenja odgovara veći frekventni opseg između donje i gornje vrednosti frekvencija. Propusni opseg polovine snage je definisan kao odnos frekventnog opsega između dva peka sa polovinom snage i priridne frekvencije odgovarajućeg moda.

Vremenski zapis slobodnih oscilacija aktivne strukture date na slici 6.5 dat je dijagramom na slici 6.6, dok je na slici 6.7 data funkcija frekventnog odziva aktivne strukture.



**Slika 6.6.** Slobodne oscilacije aktivne strukture – vremenski domen



**Slika 6.7.** Slobodne oscilacije aktivne strukture – frekventni domen

Koeficijent prigušenja strukture su izrađena na osnovu sledeće jednačine:

$$\zeta = \frac{\omega_2 - \omega_1}{2\omega_n} \quad 6.1$$

Upotreboom jednačina 3.6, 3.15, 6.1, kao i podataka dobijenih za prva dva moda oscilovanja aktivne strukture datih na slici 6.7, mogu se odrediti prigušenja strukture. Rezultati koeficijenata prigušenja strukture su dati u tabeli 6.2.

**Tabela 6.2 – Koeficijenti prigušenja aktivne strukture**

Mod	Aktivna struktura			
	$\omega_n$	$\omega_2$	$\omega_1$	$\zeta$
I	60.38	60.62	59.76	0.0071
II	189	189.46	188.68	0.0021

Da bi se odredilo prigušenje aktivne strukture u procesu upravljanja sistemom potrebno je podešiti koeficijente PID regulatora, i to: proporcionalno  $K_P$ , integralno  $K_i$  i difrenčijalno pojam  $K_D$ . Podešavanje koeficijenata PID regulatora je izvršeno upotreboom metode Ziegler-Nicholsa [50, 75-77].

#### 6.4 Podešavanje PID regulatora

Prednost Ziegler-Nicholsove metode određivanja koeficijenata pojamanjem faktora PID regulatora je u tome što se mogu odrediti koeficijenti za 4 tipa upravljanja sistema aktivnog prigušenja vibracija, i to: proporcionalni (P), proporcionalno-diferencijalni (PD), proporcionalno-integralni (PI) i proporcionalno-integralno-diferencijalni (PID) regulator.

Bez obzira na tip primjenjenog regulatora (P, PD, PI ili PID) u eksperimentu se najpre isključi integralno (I) i diferencijalno (D) dejstvo postavljanjem vremenske konstante  $T_i$  na maksimalnu vrednost (ili  $K_i = 0$ ) i  $T_d = 0$  (ili  $K_d = 0$ ). Pri tome se faktor proporcionalnog dejstva,  $K_P$  postavlja na neku malu vrednost pri kojoj je

kontura regulacije stabilna. Zatim se u malim iznosima korak po korak poveava  $K_P$ , u svakom koraku izaziva poremećaj i na regulatoru snima regulisana promenljiva. Eksperiment se ponavlja sve dok se u nekom koraku kontura ne nađe na oscilatornoj granici stabilnosti. U ovom slučaju regulisana promenljiva utiče na kretanje strukture periodičnim oscilacijama konstantne amplitude. Dostignuta vrednost pojava anja se naziva kritično pojava anje,  $K_{kr}$ , a vreme između dva sucesivna maksimuma u oscilacijama regulisane promenljive se naziva kritična perioda,  $T_{kr}$ .

Opisanim postupkom eksperimentalnog određivanja koeficijenata PID regulatora i funkcionalnih veza datih u tabeli 4.4, dobijene su vrednosti pojava anja prikazane u tabeli 6.3:

**Tabela 6.3 – Koeficijenti PID regulatora određeni Ziegler-Nichols-ovom metodom**

Tip regulatora	$K_P$	$K_i$	$K_d$
P	5.9	-	-
PI	5.3	0.0101	-
PID	7.1	0.0061	70.46

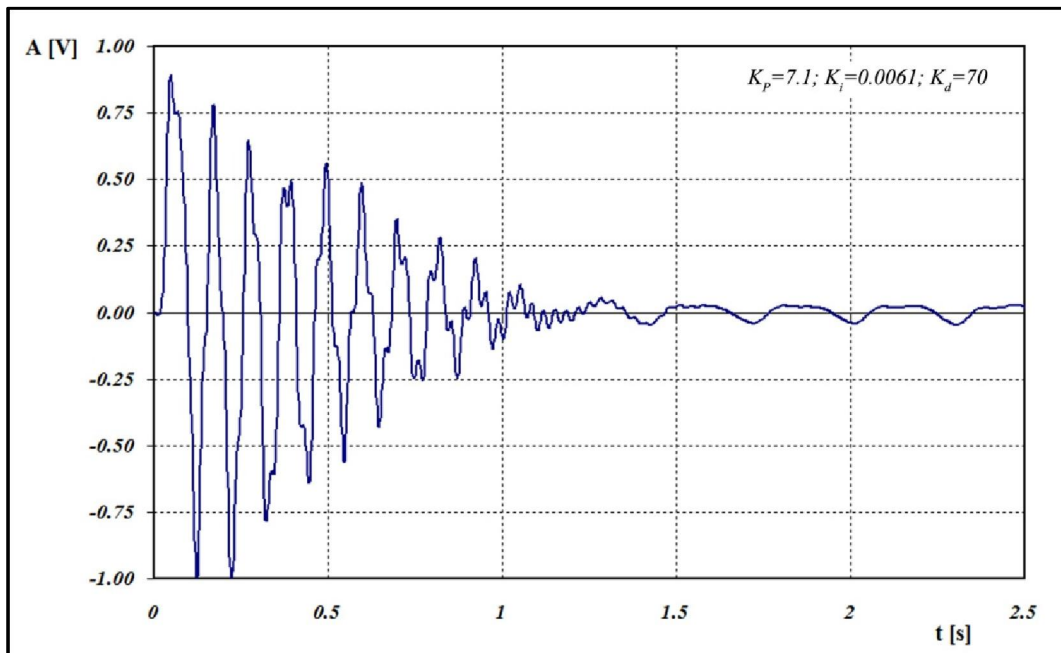
U zavisnosti od dobijenih rezultata može se vršiti i ručno podešavanje koeficijenata pojava anja PID regulatora, u cilju dobijanja što boljih rezultata aktivnog prigušenja aktivne strukture uz uslov da se ne naruše margine stabilnosti.

## 6.5 Aktivno prigušenje slobodnih vibracija sistema

Provera rada sistema aktivnog prigušenja slobodnih vibracija, vršeno je statikom otklonom slobodnog kraja ploče za 20 mm. Oscilacije (vibracije) sistema se javljaju nakon pomeranja sile sa kraja ploče [78]. Eksperimenti su vršeni sa tri tipa regulatora: PID, PI i PD. Vreme umirenja aktivne strukture bez upravljanja je dato na slici 6.6, dok su koeficijenti prigušenja za prva dva moda data u tabeli 6.2.

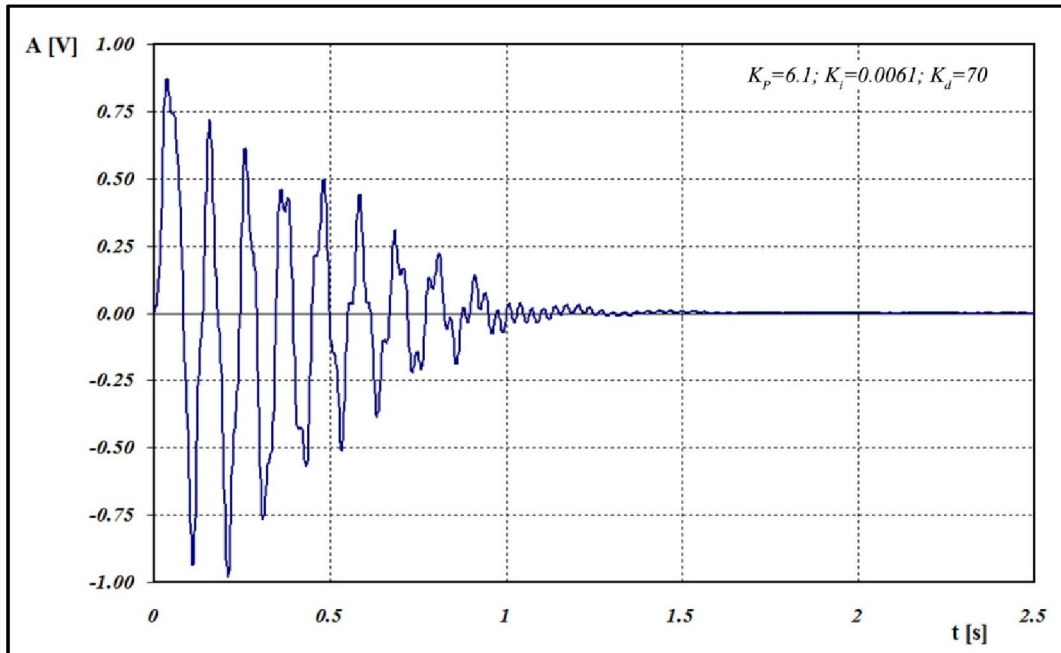
Koeficijenti pojava anja PID, PD i PI su ručno podešavani sa ciljem da se dobije što kraće vreme umirenja strukture, odnosno što veći koeficijent prigušenja.

Prvi test je izvršen sa PID regulatorom slede ih koeficijenata poja anja:  $K_p = 7.1$ ,  $K_i = 0.0061$  i  $K_d = 70$ .



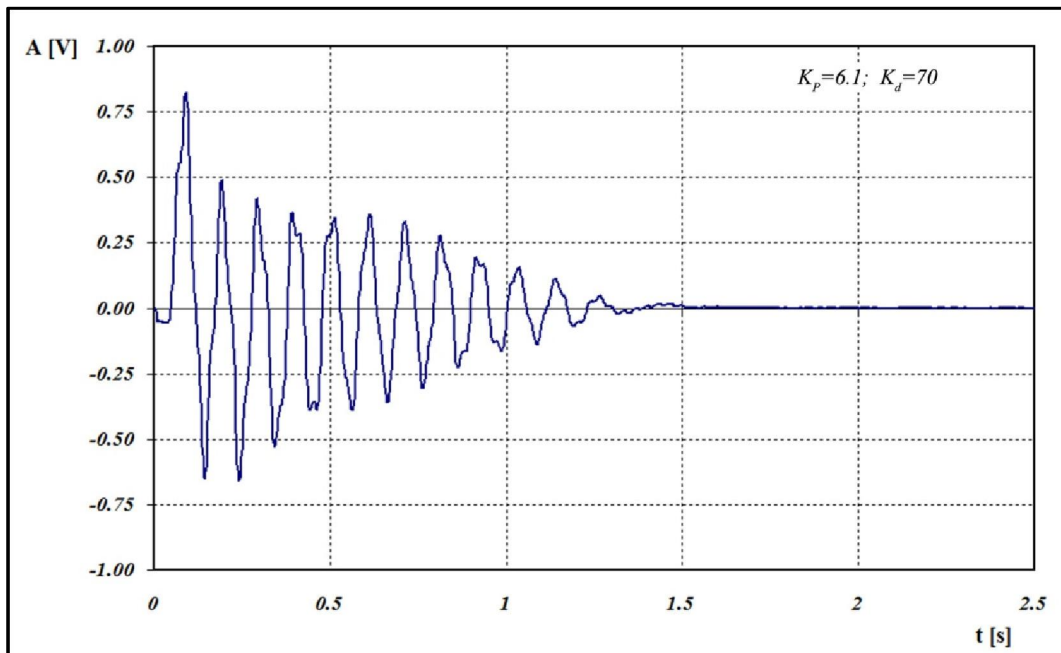
**Slika 6.8.** Slobodne oscilacije sa PID upravljanjem:  $K_p=7.1$ ,  $K_i=0.0061$  i  $K_d=70$

Na dijagramu datom na slici 6.8 se uočava određena nestabilnost (od  $t=1.3$  s), odnosno upravljava posle poremećaja iz stanja mirovanja se ne vraća u prvobitno stacionarno stanje, već nastavlja sa oscilovanjem. Izabrani koeficijenti PID regulatora nisu adekvatno podešeni, potrebno je izvršiti dodatno podešavanje.

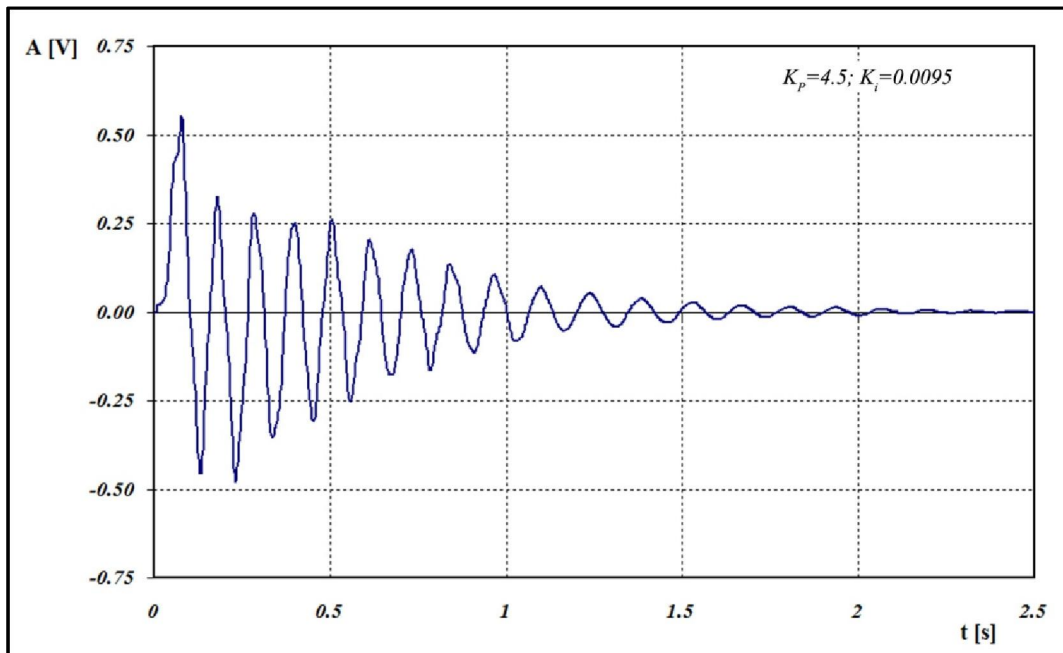


**Slika 6.9.** Slobodne oscilacije sa PID upravljanjem:  $K_p=6.1$ ,  $K_i=0.0061$  i  $K_d=70$

Slika 6.9 predstavlja slobodne oscilacije aktivne strukture sa PID regulatorom slede ih pojava:  $K_p = 6.1$ ,  $K_i = 0.0061$  i  $K_d = 70$ . Istim postupkom utvrđeni su najbolji koeficijenti prigušenja PD i PI regulatora, slika 6.10 i slika 6.11, respektivno.

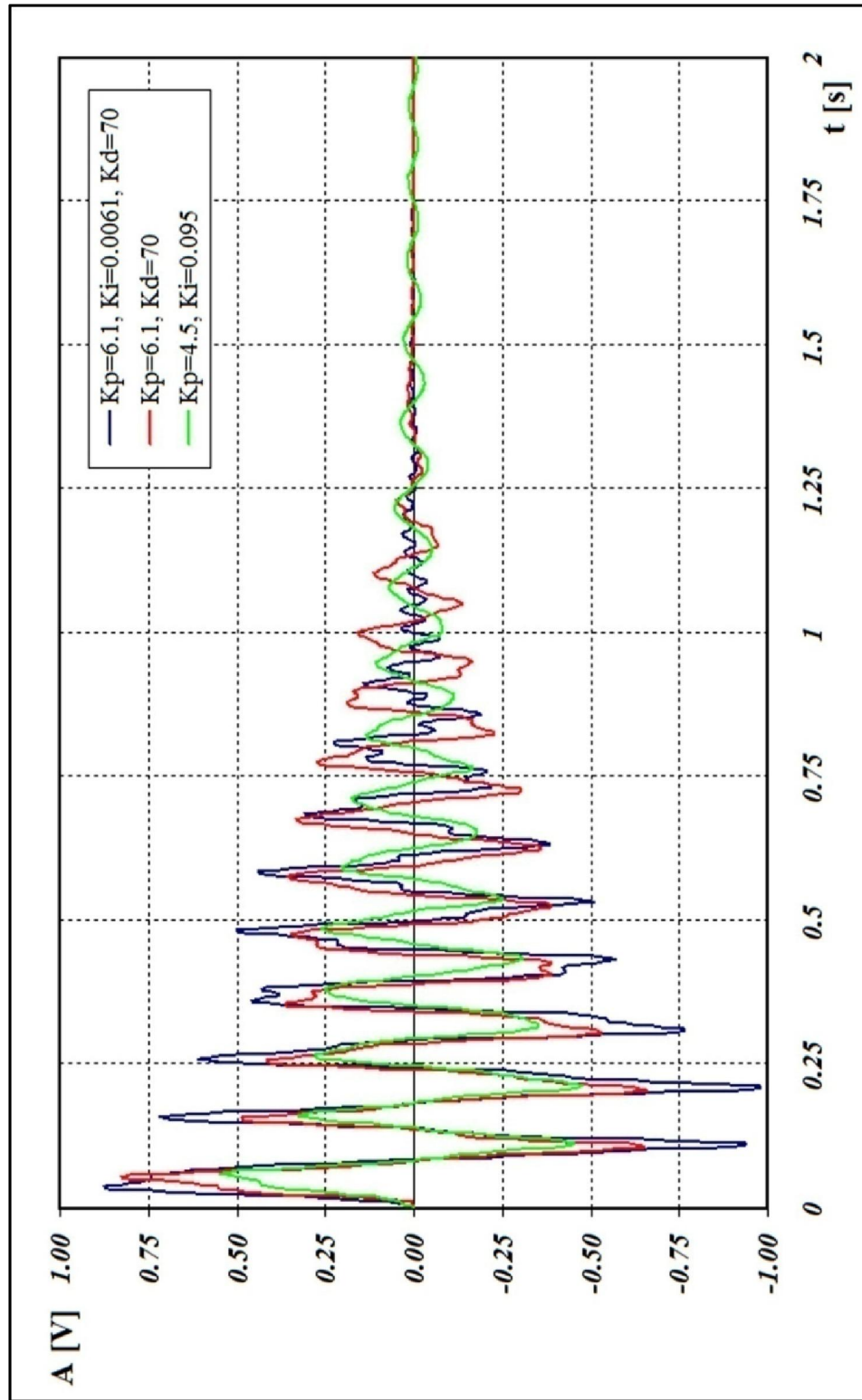


**Slika 6.10.** Slobodne oscilacije sa PD upravljanjem:  $K_p=6.1$  i  $K_d=70$



Slika 6.11. Slobodne oscilacije sa PI upravljanjem:  $K_p=4.5$  i  $K_i=0.0095$

Objedinjavanjem dijagonala datih na slikama 6.9 – 6.11 može se utvrditi efikasnost PID, PD, PI regulatora. Skupni dijagram dat je na slici 6.12.



Slika 6.12. Slobodne oscilacije PID, PD i PI tipa regulacije

Sa dijagrama datog na slici 6.12 se može zaključiti da je PID regulatoru potrebno najkraće vreme za vraćanje strukture u prvobitno stacionarno stanje (stanje

mirovanja),  $T=1.2$  sekundi. PD regulatoru je potrebno  $T=1.4$  sekundi, dok je PI regulatoru potrebno  $T=2.2$  sekundi. U odnosu na vreme umirenja aktivne strukture bez sistema upravljanja (slika 6.6),  $T=10$  sekundi, može se zaključiti da sva tri tipa regulatora imaju visoku efikasnost prigušenja vibracija. Za verifikaciju ovog sistema potrebno je izvršiti i proračun koeficijenta prigušenja,  $\zeta$ , aktivne strukture za sva tri tipa regulatora i uporediti ih sa vrednostima aktivne strukture bez regulacije (tabela 6.2). Postupak određivanja koeficijenta prigušenja je izvršen upotrebom metode metoda propusnog opsega polovine snage „half-power bandwidth method“, opisanog u poglavlju 6.3 ove disertacije.

Rezultati koeficijenata prigušenja aktivne strukture sva tri tipa regulatora (PID, PD i PI) su dati u tabeli 6.4.

**Tabela 6.4 – Koeficijenti prigušenja aktivne strukture sa PID, PD i PI regulatorom**

Mod	Prigušenje aktivne strukture, $\zeta$			
	bez upravljanja	PID	PD	PI
I	0.0071	0.0626	0.0496	0.0437
II	0.0021	0.0146	0.0141	0.0142

Vrednosti koeficijenata prigušenja, dati u tabeli 6.4, potvrđuju da se upotrebom sistema aktivnog prigušenja sa različitim tipovima regulacije povećavaju koeficijenti prigušenja strukture, što je u saglasnosti sa vremenom dobijenim za umirenje aktivne strukture. Upotreba PID, PD i PI regulatora razlikuje se na prvi mod oscilovanja, dok je koeficijent prigušenja aktivne strukture za drugi mod oscilovanja približno jednak bez obzira na tip izabranog regulatora. Ova injenica se objašnjava pozicijom i orijentacijom piezoelektričnog aktuatora i lokalnim povećanjem krutosti u poprečnom pravcu ploče, tj. za efikasnost regulatora u poprečnom pravcu (uvijanje – II mod oscilovanja) potrebno je izvršiti dodatno podešavanje koeficijenata PID regulatora.

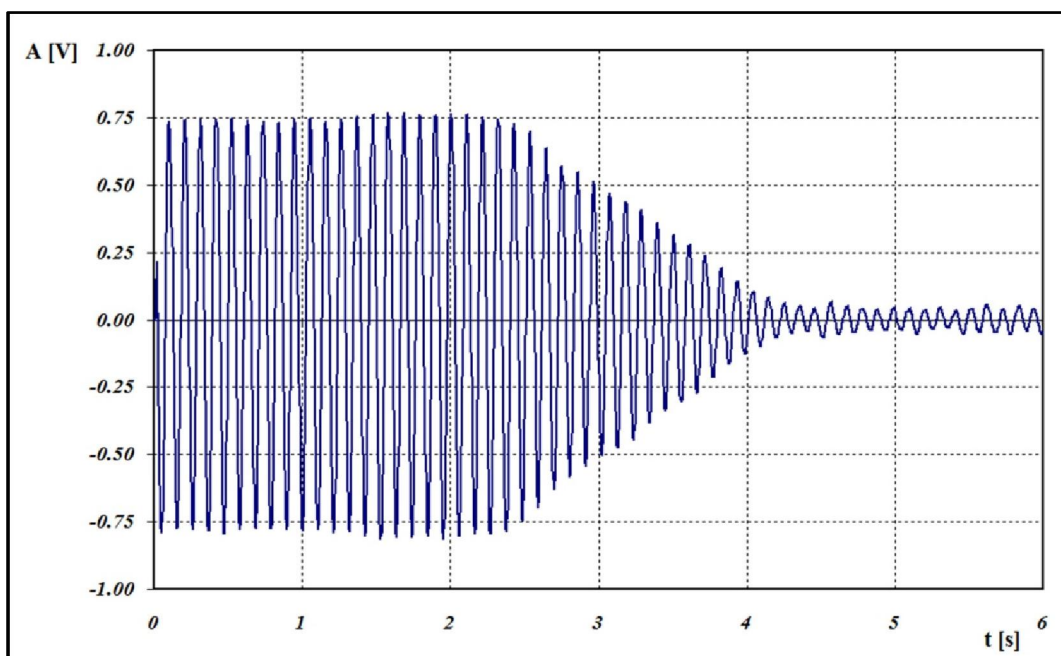
U nekim mehaničkim sistemima, zahtev za umirenje strukture nakon udara je prioritet sistema aktivnog prigušenja vibracija [78-80]. Međutim, u nekim mehaničkim sistemima je okružena prinudnim silama koje dejstvuju na sistem, kod vazduhoplova su to aerodinamičke sile, reaktivne sile pogonskih elemenata (motor, reduktor, elise, itd...). Sa

ovog aspekta neophodno je utvrditi efikasnost predloženog sistema aktivnog upravljanja u slučaju kada na sistem deluju prinudne sile.

## 6.6 Aktivno prigušenje prinudnih vibracija sistema

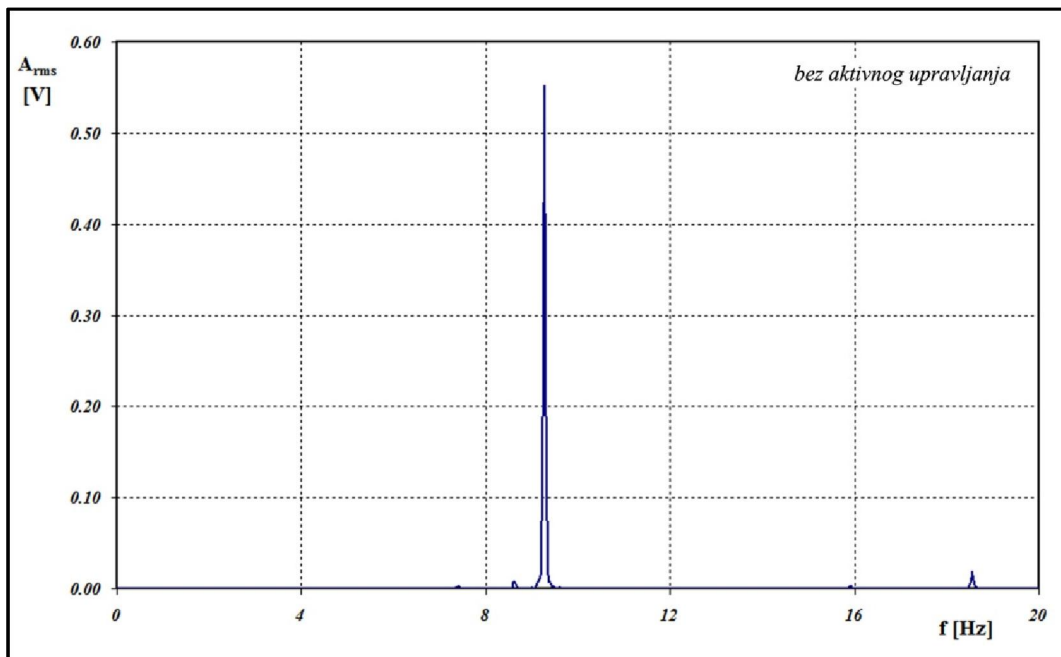
Provera rada sistema aktivnog prigušenja prinudnih vibracija, vršeno je periodičnom pobudom aktivne strukture (slika 6.5) na frekvenciji vrlo bliskoj prvoj prirodnoj frekvenciji (prvom modu oscilovanja). Pobuda je zadavana elektromotorom koji je preko ekcentrične remenice povezan sa remenicom na aktivnoj strukturi. Eksperiment je vršen sa PID regulatorom [78].

Na slici 6.13 prikazan je dijagram prelaznog režima vibracija pri uključenju sistema aktivnog upravljanja vibracijama sa PID regulatorom. Period koji je potreban za uspostavljanje novog stanja sistema iznosi oko 2 sekunde. Uspostavljeno stanje sistema nikada nije biti jednak željenom stanju, tj. stanju mirovanja kada je sistem izložen uticaju periodičnih spoljašnjih sila.

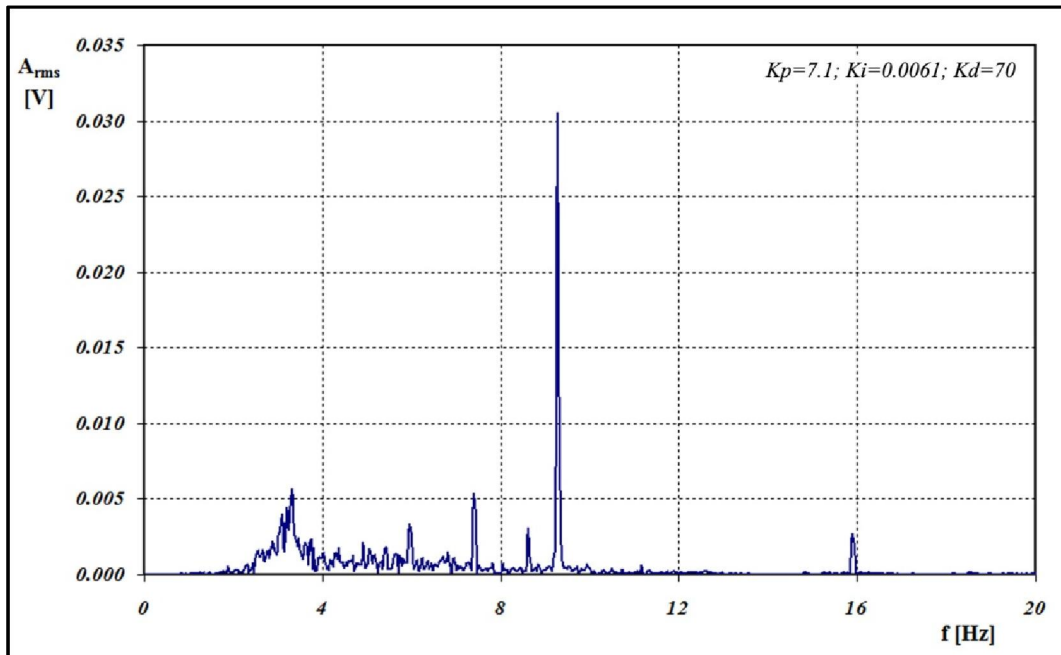


Slika 6.13. Prelazni period između neuravljane i upravljane strukture

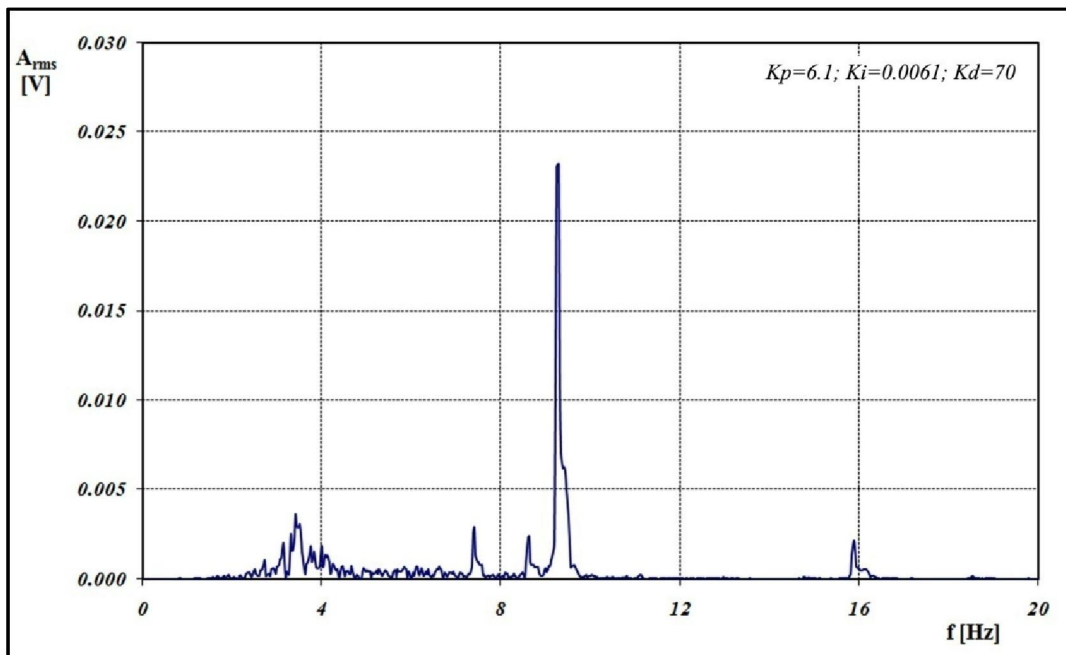
Frekventni spektar vibracija neupravljane strukture dat je na slici 6.14, dok su frekventni spektri vibracija upravljane strukture sa različitim koeficijentima pojava dani na slikama 6.15 do 6.21.



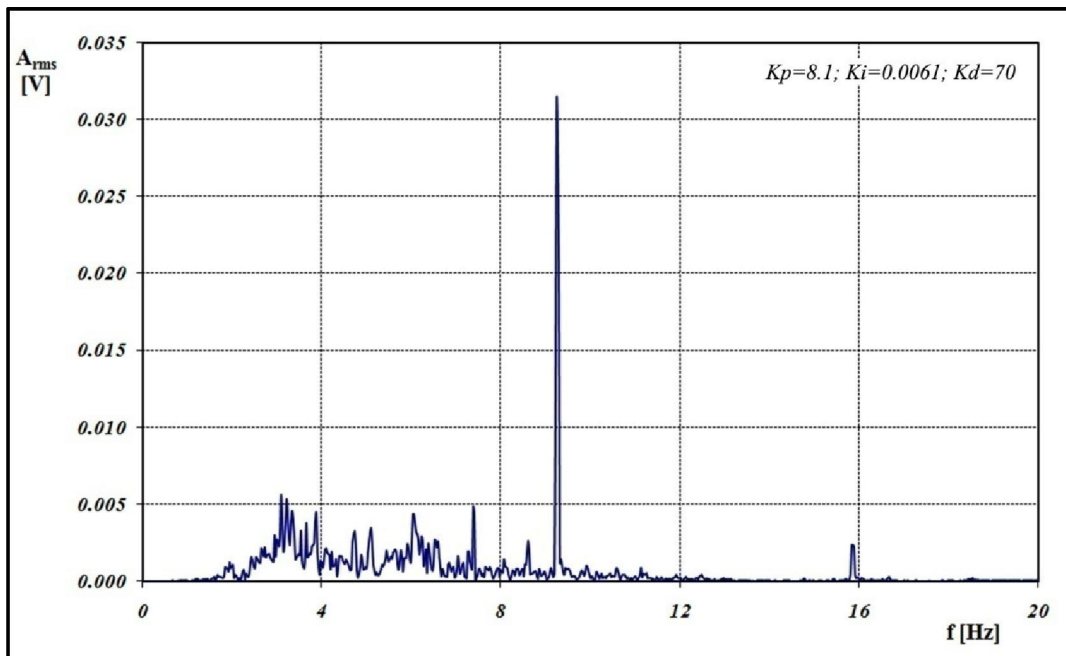
Slika 6.14. Frekventni spektar aktivne strukture bez aktivnog upravljanja



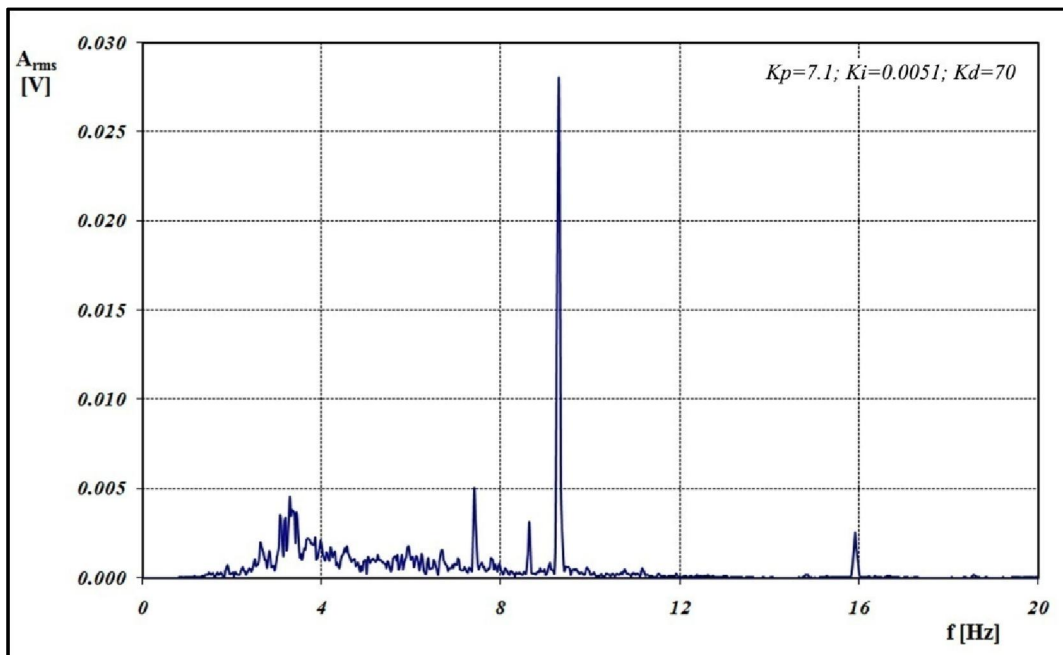
Slika 6.15. Frekventni spektar aktivne strukture sa PID regulatorom:  $K_p=7.1$ ,  $K_i=0.0061$  i  $K_d=70$



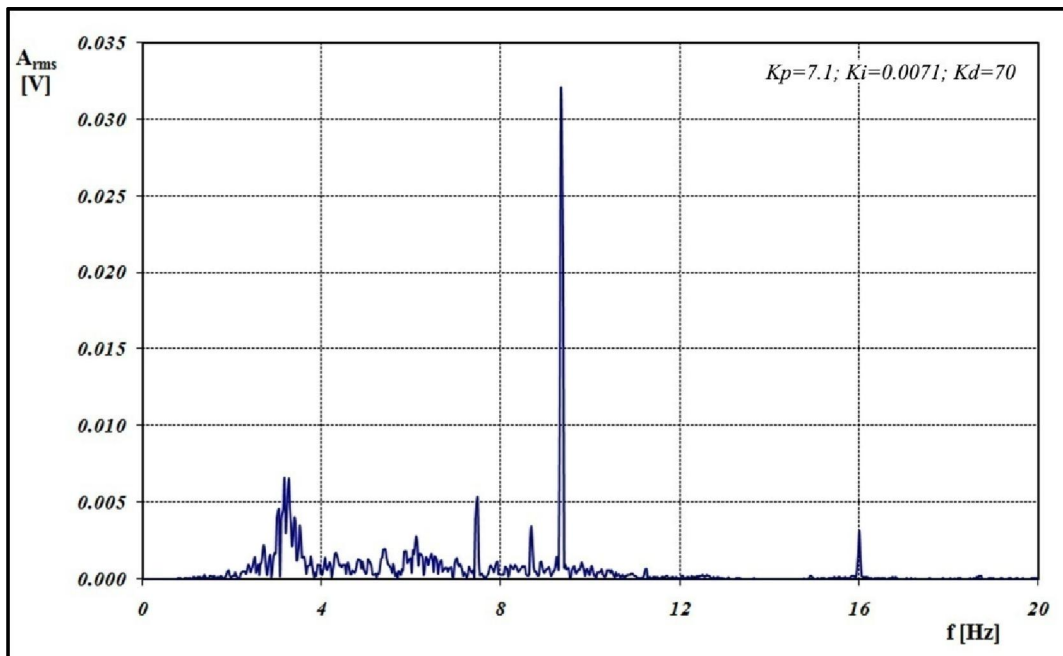
Slika 6.16. Frekventni spektar aktivne strukture sa PID regulatorom:  $K_p=6.1$ ,  $K_i=0.0061$  i  $K_d=70$



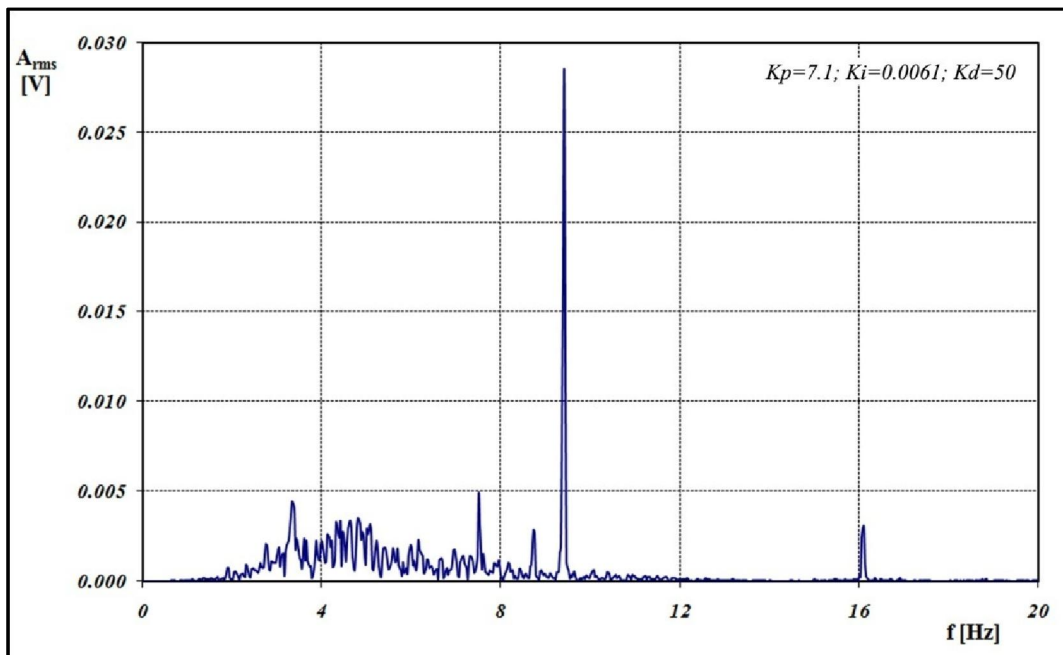
Slika 6.17. Frekventni spektar aktivne strukture sa PID regulatorom:  $K_p=8.1$ ,  $K_i=0.0061$  i  $K_d=70$



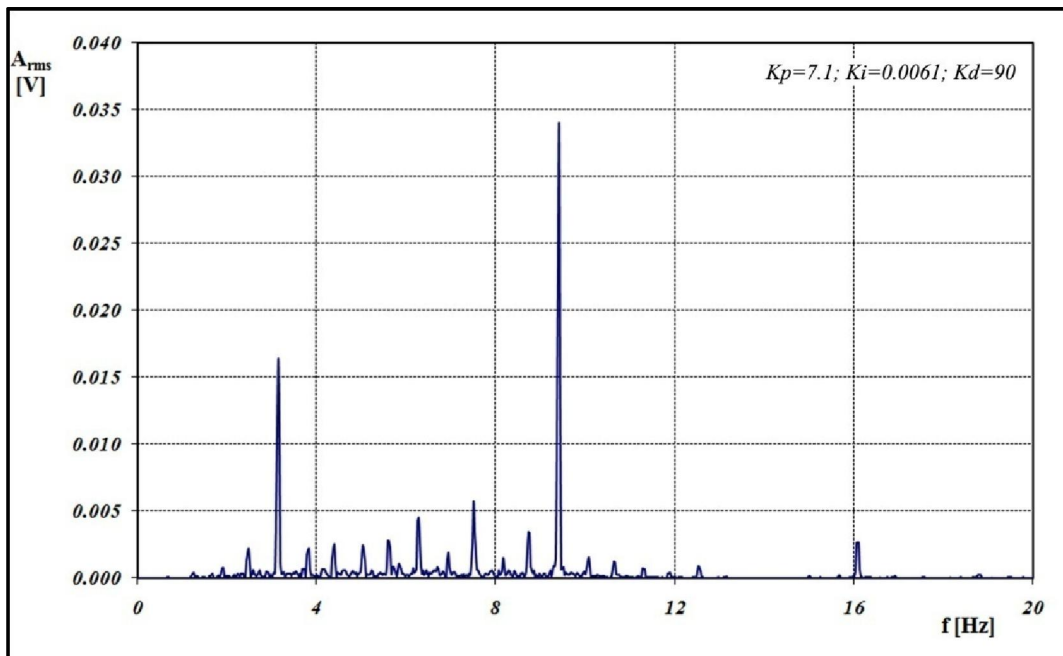
Slika 6.18. Frekventni spektar aktivne strukture sa PID regulatorom:  $Kp=7.1$ ,  $Ki=0.0051$  i  $Kd=70$



Slika 6.19. Frekventni spektar aktivne strukture sa PID regulatorom:  $Kp=7.1$ ,  $Ki=0.0071$  i  $Kd=70$



Slika 6.20. Frekventni spektar aktivne strukture sa PID regulatorom:  $Kp=7.1$ ,  $Ki=0.0061$  i  $Kd=50$



Slika 6.21. Frekventni spektar aktivne strukture sa PID regulatorom:  $Kp=7.1$ ,  $Ki=0.0061$  i  $Kd=90$

Rezultati dobijeni u eksperimentima za različite koeficijente pojačanja PID regulatora (slika 6.14 – 6.21) dati su u tabeli 6.5.

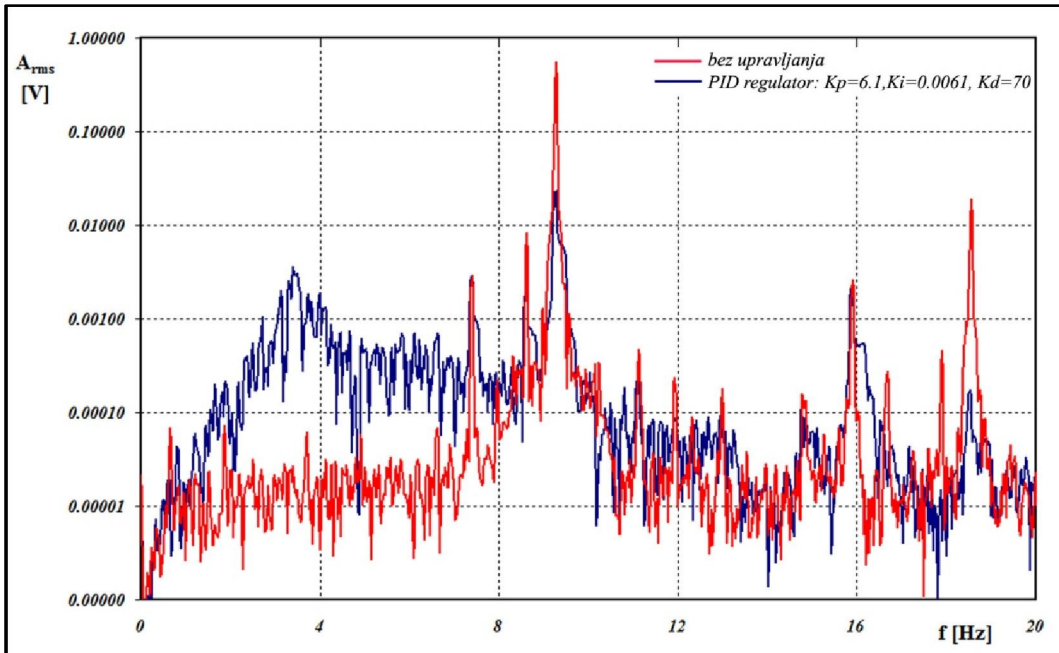
**Tabela 6.5** – Amplituda kontrolnog signala sistema sa različitim koeficijentima pojačanja PID regulatora

Kp	Ki	Kd	$A_{rms}$ (mV)	Smanjenje $A_{rms}$ (%)	$A_{rms}$ (dB)	Smanjenje $A_{rms}$ (dB)
Uncontrolled			485.70	/	-6.3	/
7.1	0.0061	70.46	27.72	94.29	-31.1	24.8
6.1	0.0061	70.46	25.18	94.82	-32.0	25.7
8.1	0.0061	70.46	31.87	93.44	-29.9	23.7
7.1	0.0051	70.46	28.42	94.15	-30.9	24.6
7.1	0.0071	70.46	32.64	93.28	-29.7	23.4
7.1	0.0061	50.46	28.85	94.06	-30.8	24.5
7.1	0.0061	90.46	34.90	92.81	-29.1	22.8

Analizom dobijenih rezultata zaključuje se da postoji veliko poklapanje rezultata pri aktivnom prigušenju slobodnih i prinudnih vibracija. Dijagram slobodnih vibracija sistema dat na slici 6.9 i dijagram prinudnih vibracija dat na slici 6.16 sa istim koeficijentima pojačanja PID regulatora daju najbolje rezultate za sistem aktivnog prigušenja pravougaone aluminijumske ploče. Ostvareno prigušenje od 94.82 % (25.7 dB), pri dejstvu prinudnih sila, u odnosu na neupravljanu strukturu je odličan rezultat [81, 82].

Na slici 6.22 prikazano je prigušenje u frekventnom spektru neupravljane aktivne strukture i upravljane aktivne strukture sa PID regulatorom ( $K_p=6.1$ ,  $K_i=0.0061$  i  $K_d=70$ ). Na datom dijagramu se uočava pojava rasta amplitude (kontrolnog signala),  $A_{rms}$ , u podharmoničnoj oblasti kao i porast na nekim frekvencijama u nadharmoničnoj oblasti. Poredjem ovih oblasti na dijagramima datim na slikama 6.14-6.21 uočava se da oblast imavale ili niže vrednosti u zavisnosti od izabranih koeficijenata pojačanja PID regulatora. Nivoi vibracija u navedenim oblastima kao i ukupno pojačanje ili

smanjenje vibracija sistema predstavljaju karakteristiku upravljivosti, o kojoj će biti više reči u narednom poglavlju.



Slika 6.22. Frekventni spektar sistema aktivnog prigušenja pravougaone ploče

## 6.7 Upravljivost sistema aktivnog prigušenja vibracija

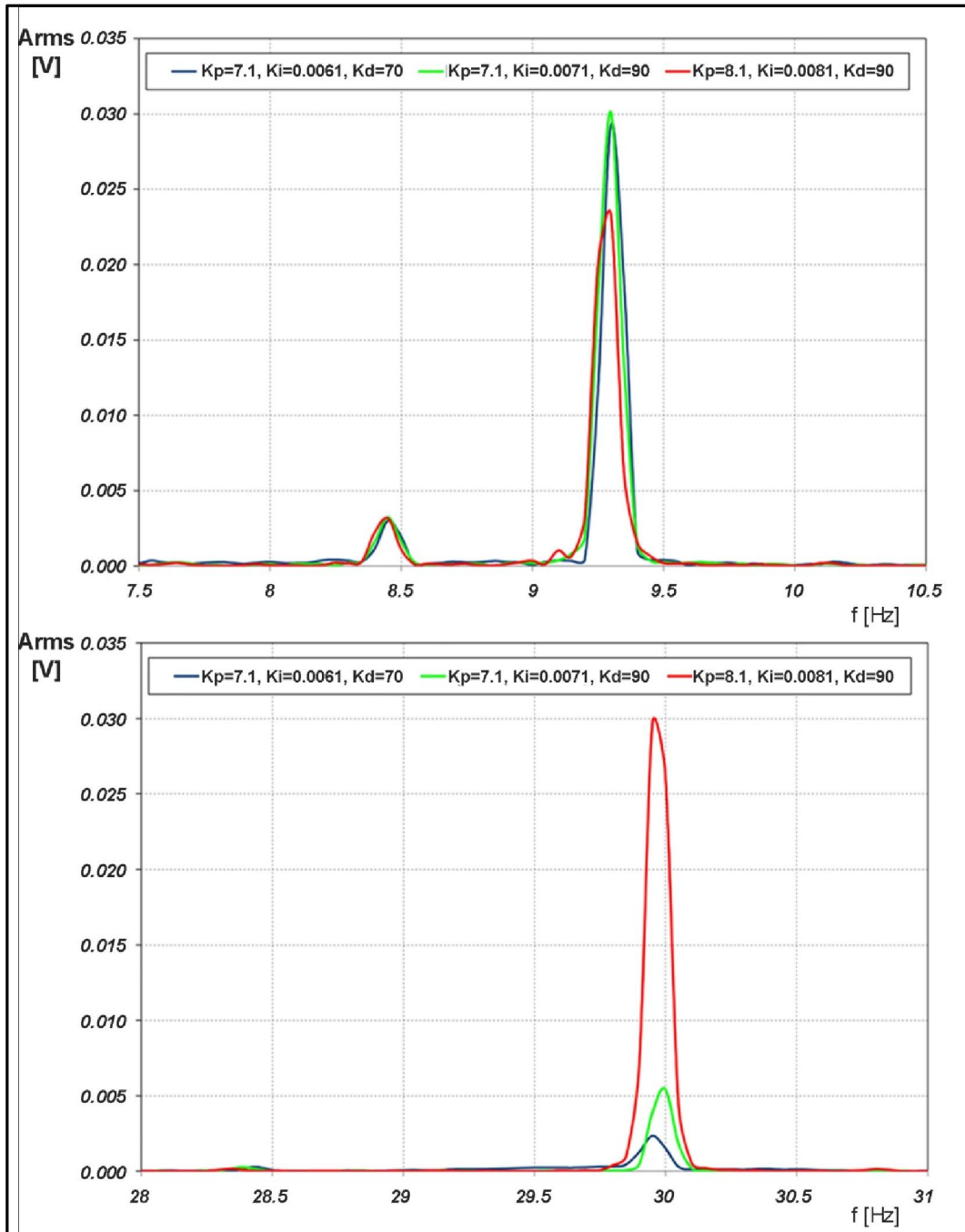
U dosadašnjem razmatranju rada sistema aktivnog prigušenja vibracija viši modovi su ignorisani iz sledećih razloga: više modove je teže pobuditi i daju mali doprinos amplitudi vibracija, viši modovi teže ka većoj neta nosti prilikom uprošavanja u teoretskoj analizi, i najčešće su pobudne frekvencije sistema niske i ne pobiju više modove. Svi modovi strukture se mogu podeliti u tri grupe, i to: 1) upravljeni modovi, 2) modelovani neupravljeni modovi (rezidualni modovi), i 3) nemodelovani modovi, koji se takođe ne uzimaju u razmatranja [50]. Međutim u praksi, kontrolni signal,  $y(t)$ , u svom signalu sadrži rezidualne i nemodelovane modove strukture. Nepoželjne pobude nastale od navedenih modova kroz ograničen broj diskretnih aktuatora izaziva efekat poznat kao „spillover“. Takođe u ovom poglavlju biće prikazane pojave u podharmoničnom području, nastale usled integracije aktuatora i senzora na ploču.

### 6.7.1 „Spillover“ efekat

„Spillover“ efekat predstavlja sekundarni uticaj na strukturu izazvan aktivnostima na smanjenju primarnog uticaja (prigušenje prvog moda oscilovanja). Uticajem na prigušenje prvog moda oscilovanja, podešavanjem koeficijenata PID regulatora, može se izazvati pojava anje amplitude na višem modu oscilovanja. Ova pojava je uočena pri podešavanju koeficijente poja anja PID regulatora. Poja anje na drugom modu oscilovanja se uvećava šest puta dok se amplituda na frekvenciji primarnog izvora smanjuje za petinu vrednosti (slika 6.23).

„Spillover“ efekat narušava performanse sistema, ali je malo verovatno da ovaj efekat može da izazove neki ozbiljniji problem nego u slučaju potpune nepodešenosti koeficijenata poja anja PID regulatora. „Spillover“ efekat se najčešće javlja u područjima iznad frekvencije spoljašnje pobude sistema, u nadharmoničnom području frekvencija.

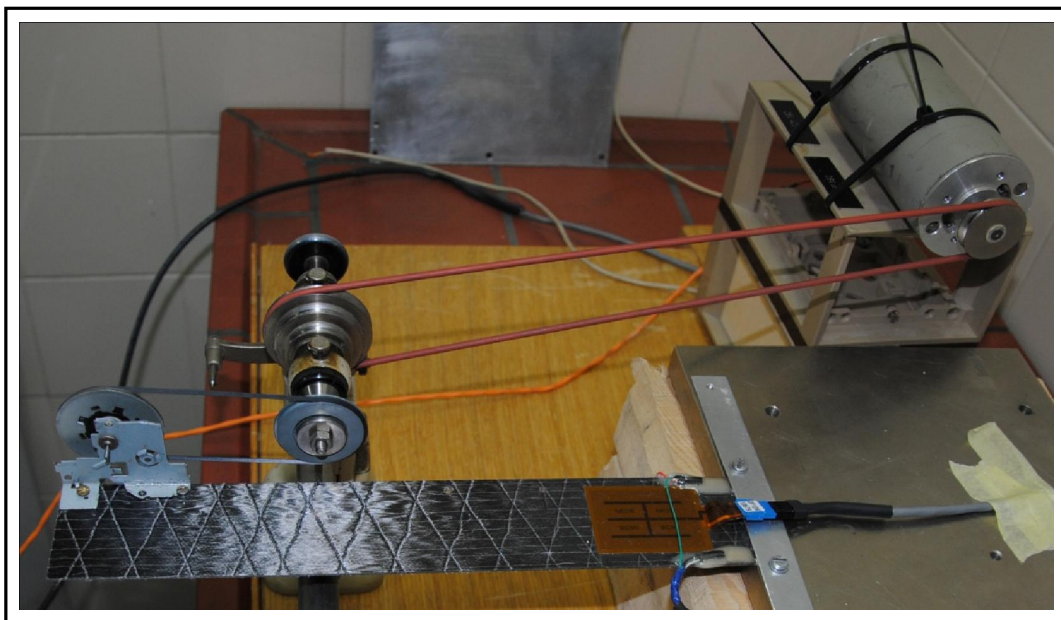
Postoji par metoda za redukciju „spillover“ efekta. Prva metoda je upotreba modalnih filtera koji se mogu koristiti za određivanje modalnih kordinata i brzina sa različitim senzora. Ova metoda podrazumeva integraciju više senzora, što je u suprotnosti za osnovnim zahtevom da integresana struktura ima što manju promenu mase i krutosti sistema. Druga metoda je da se u regulator uvede osmotrivost i residualnih modova. U tom slučaju smanjuje se „spillover“ efekat, ali se umanjuje efikasnost regulatora na upravljanju osnovnim modovima. U suštini bolje rešenje je dobra podešenost regulatora nego usložnjavanje sistema sa upravljanjem residualnim modovima.



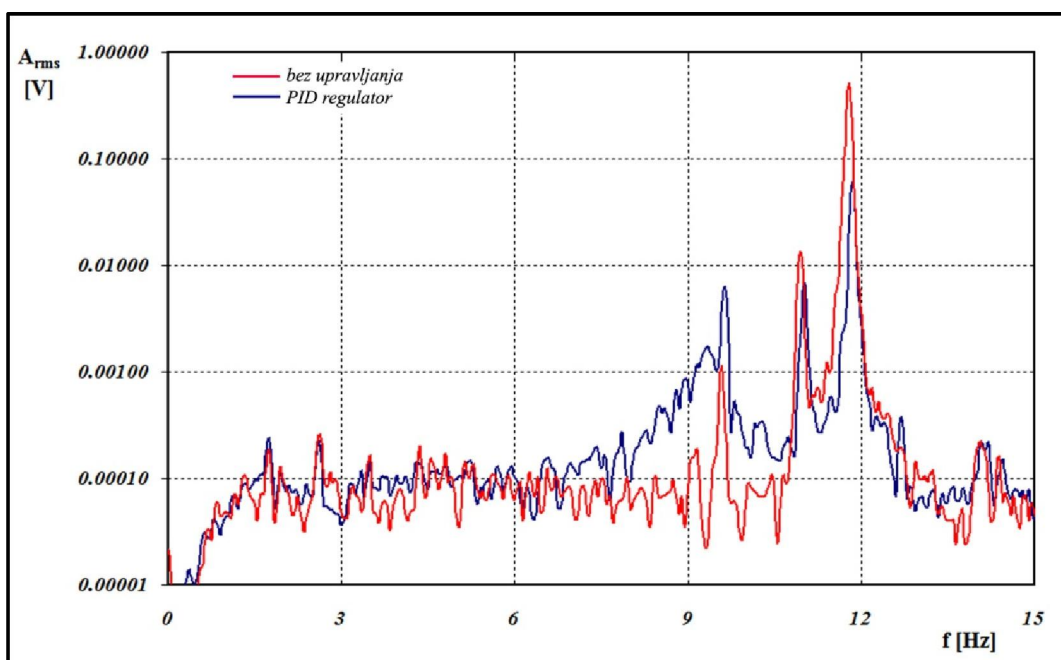
Slika 6.23. „Spillover“ efekat na izabranom strukturalnom elementu

### 6.7.2 Upravljanje sistema u podharmoni noj oblasti pobude

Pored „spillover“ efekta koji se najčešće javlja u nadharmoničnom području na upravljaljivost sistema utiče i pojava povećanja amplitudu u podharmoničnom području. Ova pojava se uočava na dijagramima datim na slikama 6.14 – 6.22. Rad sistema aktivnog prigušenja vibracija podrazumeva uvođenje spoljašnje energije (napona) na piezoelektrični materijal aktuatora. Ploasti aktuatori se integrišu na strukturalni element lepljenjem. Lepljenje aktuatora retko kada može da bude idealno, tako da sloj lepka uvek prestavlja neki pasivni prigušni element. Sa ovog aspekta i injenicom da aktuator u svom radu menja dužinu, što u najprostijem slučaju predstavlja neku vrstu udara na plovu, na strukturi se javlja odgovor sistema u podharmoničnom području u odnosu na frekvenciju pobude. U zavisnosti od materijala strukturalnog elementa, tipa veziva (lepka), pozicije aktuatora neće uvek dolaziti do pobude više modova kao što je uočeno na pravougaonoj aluminijumskoj ploči. Izvršeni su eksperimenti i na kompozitnoj gredi sa istim tipom piezoelektričnog aktuatora i sa istom eksperimentalnom postavkom. Eksperimentalna postavka je data na slici 6.24, a frekventni spektar grede pri podešenim PID regulatorom sa i bez upravljanja dat je na slici 6.25.



Slika 6.24. Kompozitna greda sa integrisanim aktuatorom i senzorom



Slika 6.25. Frekventni spektar sistema aktivnog prigušenja kompozitne grede

Upore uju i dijagrame date na slici 6.22 i 6.25 uoava se da aluminijumska struktura ima veću pobudu u frekventnom opsegu (2 – 8 Hz) u podharmoničkoj oblasti prvog moda u odnosu na kompozitnu gredu (7.5 – 10.5 Hz) pri podešenosti PID regulatora sa najvećim efikasnim prigušenjem. Eksperimentalno je utvrđeno da se smanjenjem frekvencije pobude i ulaskom u podharmoničnu zonu efikasnost prigušenja vibracija strukture se smanjuje. Ovo je uslovljeno iz dva razloga. Prvi razlog je taj što se deformacije povećaju na mestu lokacije senzora smanjujući uslovljavanje manje amplitudu kontrolnog signala. Sa manjom amplitudom i smanjenom frekvencijom oscilovanja, PID regulator formira upravljački signal sa koeficijentima pojedostavljenim za prvi mod oscilovanja. Koeficijenti PID regulatora ne odgovaraju frekvenciji pobude već vrše upravljanje i pobudu prve mode, što praktično znači da se sistem aktivnog upravljanja vibracijama ponaša kao pobudu prve mode.

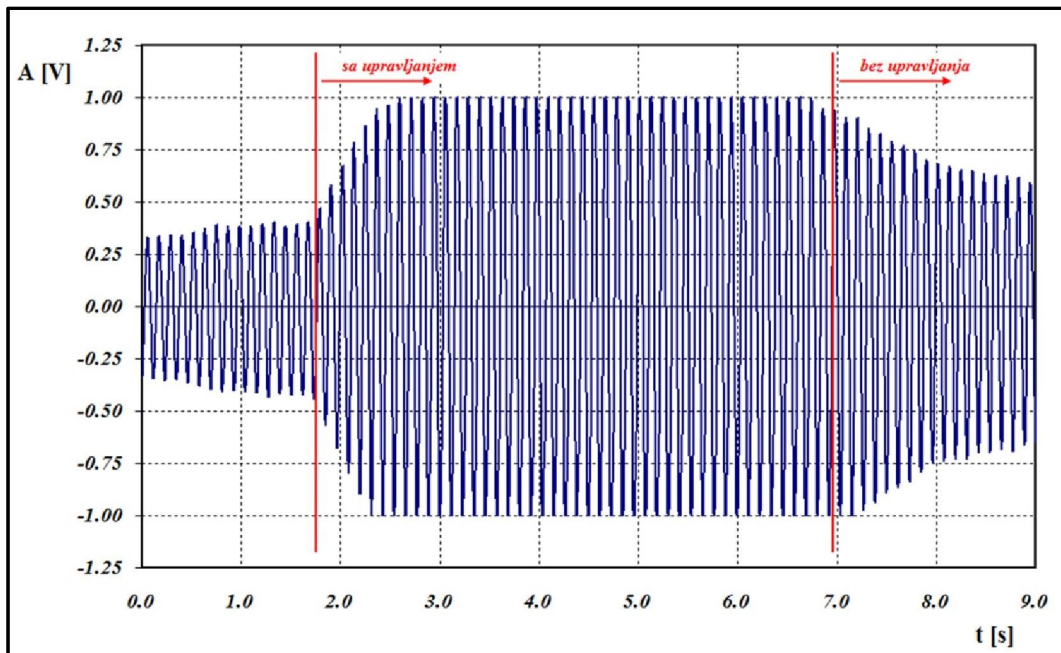
Opisana pojava navodi na zaključak da je za sisteme aktivnog prigušenja vibracija sa promenljivom pobudom (frekvencijom) neophodno imati mogućnost promene koeficijenata pojedostavljenih PID regulatora u funkciji frekvencije. Ovakvi sistemi su izuzetno kompleksni sa aspekta strukturalne integracije (više senzora i aktuatora) i zahtevaju adaptaciju parametara PID regulatora.

### 6.7.3 Nestabilnost sistema aktivnog prigušenja vibracija

Za razliku od prethodna dva efekta, koji prvenstveno uti u na efikasnost sistema aktivnog prigušenja vibracija, nestabilnost sistema vodi ka poja anju vibracija i lomu strukturalnih elemenata.

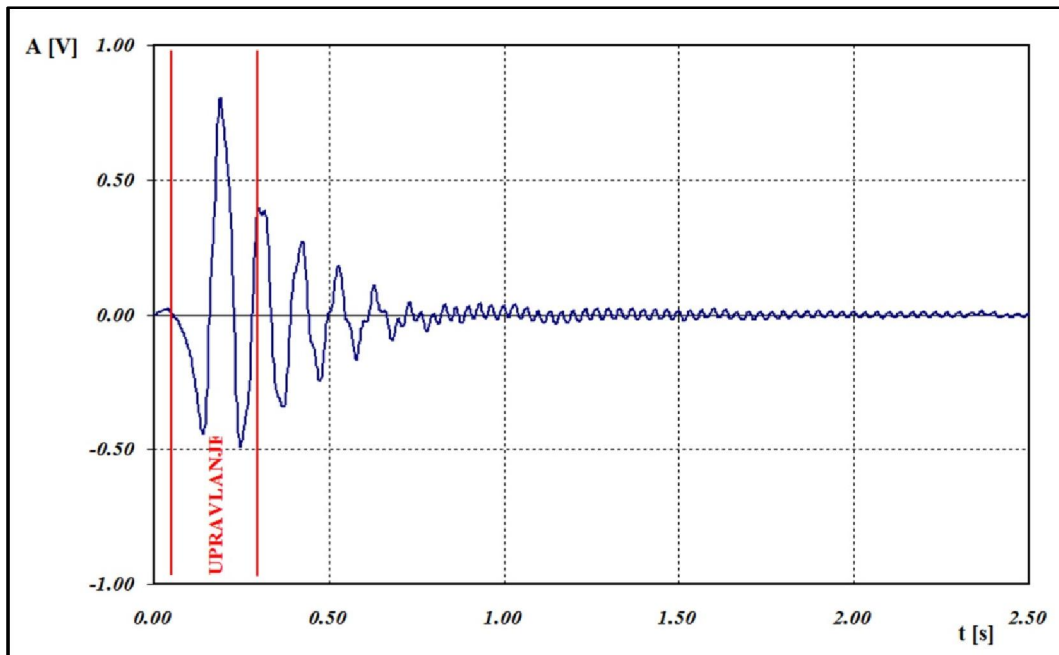
Na osnovu teorijskih razmatranja datih u poglavlju 2.2 i 4.5 ove disertacije, kao i eksperimentalnih istraživanja datih u ovoj glavi, može se zaklju iti da nestabilnost isklju ivo zavisi od efekta kašnjenja upravlja kog signala  $u(t)$  u odnosu na kontrolni signal  $y(t)$ . Promenom koeficijenata poja anja PID regulatora uti e se na vreme kašnjenja,  $\tau$ , izme u upravlja kog signala  $u(t)$  u odnosu na kontrolni signal  $y(t)$ .

Na slici 6.26 dat je kontrolni signal u vremenskom domenu,  $y(t)$ , pri kontinualnoj prinudnom pobudu. Fazna pomerenost signala je postavljena na  $\phi=180^\circ$  i uklju en je sistem aktivnog prigušenja (slika 6.26 – „sa upravljanjem“). Izuzetno brzo se postiže superponiranje kontrolnog signala sa upravlja kim signalom i sistem pove ava svoju amplitudu oscilovanja. Sistem sa ovim faznim pomerajem je potpuno nestabilan. Nakon isklju enja sistema aktivnog prigušenja („bez upravljanja“) sistem ima tendenciju vra anja u prethodno stanje, s tim da je gradijent smanjenja vibracija znatno manji nego u slu aju uklju enja sistema.



Slika 6.26. Nestabilnost sistema pri kontinualnoj pobudi

Tako e je vršena analiza nestabilnog sistema za slu aju slobodnih vibracija. U ovom slu aju je primetno da samim uklju ivanjem sistema upravljanja, bez pobude, sistem ima tendenciju oscilovanja. Opisana nestabilnost sistema pri uklju enju upravljanja je data na slici 6.27.



Slika 6.27. Nestabilnost sistema pri slobodnim vibracijama

Izvršenim eksperimentima dokazano je da je predloženi sistem aktivnog prigušenja vibracija strukturalnog elementa efikasan i upravljiv.

# Glava 7

## 7 ZAKLJUČAK

### 7.1 Rezultati istraživanja

Predmet istraživanja ove disertacije je modelovanje i razvoj struktura visokih performansi sa aspekta otpornosti na dejstvo vibracija. Razmatrani su sistemi aktivnog i aktivno-pasivnog prigušenja vibracija strukturalnih elemenata vazduhoplova. U tom smislu izvršeno je matematičko modelovanje aktivnih struktura uz optimizaciju položaja i orijentacije senzorsko-aktuatorskih parova, kao i razvoj matematičkih modela sistema aktivnog upravljanja vibracijama. Postavljeni matematički modeli aktivnih struktura, kao i sistema upravljanja su verifikovani na realnom strukturalnom elementu (aluminijumska pravougaona ploča) numeričkim i eksperimentalnim metodama. Za eksperimentalnu verifikaciju modelovanog sistema razvijena je celokupna eksperimentalna postavka sistema za aktivno prigušenje vibracija.

Tokom pomenutog istraživanja u oblasti aktivnog i aktivno-pasivnog prigušenja vibracija strukturalnih elemenata vazduhoplova, korištene su različite analitičke, numeričke i eksperimentalne metode: metoda konjunktivnih elemenata, modalna analiza, optimizacija rojem estica, Ziegler-Nichols metoda, metoda Routh-ovog kriterijuma stabilnosti, eksperimentalna modalna analiza, metoda filtriranja signala, metoda FFT (Fast Fourier Transform) i metoda komparativne analize.

Cilj istraživanja koji se odnosi na realizaciju efikasnog sistema aktivnog i aktivno-pasivnog prigušenja vibracija strukturalnih elemenata vazduhoplova na sopstvenim frekvencijama oscilovanja (modovima) je u potpunosti ostvaren. Na osnovu

analize postoje ih saznanja iz oblasti prigušenja vibracija, kao i primenom navedenih metoda u istraživanju definisani su sledeći zaključci:

- Sisteme aktivnog upravljanja vibracijama poželjno je koristiti na mehaničkim sistemima kod kojih se zahteva izuzetno visok nivo performansi. Osnovno ograničenje ovog tipa sistema je potreba za eksternom energijom, tj. električnom energijom za napajanje aktuatora. Zbog navedene potrebe za električnom energijom implementacija sistema za aktivno upravljanje vibracijama se vrši za sludgeve u kojima potreba za povećanjem performansi sistema neutrališe efekte cene i kompleksnosti. Aktivno-pasivni uređaji su projektovani da daju odgovarajući signal izmeren sa mehaničkog sistema i vrši upravljanje aktuatorima radi prigušenja nepoželjnih vibracija. Osnovna karakteristika ovih sistema je da oni vrše disipaciju primljene energije, tj. oni ne koriste spoljašnju energiju za pokretanje aktuatora (ne vrše unošenje energije u sistem). Ovo je osnovna razlika između sistema aktivnog i aktivno-pasivnih sistema. Matematičko modelovanje oba tipa sistema je identično, sa tim što izbor aktivnih sistema ne narušava dinamike karakteristike izabranog strukturalnog elementa, u odnosu na sistema aktivno-pasivnog upravljanja.
- Upotrebom metoda konstrukcija elemenata i optimizacije rojem estica, korištenje u ovoj disertaciji za optimizaciju položaja, veličine, orientacije i mesta postavljanja aktuatora i senzora dokazano je da se adekvatnom postavkom jednog aktuatora može upravljati (prigušivati) većim brojem sopstvenih modova oscilovanja. Ovaj rezultat nesumljivo vodi ka smanjenju broja senzorsko-aktuatorskih parova, a samim tim i smanjenje uticaja na dinamike karakteristike strukturalnih elemenata, kao što su uticaj na masu, prigušenje ili krutost.
- Adekvatan matematički model, kao i utvrđene karakteristike upravljivosti i osmotrivosti aktivne strukture su preduslov za uspešno projektovanje regulatora, sa aspekta integracije kontrolnog signala u regulator, brzine odabiranja signala i kreiranja algoritma upravljanja, kao i kreiranja upravljačkog signala i njegovo prenosovanje do izvršnog elementa (aktuatora).
- Prototip sistema za aktivno-prigušenje vibracija je realizovan na mikrokontrolerskoj platformi. Dimenzije razvijenog kontrolera omogućuju široku primenu u različitim industrijskim aplikacijama.

- Eksperimentalnom modalnom analizom utvrđeno je da integracija senzora i aktuatora ne narušava dinamičke karakteristike osnovne strukture. Uočene su odredene razlike između numeričkih i eksperimentalnih rezultata aktivne strukture, kao rezultat izbora modelovanja deformacija aktivne strukture (smicanja trećeg reda), kao i nemodelovane mehanike vezivnih sredstva (lepkova) i veze strukture.
- Koeficijent prigušenja aktivnog strukturalnog elementa je povezan na prvom i drugom modu oscilovanja, što nedvosmisleno vodi ka zaključku da je izvršena numerička optimizacija rojem estica aktivne strukture uspešno izvedena i jedan od neophodnih koraka pri projektovanju sistema aktivnog upravljanja. Podešavanjem PID, PD i PI regulatora za aktivno upravljanje na prvom modu oscilovanja dobiveni su izuzetno dobri rezultati za prigušenje slobodnih vibracija strukture. Aktivnoj strukturi bez upravljanja, pri dejstvu slobodnih vibracija, potrebno vreme smirenja je  $T=9$  sekundi, dok je vreme smirenja za slučaj upravljanja sa PID regulatorom  $T=1.2$  sekundi, PD regulatoru je potrebno  $T=1.4$  sekundi, dok je PI regulatoru potrebno  $T=2.2$  sekundi.
- Efikasnost u prigušenju vibracija realizovanog sistema aktivnog upravljanja, pri prinudnom kontinualnim pobudama strukture, je takođe znajuća. Dostignuta efikasnost prigušenja vibracija, sa podešenim PID regulatorom, na sopstvenom modu oscilovanja strukturalnog elementa je približno 95 % (94.82 %), ili 25.7 dB što predstavlja izuzetno visok stepen prigušenja. Potpuno umirenje strukture je praktično nemoguće iz razloga postojanja vremenskog kašnjenja,  $\tau$ , upravlja kog signalima,  $u(t)$ , za kontrolnim signalom,  $y(t)$ .
- Realizovani sistem aktivnog prigušenja vibracija je upravljiv. Eksperimentalnim postupcima je utvrđen uticaj koeficijenata PID regulatora na efekat „spillover“ kai i na nestabilnost sistema. Takođe je definisan uticaj vezivnih sredstava senzora i aktuatora (lepkova) na strukturalni element vazduhoplova, kao i njihov uticaj na efikasnost rada sistema.

## 7.2 Nau ni doprinosi disertacije

Nau ni doprinos ove disertacije je višestruk i ogleda se u slede em:

- Adekvatnim metodološkim pristupom i postupcima projektovanja od generisanja teorijskog modela, optimizacije rojem estica položaja i orjentacije senzorsko-aktuatorskih parova definisani su ulazni parametri za projektovanje sistema aktivnog i aktivno-pasivnog prigušenja vibracija strukturalnih elemenata vazduhoplova,
- Dosadašnja istraživanja optimizacije položaja i orjentacije aktuatora i senzora na strukturalne elemente bazirala su se na postavljanju aktuatorsko-senzorskih parova sa ciljem prigušenja vibracija na unapred odre enom jednom sopstvenom modu oscilovanja. Sintezom metode kona nih elemenata i optimizacije rojem estica, koriš enim u ovoj disertaciji, uspešno je definisan položaj i orjentacija aktuatora za prigušenje vibracija na više sopstvenih modova oscilovanja (savijanje i uvijanje).
- U okviru disertacije, na osnovu numeri kih rezultata, razvijen je prototip sistema aktivnog prigušenja vibracija pravougaone aluminijumske plo e i kompozitne grede. Upotrebljena je strategija povratne sprege sa proporcionalno-integralno-diferencijalnim (PID) algoritmom upravljanja. Razvijeni PID regulator je realizovan na mikrokontrolerskoj platformi, malih dimenzija sa mogu noš u podešavanja koeficijenata poja anja svakog dejstva ponaosob.
- Problem zasi enja upravlja kog signala na izlazu iz PID regulatora je rešen upotrebom niskofrekventnog propusnog filtera u povratnoj sprezi u liniji integralnog dejstva.
- U okviru disertacije izvršene su provere performansi sistema aktivnog prigušenja vibracija na aktivnim strukturalnim elementima vazduhoplova. Utvr ena je izuzetna efikasnost rada sistema aktivnog prigušenja pri slobodnim i prinudnim slu ajevima pobude. Dobijena efikasnost sistema je u odnosu na dosadašnja sli na svetska istraživanja izuzetno visoka za oba slu aja optere enja.
- Izvršeno je pore enje i razli itih tipova upravlja kih algoritama PID, PI i PD za slu aj slobodnih pobudnih sila. Pore enjem performansi svakog upravlja kog algoritma dobijena vremena smirenja strukture za sve razmatrane regulatore su višestruko manja od sistema bez aktivnog upravljanja. Efikasnost regulatora u

prigušenju slobodnih vibracija je utvr ena, i njihov redosled je slede i: PID regulator, zatim sledi PD regulator i najzad PI regulator.

Pored navedenih nau nih doprinosa, ova disertacija ima zna ajne prakti ne doprinose u razvoju sistema aktivnog upravljanja vibracijama na teritoriji Republike Srbije. Razvijeni prototip sistema je prvi sistem ovog tipa, realizovan u potpunosti, na prostoru Balkanskog poluostrva. Sistem aktivnog prigušenja vibracija je mikrokontrolerskog tipa, vrlo malih dimenzija i predstavlja izuzetno dobru osnovu za implementaciju na razli ite mehani ke sisteme. Sistem aktivnog prigušenja vibracija sa prate om opremom može da predstavlja idealno nastavno sredstvo za upoznavanje studenata sa osnovnim principima rada i upravljanja aktivnim strukturama.

### 7.3 Preporuke za budu i rad

Na osnovu iznetih rezultata i utvr enih nau nih doprinosa razvijeni prototip sistema aktivnog prigušenja vibracija sam po sebi ve predstavlja gotov proizvod. Autor dalji svoj rad usmerava ka integraciji sistema na realane mehani ke sisteme (prigušenje vibracija helikopterskih sedišta pomo u štapastih aktuatora).

Sistem aktivnog upravljanja vibracijama na strukturalnom elementu vazduhoplova (pravougaona plo a), opisanim u ovoj disertaciji, vrlo je bliska ideji upravljanju komandnim površinama vazduhoplova pri pojavi flatera. Istraživanja u ovom pravcu su zna ajno složenija, finansijski zahtevnija i sa nau ne ta ke gledišta izuzetno aktuelna. Sa ovog aspekta autor je spreman za saradnju sa svim vazduhoplovnim institucijama koje žele da rešavaju problem flatera vazduhoplova putem aktivnog upravljanja.

Zanimljiva istraživanja iz ove oblasti je upravljanje vibracijama na rotoraju im aerodinami kim površinama helikoptera (glavni i repni rotor). Sistemi aktivnog ili aktivno-pasivnog prigušenja vibracija se koriste za razvoj dva koncepta prigušenja vibracija rotora heikoptera: *HHC – Higher Harmonic Control* i *IBC – Individual Blade Concept*.

Analiziraju i svetske trendove razvoja sistema sa aktivnim upravljanjem lepeza primenjivosti je izuzetno široka od vojne, opti ke, gra evinske, medicinske i drugih industrija, autor e vršiti kontinualno usavršavanje sistema aktivnog prigušenja vibracija

i nuditi ga kao potencijalno rešenje pre svega na sisteme u sastavu Vojske Srbije, a tako i u privrednim organizacijama Republike Srbije.

Imajući u vidu veliku aktuelnost oblasti aktivnog upravljanja, kao i moguću zainteresovanost velikog broja mladih naučnika za bavljenje ovom oblastju, autor je ostavio mogućnost implementacije drugih strategija i algoritama upravljanja na već izrađenu mikrokontrolersku jedinicu. Cilj ovakvog pristupa je formiranje tima, koji bi trebao rešavati probleme svih mehaničkih sistema koji su izloženi gubitku performansi usled povišenog nivoa vibracija.

## LITERATURA

1. C. M. A. Vasques, “**Vibration Control of Adaptive Structures**”, Thesis for the degree of Doctor of Philosophy, Laboratório de Vibrações de Sistemas Mecânicos, Departamento de Engenharia Mecânica e Gestão Industria, Faculdade de Engenharia da Universidade do Porto, Portugal, 2008.
2. B. K. Wada, J. L. Fanson and E. F. Crawley, “**Adaptive structures**”, Journal of Intelligent Material Systems and Structures, Vol 1(2), pp: 157–174, 1990.
3. E. F. Crawley, “**Intelligent structures for aerospace – a technology overview and assessment**”, AIAA Journal, Vol 32(8), pp: 1689–1699, 1994.
4. R. L. Clark, W. R. Saunders and G. P. Gibbs, “**Adaptive Structures: Dynamics and Control**”, John Wiley & Sons, New York, US., 1998.
5. A. Preumont, “**Vibration Control of Active Structures: An Introduction, 2<sup>nd</sup> edition**”, Kluwer, Academic Publishers, Dordrecht, NL., 2002.
6. K. Miura and H. Furuya, “**Adaptive structure concept for future space applications**”, AIAA Journal, Vol 26 (8), pp: 995–1002, 1988.
7. H. Tjahyadi, “**Adaptive Multi Mode Vibration Control of Dynamically Loaded Flexible Structures**”, Thesis for the degree of Doctor of Philosophy, School of Informatics and Engineering, Faculty of Science and Engineering, Flinders University of South Australia, Adelaide, 2007.
8. P.C. Hughes, “**Space structure vibration modes: How many exist? Which one are important?**”, IEEE Control System Magazine, Vol 7,pp. 22–28, 1987.
9. S.O.R. Moheimani, “**Minimizing the effect of out-of bandwidth dynamics in the models of reverberant systems that arise in modal analysis: implications on spatial H control**”, Automatica, Vol 36, pp: 1023–1031, 2000.
10. L.L. Xie and L. Guo., “**How much uncertainty can be dealt with by feedback?**”, IEEE Transaction on Automatic Control, Vol 45 (12), pp: 2203–2217, 2000.
11. J. Luo, “**Frequency Domain Iterative Tuning for Active Noise and Vibration Control**”, Thesis for the degree of Doctor of Philosophy, School of Engineering Science, Faculty of Engineering, Science and Mathematics, University of Southampton, 2008.

12. L. Rayleigh, “*The Theory of Sound Vol II, Chapter XIV: Two Sources of Like Pitch*”, Points of Silence, Experimental Methods, MacMillan & Co., London, 1877.
13. P. Lueg, “*Process of silencing sound oscillator*”, U.S. Patent 2 043 416, 1936
14. H. F. Olson and E. G. May, “*Electronic sound absorbers*”, Journal of Acoustical Society of America, Vol. 25, Issue 6, pp: 1130-1136, 1953.
15. H. F. Olson, “*Electronic control of noise, vibration and reverberation*”, Journal of Acoustical Society of America, Vol. 28, Issue 5, pp: 966-972, 1956.
16. K. Kido, “*Reduction of noise by use of additional sound sources*”, pp: 647–650, Sendai, 1975, Proceedings Internoise
17. Z. Abduljabbar, M.M. El Madany and A.A. Al Abdulwahab, “*Active vibration control of a flexible rotor*”, Computers and Structures, Vol. 58(3). pp:499–511, 1996.
18. Y.H. Yu at al., “*Reduction of helicopter blade-vortex interaction noise by active rotor control technology*”, Progress in Aerospace Sciences, Vol. 33, pp: 647–687, 1997.
19. R. Kube et al., “*HHC Aeroacoustic Rotor Tests in the German-Dutch Wind Tunnel-Improving Physical Understanding and Prediction Codes*”, Aerospace Science and Technology, Vol. 2 (3), pp: 177–190, 1998.
20. R. Kube, B. van der Wall, K.J. Schultz, “*Mechanisms of vibration and BVI noise reduction by Higher Harmonic Control*”, 20th European Rotorcraft Forum, Amsterdam, The Netherlands, 1994.
21. ICAO – International Civil Aviation Organization, “*Annex 16 – Environmental Protection, Volume I – Aircraft noise*”
22. ISO 2631-1:1997, “*Mechanical vibration and shock – Evaluation of human exposure to whole-body vibration*”
23. S. Zhou and J. Shi, “*Active balancing and vibration control of rotating machinery: A survey*”, The Shock and Vibration Digest, Vol. 33(5), pp: 361–371, 2001.
24. Y. Zeng, A.D. Araujo and S.N. Sinhg, “*Output feedback variable structure adaptive control of a flexible spacecraft*”, Acta Astronautica, Vol. 44(1), pp: 11–22, 1999.
25. J.L. Meyer, W.B. Harrington, B.N. Agrawal and G. Song, “*Vibration suppression of a spacecraft flexible appendage using smart material*”, Smart Materials and Structures, Vol. 7 (1), pp: 95–105, 1998.
26. S. Na and L. Librescu, “*Oscillation control of cantilevers via smart materials technology and optimal feedback control: actuator location and power consumption issues*”, Smart Materials and Structures, Vol. 7 (6), pp: 833–842, 1998.
27. C.R. Fuller, S.J. Elliott, P.A. Nelson “*Active Vibration of Control*”, Academic Press, London, GB, 1997.

28. V. Wickramasinghe, D. Zimcik, and Y. Chen, “*A Novel Adaptive Structural Impedance Control Approach to Suppress Aircraft Vibration and Noise*”, RTO AVT Symposium on “Habitability of Combat and Transport Vehicles: Noise, Vibration and Motion”, 4-7 October 2004, Prague, Czech Republic
29. D. Smith, “*Characterizing the Effects of Airborne Vibration on Human Body Vibration Response*” Journal of Aviation, Space and Environmental Medicine, Vol. 73(3), pp: 36-45, 2002.
30. N. A. A. Castelo-Branco and E. Rodriguez, “*The Vibroacoustic Disease – An Emerging Pathology*”, Journal of Aviation, Space, and Environmental Medicine, Vol 70(1), pp: A1-A6, 1999.
31. Y. Chen, V. Wickramasinghe and D. Zimcik, “*Smart Spring Impedance Control Algorithm for Helicopter Blade Harmonic Vibration Suppression*”, Journal of Vibration and Control, Vol. 11, pp: 543–560, 2005.
32. Y. Chen, V. Wickramasinghe and D. Zimcik, “*Development of Adaptive Seat Mounts for Helicopter Aircrew Body Vibration Reduction*”, Journal of Vibration and Control, Vol. 15, pp: 1809–1825, 2009.
33. Y. Chen, V. Wickramasinghe and D. Zimcik, “*Investigation of Helicopter Seat Structural Dynamics for Aircrew Vibration Mitigation*”, Journal of American Helicopter Society, Vol. 56, 12006, 2011.
34. Y. Chen, V. Wickramasinghe and D. Zimcik, “*Development of Adaptive Helicopter Seat for Aircrew Vibration Reduction*”, Journal of Intelligent Material Systems and Structures, Vol. 22, pp: 489–502, 2011.
35. Z. G. Song and F. M. Li, “*Active aeroelastic flutter analysis and vibration control of supersonic beams using the piezoelectric actuator/sensor pairs*”, Smart Materials and Structure, Vol. 20, 055013, 2011.
36. Q. Hu, “*A composite control scheme for attitude maneuvering and elastic mode stabilization of flexible spacecraft with measurable output feedback*”, Aerospace Science and Technology, Vol. 13, pp: 81–91, 2009.
37. R. C. Simoes, V. Steffen, J. D. Hagopian and J. Mahfoud, “*Modal Active Vibration Control of a Rotor Using Piezoelectric Stack Actuators*”, Journal of Vibration and Control, Vol. 13(1), pp: 45–64, 2007.
38. S. Keye, R. Keimer and S. Homann, “*A vibration absorber with variable eigenfrequency for turboprop aircraft*”, Aerospace Science and Technology, Vol. 13, pp: 165–171, 2009.
39. Y. H. Guana, M. Li, T. C. Limb and W. S. Shepard, “*Comparative analysis of actuator concepts for active gear pair vibration control*”, Journal of Sound and Vibration, Vol. 269, pp: 273–294, 2004.
40. Q. Hu, L. Xie and H. Gao, „*Adaptive Variable Structure and Active Vibration Reduction for Flexible Spacecraft under Input Nonlinearity*“, Journal of Vibration and Control, Vol. 13, pp: 1573-1602, 2007.
41. S. B. Choi and S. R. Hong, „*Active vibration control of a flexible structure using an inertial type piezoelectric mount*“, Smart Materials and Structure, Vol. 16 (1), pp. 25-35, 2007.

42. J. W. Sohn, S.B. Choi and C. H. Lee, “*Active vibration control of smart hull structure using piezoelectric composite actuators*”, Smart Materials and Structure, Vol. 18 (7), 2009.
43. J.S. Oh, Y.M. Han and S.B. Choi, “*Vibration control of a camera mount system for an unmanned aerial vehicle using piezostack actuators*”, Smart Materials and Structure, Vol. 20 (8), 2011.
44. K. Hoffmann, “*An Introduction to Measurements using Strain Gages*”, Hottinger Baldwin Messtechnik GmbH, Darmstadt, 1989.
45. N. Zori , “*Dinami ko ponašanje pametnih tankozidnih kompozitnih struktura*”, Doktorska disertacija, Univerzitet u Beogradu, Mašinski fakultet, 2013.
46. M. Xu, “*Adaptive-passive and active control of vibration and wave propagation in cylindrical shells using smart materials*”, Thesis for the degree of Doctor of Philosophy, The Graduate Faculty of The University of Akron, Ohio, USA, 2005.
47. Y. Liu, “*Semi-Active damping control for vibration isolation of base disturbance*”, A Thesis submitted for the degree of Doctor of Philosophy, Faculty of Engineering, Science and Mathematics, University of Southampton, 2004
48. D.C. Karnopp, M.J. Crosby, and R.A. Harwood, “*Vibration control using semi-active force generators*” ASME Journal of Engineering for Industry, Vol. 96(2), pp. 619-626, 1974.
49. R.J. Richards, “*An Introduction to Dynamics and Control*”, Longman, London, 1979.
50. L. Meirovitch, “*Dynamics and Control of Structures*”, John Wiley and Sons, New York, 1990.
51. G.F. Franklin, J.D. Powell and A. Emami-Naeini, “*Feedback Control of Dynamic Systems, 3rd edn*”, Addison Wesley, Reading, Massachusetts, 1994.
52. M. K. Kwak and S. Heo, “*Active vibration control of smart grid structure by multiinput and multioutput positive position feedback controller*”, Journal of Sound and Vibration, Vol. 304, pp. 230–245, 2007.
53. S. Fenik and L. Starek, “*Optimal PI Controller with Position Feedback for Vibration Suppression*”, Journal of Vibration and Control, Vol. 16, pp. 2023-2034, 2010.
54. R.W. Ellis and C.D. Mote, “*A feedback vibration canceler for circular saws*”, Journal of Dynamic Systems, Measurement and Control, Vol. 101, pp. 44-49, 1979.
55. R. Alkhatib and M. F. Golnaraghi, “*Active Structural Vibration Control: A Review*”, The Shock and Vibration Digest, Vol. 35(5), pp. 367–383, 2003.
56. V. Sethi, G. Song and P. Qiao, “*System identification and active vibration control of a composite I-beam using smart materials*”, Structural Control and Health Monitoring, Vol. 13, pp. 868–884, 2006.
57. A. K. Dutta, S. K. Deb and A. Dutta, “*Design of an active controller for Quincy Bayview Bridge, Illinois, U.S.A. against seismic excitation – Part II: Control*

- implementation*”, Structural Control and Health Monitoring, Vol. 15, pp. 1078–1104, 2008.
58. P.R. Heyliger and J.N. Reddy, “*A higher order beam finite element for bending and vibration problems*”, Journal of Sound and Vibration, Vol. 126(2), pp. 309–326, 1988.
59. M. Jovanović, A. Simonović, S. Stupar, N. Zorić, N. Lukić, “*Experimental determination of basic parameters for active vibration control system development*”, Fourth Serbian (29th Yu) Congress on Theoretical and Applied Mechanics, Vrnjačka Banja, Serbia, 4-7 June 2013.
60. <http://www.mide.com/pdfs/quickpack-actuator-sensor-datasheet.pdf>
61. S. Stupar, A. Simonović, N. Zorić, M. Jovanović, S. Tekić, N. Lukić, “*Linearni pojačivač napona – Tehničko rešenje, Projekat TR-35035*”, Mašinski fakultet, Beograd, 2012.
62. S. Stupar, A. Simonović, N. Petrović, N. Zorić, M. Jovanović, N. Lukić, “*Laboratorijsko postrojenje za linearni pojačivač napona, Projekat TR-35035*”, Mašinski fakultet, Beograd, 2012.
63. N. Zorić, A. Simonović, Z. Mitrović, S. Stupar, “*Multi-Objective Fuzzy Optimization of Sizing and Location of Piezoelectric Actuators and Sensors*”, FME Transaction Vol. 40(1), pp. 1-9, 2012.
64. N. Zorić, A. Simonović, Z. Mitrović, S. Stupar, “*Optimal vibration control of smart composite beams with optimal size and location of piezoelectric sensing and actuation*” Journal of Intelligent Material Systems and Structures, Vol. 24(1), pp. 499-526, 2013.
65. N. Zorić, A. Simonović, Z. Mitrović, S. Stupar, “*Active vibration control of smart composite beams using PSO-optimized self-tuning fuzzy logic controller*”, Journal of Theoretical and Applied Mechanics, Vol. 51, pp. 275-286, 2013.
66. R.E. Bellman, L.A. Zadeh, “*Decision-making in fuzzy environment*”, Management Science, Vol. 17(4), pp. B141–B164, 1970.
67. R.D. Adams and P. Cawley, “*A vibration technique for non-destructively assessing the integrating of structures*”, Journal of Mechanical Engineering Science, Vol. 20 (2), pp. 93–100, 1978
68. E. Manoach, I. Trendafilova, “*Large amplitude vibrations and damage detection of rectangular plates*”, Journal of Sound and Vibration, Vol. 315, pp. 591–606, 2008.
69. A. Giuseppina, “*Modelling and active vibration control of aeronautical flexible structure*”, Thesis for the degree of Doctor of Philosophy, Facoltà di Ingegneria Elettronica, Seconda Università Degli Studi di Napoli, Italy, 2004.
70. M. Jovanović, S. Stupar, A. Simonović, N. Zorić, N. Lukić, “*Experimental determination of damaged location on thin plate using frequency measurement*”, 5<sup>th</sup> International Scientific Conference on Defensive Technologies, Beograd, OTEH 2012, Serbia, 18-19 September 2012.

71. Y.C. Huh, T.Y. Chung, S.J. Moon, H.G. Kil, J.K. Kimc, “***Damage detection in beams using vibratory power estimated from the measured accelerations***”, Journal of Sound and Vibration, Vol. 330, pp: 3645–3665, 2011.
72. G. P. Devendra, A. L. Gary, “***Structural Damping and Vibration Control via Smart Sensors and Actuators***”, Journal of Vibration and Control, Vol. 9(12), pp: 1421-1452, 2003.
73. J. Li, Y. Narita, “***The effect of aspect ratios and edge conditions on the optimal damping design of thin soft core sandwich plates and beams***”, Journal of Vibration and Control, DOI: 10.1177/1077546312463756, first published on October 23, 2012
74. F. L. Huang, X. M. Wang, Z.Q. Chen, X. H. He, Y. Q. Ni, “***A new approach to identification of structural damping ratios***”, Journal of Sound and Vibration, Vol. 303( 1–2), pp: 144-153, 2007.
75. N. Rahman, M. N. Alam, “***Active vibration control of a piezoelectric beam using PID controller: Experimental study***”, Latin American Journal of Solids and Structures, Vol. 9, pp: 657 – 673, 2012
76. S. Le, “***Active vibration control of a flexible beam***”, Master ' s Theses, The Faculty of the Department of Mechanical and Aerospace Engineering, San Jose State University, 2009.
77. A. Bagis, “***Determination of the PID controller parameters by modified genetic algorithm for improved performance***”, Journal of Information Science and Engineering, Vol. 23, pp: 1469–1480, 2007.
78. M. Jovanovi , A. Simonovi , N. Zori , N. Luki , S. Stupar, S. Ili , “***Experimental studies on active vibration control of smart composite beam using PID controller***”, Smart Materials and Structures, Vol. 22(11), 2013, doi:10.1088/0964-1726/22/11/115038
79. G. Song, V. Sethi, H.N. Li, “***Vibration control of civil structures using piezoceramic smart materials: A review***”, Engineering Structures, Vol. 28(11), pp: 1513–1524, 2006.
80. R. Guclu, “***Sliding mode and PID control of a structural system against earthquake***”, Mathematical and Computer Modelling, Vol. 44(1-2), pp: 201-217, 2006.
81. S. J. Kim, J. S. Hwang, J. Mok, “***Sensor/Actuator Optimal Design for Active Vibration Control of Shell Structure***”, Journal of Intelligent Material Systems and Structures, Vol. 11(11), pp. 848-856, 2000.
82. G. Cazzulani, F. Resta, F. Ripamonti, R. Zanzi “***Negative derivative feedback for vibration control of flexible structures***”, Smart Materials and Structure, Vol. 21 (7), 2012.

## **BIOGRAFIJA**

Mr Miroslav M. Jovanović, dipl. inž. je rođen 14. Septembra 1977. godine u Paraćinu. Osnovnu školu završio je 1992. godine u Paraćinu, a Vojnu gimnaziju u Beogradu 1997. godine.

Vojnotehničku akademiju u Beogradu (smer Vazduhoplovnotehnička služba, mašinsko usmerenje, specijalnost Vazduhoplovi i vazduhoplovni motori) upisao je školske 1997/1998. godine. Diplomirao je 11.09.2002. godine sa prosečnom ocenom tokom školovanja 8,47 i odbranjениm diplomskim radom na temu "Popravak no-smernih statika stabilnosti aviona za poletnu obuku pilota". Petogodišnje školovanje na Mašinskom fakultetu Univerziteta u Beogradu na smeru Vazduhoplovstvo završio je 2002. godine sa prosečnom ocenom tokom školovanja 8,69 i istom temom diplomskog rada.

Postdiplomske studije na Mašinskom fakultetu, na Katedri za vazduhoplovstvo, upisao je školske 2002/2003 godine. Postdiplomske studije završio je 29.01.2010. godine odbranivši magistarski rad pod naslovom "Ispitivanje niskofrekventnog spektra vibracija na helikopteru Gazela" kod prof.dr Slobodana Stupara, dipl.inž.maš.

Od 2002. – 2003. godine kao profesionalno vojno lice (oficir vazduhoplovne tehnike službe) radio je na aerodromu Batajnica, Vazduhoplovno opitni centar, na dužnosti Komandir voda za održavanje avijacije u 2 i 3 stepenu. Od 2003. – 2006. godine radio je kao Referent u odeljenju za ispitivanja motora i konstrukcije vazduhoplova u letu. Objedinjavanjem Opitnih centara Vojske Srbije od 2006. godine do danas radi na aerodromu Batajnica u Tehničkom opitnom centru Vojske Srbije na poslovima referenta u Odeljenju za ispitivanje vazduhoplova u letu, Sektora za vazduhoplovna sredstva.

Ian je Srpskog društva za mehaniku.

Poseduje me unarodni sertifikat Vibrodijagnosti ar, kategorija 2, po standardu ISO 18436-2 izdatu od MOBIUS Instituta.

Poseduje aktivno znanje engleskog jezika. Oženjen je i otac je dvoje dece.

---

---

## ***PRILOZI***

## Izjava o autorstvu

Potpisani: mr Miroslav M. Jovanovi , dipl.inž.

broj indeksa: \_\_\_\_\_

### **Izjavljujem**

da je doktorska disertacija pod naslovom:

#### **AKTIVNO I AKTIVNO-PASIVNO PRIGUŠENJE VIBRACIJA** **STRUKTURALNIH ELEMENATA VAZDUHOPLOVA**

- rezultat sopstvenog istraživa kog rada,
- da predložena disertacija u celini ni u delovima nije bila predložena za dobijanje bilo koje diplome prema studijskim programima drugih visokoškolskih ustanova,
- da su rezultati korektno navedeni i
- da nisam kršio/la autorska prava i koristio intelektualnu svojinu drugih lica.

#### **Potpis doktoranda**

U Beogradu, 13.01.2014. godine



## Izjava o istovetnosti štampane i elektronske verzije doktorskog rada

Ime i prezime autora: mr Miroslav Jovanović, dipl.inž.

Broj indeksa: \_\_\_\_\_

Studijski program: \_\_\_\_\_

Naslov rada: **AKTIVNO I AKTIVNO-PASIVNO PRIGUŠENJE VIBRACIJA  
STRUKTURALNIH ELEMENATA VAZDUHOPLOVA**

Mentor: prof. dr Aleksandar Simonović, dipl.inž.

Potpisani/a



Izjavljujem da je štampana verzija mog doktorskog rada istovetna elektronskoj verziji koju sam predao za objavljivanje na portalu **Digitalnog repozitorijuma Univerziteta u Beogradu**.

Dozvoljavam da se objave moji li ni podaci vezani za dobijanje akademskog zvanja doktora nauka, kao što su ime i prezime, godina i mesto rođenja i datum odbrane rada.

Ovi li ni podaci mogu se objaviti na mrežnim stranicama digitalne biblioteke, u elektronskom katalogu i u publikacijama Univerziteta u Beogradu.

**Potpis doktoranda**

U Beogradu, 13.01.2014. godine



## Izjava o koriš enju

Ovlaš ujem Univerzitetsku biblioteku „Svetozar Markovi“ da u Digitalni repozitorijum Univerziteta u Beogradu unese moju doktorsku disertaciju pod naslovom:

### **AKTIVNO I AKTIVNO-PASIVNO PRIGUŠENJE VIBRACIJA STRUKTURALNIH ELEMENATA VAZDUHOPLOVA**

koja je moje autorsko delo.

Disertaciju sa svim prilozima predao sam u elektronskom formatu pogodnom za trajno arhiviranje.

Moju doktorsku disertaciju pohranjenu u Digitalni repozitorijum Univerziteta u Beogradu mogu da koriste svi koji poštuju odredbe sadržane u odabranom tipu licence

Kreativne zajednice (Creative Commons) za koju sam se odlu io/la.

1. Autorstvo
2. **Autorstvo - nekomercijalno**
3. Autorstvo – nekomercijalno – bez prerade
4. Autorstvo – nekomercijalno – deliti pod istim uslovima
5. Autorstvo – bez prerade
6. Autorstvo – deliti pod istim uslovima

### **Potpis doktoranda**

U Beogradu, 13.01.2014. godine

